

Sıcaklık Bozulmaları

Mars gezegeninin terörizm, yağış ve borsa çöküşleri üzerindeki etkisinin bilimsel analizi

Boston'lu Anthony

Copyright 2024 Anthony Moore

All Rights Reserved

Telif hakkı 2024 Anthony Moore

Her hakkı saklıdır

Bu kitap, Mars gezegeninin yerçekimi çekimi yoluyla karasal meseleler üzerinde nasıl etki uyguladığını açıklamak için güvenilir bilimsel analiz kullanan üç farklı akademik makaleye ayrılmıştır. Bu yerçekimi etkisi, sıcaklık bozulmalarını etkiler ve bu da iklimi ve insan davranışını etkiler. Bu, korelasyonun %100'e yakın olduğu tahmin modellerine bilimsel gerçekleri uygulamamızı sağlar. Sonuç olarak, verilerden korelasyonun aslında nedenselliği gösterdiği sonucuna varabiliriz.

İlk iki makale, İsrail'e yönelik roket saldırıları ile borsa çöküşleri arasındaki ilişkiyi gösteren verilerin, Mars gezegeninin Dünya'ya göre konumu, astrofizik düzeydeki fizik, meteorolojik sonuçlar ve belirli davranışlar sergileyen karasal organizmaların biyolojik süreçleri üzerindeki etkileri arasındaki bağlantının kanıtı olduğuna dair bilimsel gerekçeler ve kanıtlar sunmaktadır.

Üçüncü makale, Ay ve Mars'ın hizalanmasıyla Orta Doğu'daki aşırı yağış olaylarının zamanlaması arasında bir bağlantı olduğunu varsayan akıllıca gözlemler yapıyor.

Bu kitap, araştırmanın bilimsel temelini açıklamak için 2014 ve 2024'teki çalışmalara atıfta bulunuyor. Her iki çalışma da gök cisimlerinin hareketlerini hava değişimlerine ve iklime bağlıyor. Diğer çalışmalar hava değişimlerini insan davranışına bağlıyor. Hepsi Mars gezegeninin yörüngesine kadar izlenebilir.

Bölüm I

2019'da, 2005'e kadar uzanan roket fırlatma verilerini kullanarak, İsrail'in düşmanlarının saldırıları, bu saldırıların yoğunluğunu artırmaya karar verecekleri zamanı tahmin etmenin kolay olduğu bir şekilde gerçekleştirdiklerini keşfettim. Bir takvim yılı içinde (Ocak-Aralık) Mars'ın ay düğümüne 30 derece yakın olacağı zamanları gözlemleyerek, Gazze'den İsrail'e roket ateşinin yılın geri kalanına göre artması arasında güçlü bir korelasyon bulabildim. 2005'ten beri Gazze militanlarının, Mars ay düğümüne 30 derece yakın olduğunda en yüksek yoğunlukta roket ateşi yaptıkları keşfedildi. Yıllarca süren başarılı tahminlerden sonra, bu konuyu açıklığa kavuşturmaya yardımcı olacak bilimsel bir açıklama sunmam garanti altına alındı. Öncelikle, Mars'ın insan davranışı üzerindeki etkisini araştırmaya başlamanın temelini ve gerekçesini sunmama izin verin.

Mars Etkisi, ilk olarak 1955 yılında Fransız araştırmacı Michel Gauquelin tarafından ortaya atılan, Mars gezegeninin konumu ile spor şampiyonlarının itibarı arasındaki bağlantıyı destekleyen istatistiksel kanıtlar sunan bir tezdir. Kanıtlar, Mars'ın önemli spor şampiyonlarının astrolojik haritalarının kilit bölgelerinde görünmesinin istatistiksel açıdan önemli olduğunu göstermiştir. Gauquelin haritayı 12 sektöre bölmüş ve binlerce elit sporcunun astrolojik haritaları üzerinde yaptığı araştırmada, Mars'ın yükselen sektör ve doruk sektör adı verilen kilit sektörlerde şanstan daha büyük bir olasılıkla konumlandığını keşfetmiştir. Bir gezegenin 12 sektörden 2'sinde şansa dayalı olarak görünmesinin temel oranı %17'dir. Gauquelin'in kapsamlı veri örneklerinde, Mars %22'lik bir sıklıkta görünmüştür; bu, tesadüften daha fazlasıdır ve dolayısıyla - diğer tüm olası anlamları bir kenara bırakarak - Mars'ın bir etkisi olması gerektiği anlamına gelir. Dolayısıyla bu bulgu, Mars etkisine olan inancı mantıklı kılmak için yeterlidir.

Profesör Suitbert Ertel 1980'lerde ortaya çıktı ve spor referans kitaplarında belirli bir sporcunun atf sayısını sayarak üstünlüğü hesaplamak için bir kriter geliştirdi. Atf sayısı ne kadar fazlaysa üstünlük de o kadar fazlaydı. Gauquelin'in koleksiyonunu kendi üstünlük kriterleriyle birlikte kullanarak yaptığı testte, Mars etkisinin daha yüksek atf sayısına sahip sporcular arasında daha güçlü bir rol oynadığını buldu ve Gauquelin'in Mars'ın önemli spor

şampiyonlarının haritalarındaki kilit sektörlerde daha sık görüldüğü hipotezini doğruladı. Gauquelin'in çalışmasının önemi, astrolojinin bilimsel olarak ilk kez dikkate alınmasıydı. Gauquelin ve Ertel'in çalışmaları, Mars'ın etkisine olan inancı haklı çıkaracak kadar güçlü bir kıvılcımdır ve bilime ve deneysel verilere dayalı yeni bir sistemin oluşumu için güçlü bir temel sağlar.

Gauquelin ve Ertel Mars'ın etkisini bilimsel bir potansiyele bağladıktan sonra, ben de Mars'ı aldım ve onu dini bir anlamla ilişkilendirdim. Hristiyan İncil literatüründen gelen canavarın sayısı olan 666 ile ilgili asırlardır süregelen bir gizemi çözmeye girişmiştim. 666, Tanrı'nın ve Tanrı'nın halkının büyük düşmanı ve hasmı olan Şeytan ile ilişkilendirilen bir sayı olduğu için çok fazla merak uyandıran bir sayıdır. Hristiyan geleneğinde, 666 canavarın sayısı olarak tanımlanır ve yüzyıllar boyunca bu sayının neyi ve kimi temsil ettiğini anlamak için birçok girişimde bulunulmuştur. Geleneksel olarak, bu sayı bir kişiyle ilişkilendirilir, ancak diğerleri sistemlere ve kralhıklara atfedilmiştir. Her durumda, akademisyenler ve mistikler tarafından 666 gizemini çözmek için sayısız girişimde bulunulmuştur. Bilmeceyi çözmeye koyuldum ve Mars 360'ı buldum, bu Mars'ın Güneş etrafındaki dönüşü ve insanlık üzerindeki etkisidir.

Alfabadeki harflerin 6'nın katları şeklinde numaralandırıldığı İngilizce Sümer gematria'sını kullanarak... A=6, B=12, c=18, vb. Mars harflerini topladım ve 306'yı buldum. 360'ı 306'ya ekledikten sonra 666'yı buldum ve Şeytan'ı Mars etkisine veya Mars 360'a bağladım. Yahudi Talmud geleneğinde Samael'in iblislerin kralı ve İsrail'in baş düşmanı olduğunu ve Mars tarafından yönetildiğini unutmayın. Yani burada, Mars etkisine dair gelecekteki bilimsel anlayışı önceleyen ve varsayan dini bir geleneğimiz var.

Bu dini iddiayı Gauquelin'in Mars'ın seçkin spor şampiyonları üzerindeki etkisine ilişkin çalışmasının bilimsel desteğiyle birleştirdiğimde ve Mars'ın İbrahimi 666/canavar/Şeytan ahlakına ilişkin diğer Dünyevi meselelere uygulanıp uygulanamayacağını incelediğimde, Mars'ın ay düğümüne 30 derece mesafedeki konumunun 2005'ten bu yana Gazze'den İsrail'e roket atışlarının artmasıyla çakıştığını keşfedebildim. Gauquelin'in araştırmasında

Mars'ın spor şampiyonlarını etkilediği çıkarımından belirtilen düşmanca rekabetçi niteliklerin, nihai oyunun bir düşmanın hakimiyeti veya yıkımı olduğu durumlarda askerlere veya teröristlere de uygulanabileceğini belirtmek önemlidir. Bu ilişkiyi 2019'da keşfettim. Bunu keşfettikten sonra, bunun gerçek zamanlı olarak böyle olduğunu kanıtlayabildim. Araştırmamda, istatistikler Mars'ın genellikle her takvim yılında yaklaşık 3 ila 3,5 aylık bir süre içinde ay düğümünün 30 derece içinde tam bir geçiş yaptığını gösteriyor, ancak hizalanma sırasında Mars geri hareketine geçerse bu konfigürasyonun süresini uzatabilir. Bir takvim yılı içinde yaklaşık üç aylık bir süre içinde bir şeyin olacağını tahmin etmek için temel oran yaklaşık %30,0'dır. Esasen, bir takvim yılı içinde rastgele 3,5 ay seçen herhangi birinin Gazze'den İsrail'e en büyük roket ateşinin gerçekleşeceği zaman çerçevesini tahmin etme şansı yaklaşık %30'dur. Ancak, 2019 ile 2024 arasında, Mars'ın gözlemini kullanarak, İsrail'e karşı en yüksek roket fırlatma yoğunluğunun ne zaman gerçekleşeceğini %100 başarı oranıyla tahmin etmekte haklıydım. 2020'de Mars, 15 Ocak ile 3 Nisan arasında ay düğümüne 30 derece mesafedeydi. Verilere göre, bu dönem 2020'nin tamamına kıyasla İsrail'e karşı en yüksek roket fırlatma yoğunluğunu kapsıyordu. O dönemde yaklaşık 115 roket fırlatıldı ve bu sayı 2020'nin diğer tüm zamanlarından daha fazlaydı. 2021'de Mars, 9 Şubat ile 13 Mayıs arasında ay düğümüne 30 derece mesafede olma tam bir evresinden geçti. Bu evrenin sonuna doğru İsrail'e 4.000'den fazla roket atıldı ve bu sayı 2021'in diğer tüm zamanlarından daha fazlaydı. 2022'de Mars, 22 Haziran ile 19 Eylül arasında ay düğümüne 30 derece mesafede olma tam bir evresinden geçti. Ağustos ayının başlarında o zaman diliminde İsrail'e yaklaşık 1.100 roket atıldı ve bu sayı 2022'nin diğer tüm zamanlarından daha fazlaydı. 2023'te Mars, 30 derece mesafede olma tam bir evresinden geçti Ay düğümünün 24 Ağustos ile 15 Kasım arasında ve bu süre zarfında teröristler İsrail'e 10.000 roket attılar, bu 2023'teki herhangi bir zamandan daha fazla. 2024'te Mars, 12 Nisan ile 25 Haziran arasında ay düğümüne 30 derece mesafede olma tam evresinden geçti. Bu süre zarfında Hamas ve İslami Cihad yaklaşık 770 roket attı, bu da 2024'teki herhangi bir zamanda atılan miktarı çoktan aştı.

Gazze roket ateşi verilerine göre 2005'e kadar Hamas ve İslami Cihat İsrail'e toplam 26.722 roket ateşledi. 2005'ten beri 18.636 roket, Mars Ay düğümüne 30 derece mesafedeyken İsrail'e atıldı. 2005'ten beri herhangi bir zamanda İsrail'e 8.086 roket atıldı. 2005'ten beri İsrail'e atılan toplam roketlerin %68'i, Mars Ay düğümüne 30 derece mesafedeyken atıldı. 2005 ile 2024 arasındaki 15/20 yılda, takvim yılı içinde atılan roketlerin çoğu, Mars Ay düğümüne 30 derece mesafedeyken atıldı. 2005 ile 2024 arasındaki 20/20 yılda, yıl içinde en fazla roket ateşinin olduğu ay, Mars'ın Ay düğümüne 30 derece mesafede olduğu ay oldu. Bu %100 bir korelasyondur.

Elbette, korelasyonun nedenselliğe eşit olmadığı uyarısını sıklıkla uygulayan birçok şüpheciyle karşılaştıktan sonra, bu Mars tezini istatistiksel analizin ötesinde açıklayabilecek daha biyolojik ve jeolojik bir açıklama sunmak zorunda kaldım. Ancak şunu söylemek gerekir ki, tümevarımsal akıl yürütmeyi uygulayan herhangi bir girişim bir tahmin modeli ortaya koymalıdır ve işte burada zaten bir tane var. Her durumda, Mars'ın veya gök cisimlerinin insan davranışı üzerinde nasıl bir etkisi olabileceğine dair ortaya atılan teorilerden bazılarının örneklerine bakalım.

Gauquelin'in Mars etkisi üzerine çalışmaları sırasında, Mars'ın insan davranışı üzerinde jeolojik veya biyolojik bir etki yaratmasının nasıl mümkün olabileceğini açıklamak için sayısız girişimde bulunuldu. Gauquelin, fetüsün doğumunun gezegen sinyallerine verdiği tepkiyle tetiklendiğini öne sürdü. The Opening Eye kitabının yazarı Frank McGillion, sinyallerin epifiz bezi tarafından algılandığı hipotezini öne sürerek bunu daha da açıkladı. Histoire de l'astrologie kitabının yazarları Jacques Halbronn ve Serge Hutin, daha sonra bir kişinin inançlarının genetik olarak şekillendiğini öne sürdüler. 1990'da The Evidence of Science kitabının yazarı Percy Seymour, gezegenler tarafından yayılan sinyallerin gezegen gelgitleri ile manyetosfer arasındaki etkileşimin sonucu olduğunu açıklamaya çalıştı. Peter Roberts, gezegenlerden gelen sinyallerin insan ruhu tarafından algılandığını varsaydı. Alman psikoloji profesörü Arno Müller, belirgin gezegenlerle doğan erkeklerin en fazla üreme hakkına sahip baskın erkekler olduğunu savundu. Ertel, Mars etkisinin fiziksel bir temeli olup olmadığını

bulmaya çalıştı. Mars'ı Dünya'ya göre test etti ve Dünya ile Mars arasındaki mesafenin Mars etkisinde değişikliklere neden olup olmayacağını test etti. Açısal boyut, sapma, Güneş'e göre yörünge konumu ve Dünya'daki jeomanyetik aktivite, Ertel tarafından Mars etkisini fiziksel olarak açıklayabilecek herhangi bir şey olarak dışlandı. Mars fenomenini, Mars'ın ay düğümüne 30 derece mesafede olduğunda nasıl bir etki yarattığını varsayarak ve göstererek daha da açıklıyorum. Bu hizalama ve hipotezin özü, esasen Mars gezegeni Ay'ın yörüngesi ile Dünya'nın yörüngesi arasındaki kesişime ne kadar yakınsa, insanların daha karamsar, alaycı ve saldırgan özellikler sergilemesine neden olan bir etki yaratılmasıdır. Bu aşamada, borsa yatırımcıları piyasa hakkında olumsuzdur, militanlar ise Mars ay düğümüne 30 derece mesafede olmadığında diğer zamanlara kıyasla daha saldırgan hale gelirler. Kolayca haklı çıkarılabilecek temel öncül, eğer ay okyanus gelgitlerine bir çekim kuvveti uyguluyorsa ve insanlar çoğunlukla sudan oluştuğu için, o zaman ayın insan davranışı üzerinde bir etkisi olabileceğine inanmanın mantıklı olduğudur. Ancak, Mars'ın da ay ile benzer bir etki göstermesi gerektiği sonucuna vardım.

Ay düğümleri, Ay'ın Dünya etrafındaki yörünge düzlemi ile Dünya'nın Güneş etrafındaki yörünge düzlemi arasındaki kesişme noktalarıdır. Ay düğümünden 30 derece içinde başlayarak, Mars'ın Güneş etrafındaki yörüngesi, Ay'ın Dünya etrafındaki yörüngesi ile Dünya'nın Güneş etrafındaki yörüngesi arasındaki kesişme noktasına (ay düğümü) yaklaştıkça, Mars'ın Dünya olayları üzerindeki etkisi daha da artar. Verebileceğim en iyi fiziksel açıklama, ayın etkisinden türetilmiş olabilir. Ay'ın Dünya üzerinde bir çekim kuvveti uyguladığı doğrulandığından, Ay Dünya'ya ne kadar yakınsa, okyanus gelgitleri o kadar yüksek olur, o zaman Ay'ın da insanların ruh hallerini etkilemesi gerektiğini öne sürdüm çünkü insan vücudu çoğunlukla sudan oluşur. Bu Mars açıklaması, Ay'ın yörünge düzlemi ile Dünya'nın yörünge düzlemi arasındaki kesişme noktasına göre konumuna dayandığından, Mars'ın da insanlar üzerinde benzer şekilde etki uygulayabileceğini ileri sürüyorum. Benim büyük çıkışım 2024'te bilim insanlarının Mars'ın Dünya üzerinde güçlü bir çekim kuvveti uyguladığını, Dünya'yı Güneş'e yakınlaştırdığını ve 2 milyon yıl süren ısınma ve soğuma evrelerine yol açtığını keşfetmesiyle gerçekleşti. Mars hakkındaki

varsayımlarımın ve Gauquelin'in varsayımlarının, Mars'ın Dünya üzerinde gerçekten bir etkisi olduğuna dair bu bilimsel bulgudan öncesine dayandığımı unutmayın. Ve burada 2024'te bilim insanlarının Mars'ın Dünya'nın iklimi ve okyanus gelgitleri üzerinde bir etkisi olduğunu varsaymaya başladığını görüyoruz, bu da benim tezimi ve Gauquelin'in tezini doğruluyor.

İşte science.org'dan bir makale: "Ay hem yüksek hem de alçak gelgitlere neden olur, ancak Dünya'nın sularını etkileyen tek gök cismi değildir. Nature Communications'da bu hafta bildirilen bir çalışmaya göre, Mars'ın yerçekimi gezegenimizin derin okyanus akıntılarını etkiliyor."



İşte makaleden bir alıntı.

Nature Communications'da bu hafta bildirilen bir çalışma, 50 yılı aşkın derin deniz sondaj kayıtlarını Dünya yörüngesindeki kaymalarla karşılaştırarak araştırmacılar, Mars'ın Dünya üzerindeki kütle çekim kuvvetinin ekseninde hafifçe sallanmasına neden olduğunu buldular. Her 2,4 milyon yılda bir, Mars'ın yörüngesi Dünya'ya o kadar yaklaşıyor ki, kütle çekimi onu etkileyebilir ve Dünya'nın olağan yolunu ve yönelimini eğebilir. Bu yörünge kayması Dünya'nın daha fazla güneş ışığına maruz kalmasına neden oluyor, iklimi ısıtıyor, bu da okyanus akıntılarını harekete geçiriyor ve onları daha güçlü hale getiriyor. Ancak bazı araştırmacılar, Mars'ın zayıf kütle çekim kuvvetinin bu değişikliklerin gerçek nedeni olduğundan şüphe ediyor, New Scientist bildiriyor.

Bunun yaptığı şey, Mars etkisine dair sel kapılarını açmaktır ve bu bilgiyle, Mars'ın insan davranışını nasıl etkilediğine dair daha fazla içgörü geliştirebiliriz. Bu bilimsel bulguya göre, Mars Güneş etrafında hareket ederken, Dünya üzerinde bir çekim kuvveti uygular ve sonunda Dünya'nın eksen eğimini ve yörünge düzlemini etkiler, bu da aslında milyonlarca yıl süren uzun zaman dilimleri boyunca ısınma ve soğuma dönemlerine neden olur. Bu anlayışla, bir takvim yılı boyunca bile, Mars Güneş etrafında dönerken, hala bir

miktar çekim kuvveti ve çok küçük de olsa bir miktar ısınma uyguladığını varsayabiliriz. Bu, Mars'ın Güneş etrafındaki dönüşünü açıklar ve bu da bize Ay düğümünün tüm bunlara nasıl dahil olduğunu açıklamamızı sağlar.

NASA'ya göre, Ay'ın yörüngesi genişlediği için Ay her yıl Dünya'dan 3 santimetre uzaklaşıyor. Benim çekincelerim, Mars'ın Ay düğümüne 30 derece yaklaştığında bu etkiyi yönlendiren katalizör olabileceği yönünde. Açıklayayım.

Evrendeki tüm nesneler arasında bir çekim kuvveti vardır. Bir kütlenin çekim kuvveti yalnızca diğer kütlelerin konumunu ve yönelimini etkilemekle kalmaz, aynı zamanda diğer kütlelerin yörünge düzlemlerini ve tersini de etkileyebilir. Mars ay düğümüne 30 derece yaklaştığında olan şey budur - esasen Mars'ın kütlesi, ayın dünya etrafındaki yörünge düzlemine bir çekim kuvveti uygular. Bunu ay düğümü aracılığıyla yapar.

Ay düğümü, basitçe, Ay'ın Dünya etrafındaki yörünge düzleminin, Dünya'nın Güneş etrafındaki yörünge düzlemiyle kesiştiği noktadır. Bu kesişme noktasının, Mars Ay düğümüne 30 derece mesafedeyken Ay'ın yörünge düzlemini Mars'ın çekim gücüne maruz bıraktığını varsayıyorum, bu da zamanla Ay'ın yörünge düzlemini Güneş'e yaklaştıracak ve bundan sonra Ay'ın kendisini Dünya'dan her yıl 3 cm daha uzağa taşıyacaktır. Mars'ın Güneş etrafında dönerken ve Dünya'nın eksen eğikliğine kütle çekim kuvveti uygulayarak milyonlarca yıl boyunca ve hatta daha kısa zaman dilimlerinde ısınma ve soğuma dönemlerine yol açtığı yeni anlayışla, artık Mars'ın Ay düğümüne 30 derece yaklaştığında da Ay'ın yörünge yoluna kütle çekim kuvveti uyguladığı ve Ay'ın yörünge düzlemini gererek Ay'ı Dünya'dan daha da uzaklaştırdığı ve bunun da Dünya'nın yalpalamasında istikrarsızlaştırıcı bir etkiye sahip olacağı sonucuna varabiliriz çünkü Dünya'nın yalpalamasının sabit kalmasından Ay sorumludur. Araştırmacılar, Ay Dünya'dan uzaklaşmaya devam ettikçe, Dünya'nın iklim modellerinde vahşi dalgalanmalara maruz kalacağını, Ay'ın Dünya'nın yalpalamasının istikrarsız hale gelmesine ve bunun da mevsimsel değişikliklere yol açacağını tespit ediyorlar. Mars'ı da hesaba katarak artık bu dinamiği anlamlandırabiliriz.

Bu bakış açısıyla, Mars etkisinden çıkarılan karşılık gelen saldırganlığı daha sıcak sıcaklıklara uygulayabiliriz, çünkü saldırganlığı daha yüksek sıcaklıklara bağlayan çok sayıda bilimsel kanıt vardır; bunu Mars'ın insan davranışı üzerindeki etkisine ilişkin araştırmamız için bir aksiyom olarak belirleyebiliriz. Ancak bu durumda, karşılık gelen saldırganlığın ortalamaya göre daha yüksek sıcaklıktan kaynaklandığı ve bu senaryoların Mars'ın ay düğümüne 30 derece mesafede olmasına bağlanabileceği hipotezini ortaya koymalıyız. Şimdi, Mars ay düğümüne 30 derece mesafede olduğunda, ayın yörünge düzlemini çekerek dünyanın eksenel eğimi üzerinde daha da fazla kütleçekim etkisi uygulayabildiği, böylece ayın yörünge düzlemini genişlettiği, ayı dünyadan giderek daha da uzaklaştırdığı ve böylece ayın dünyanın yalpalaması üzerindeki dengeleyici etkisini azalttığı, bunun da dünyayı sıcaklıkta daha vahşi dalgalanmalara maruz bırakacağı, hatta Mars'ın güneş etrafında dönerken dünyaya kütleçekimsel bir çekim uygulamaya devam ettiği sonucuna varılabilir. Bu, sıcaklıkları ve insan davranışını daha ciddi şekilde etkilemelidir. Bu, Mars'ın ay düğümüne 30 derece mesafede olduğu zaman insan eyleminin daha sert olduğuna dair kanıtların neden olduğunu açıklayabilir.

Mars etkisinin muhalifleri artık Mars etkisini göz ardı edip Gazze'den veya Orta Doğu'dan veya herhangi bir yerden gelen saldırganlığı ilkbahar ve yaz aylarında ortaya çıkan daha sıcak sıcaklıklara indirgeyemezler. Militan saldırganlığın basitçe mevsimsel hava değişikliklerine indirgenebileceği ve Mars etkisine indirgenemeyeceği iddiasını çürütebilirim.

İsrail'e roket atışının en yüksek tırmanışını, bunun daha sıcak aylarda gerçekleşeceğini öngörerek herkesin tahmin edebileceğini söyleyenler, teorilerini test edebilirler. Onların teorisi, benim 3,5 aylık olandan çok daha büyük olan 7 aylık bir pencere veriyor. İşte ay düğümüne 30 derece mesafede Mars'ı kullanarak artan roket atışlarını öngörme zaman çerçevelerim, her yıl doğru çıktı

15 Ocak 2020 - 3 Nisan 2020 - en yüksek tırmanış Şubat ayında gerçekleşti

9 Şubat 2021 - 13 Mayıs 2021 - en yüksek tırmanış Mayıs ayında gerçekleşti

22 Haziran 2022 - 19 Eylül 2022 - en yüksek tırmanış Ağustos ayında gerçekleşti

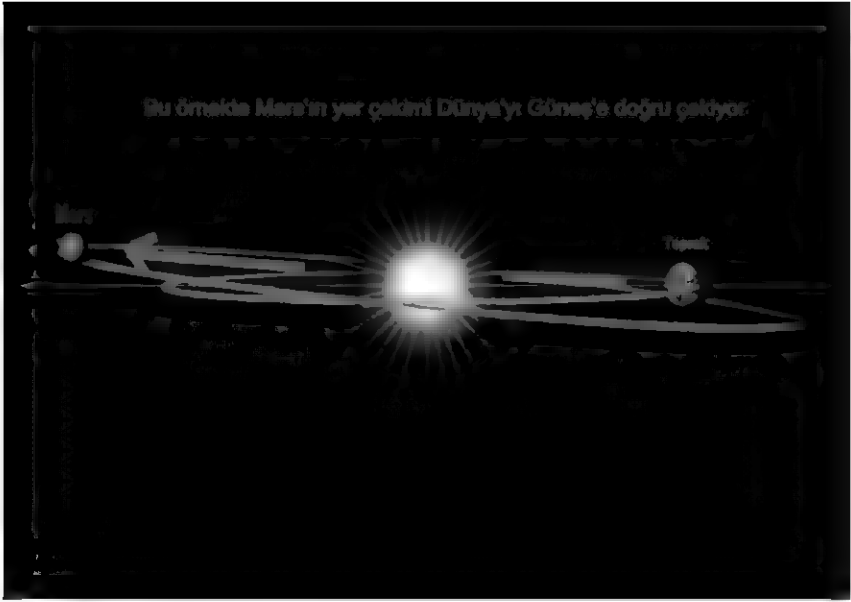
24 Ağustos 2023 - 15 Kasım 2023 - en yüksek tırmanış Ekim ayında gerçekleşti

12 Nisan 2024 - 25 Haziran 2024 - şu ana kadar en yüksek tırmanış Mayıs ayında gerçekleşti

Son 5 yılda, İsrail'e roket atışının yılın geri kalanına göre en yüksek tırmanışının 20 Mart ile 20 Eylül arasındaki İlkbahar ve Yaz aylarında (7 aylık bir pencere) gerçekleşeceğini tahmin etmeye çalışsaydı, son 5 yılın 3'ünde haklı olurdu. Ancak, özellikle 7 Ekim 2023'teki saldırıların ölçeği göz önüne alındığında, bunun gerçekten önemli olacağı 2020 ve 2023'te yanlış olurdu. Yani 7 aylık bir pencere olsa bile, ay düğümünün 3,5 aylık penceresine 30 derece mesafede Mars'ı ayak uydurmak etmekte başarısız olurduk.

Ayrıca, ortalamaya göre daha sıcak sıcaklıkların, Mars'ın Dünya üzerindeki çekim kuvveti nedeniyle onu Güneş'e yaklaştırarak Orta Doğu'da şiddete yol açabileceğini söyleyebilirim. Burada kafanızın karışması kolaydır çünkü Mars'ın Dünya'dan Güneş'e daha uzak olduğunu ve bu nedenle Mars'ın herhangi bir çekim kuvvetinin Dünya'yı Güneş'ten uzaklaştıracağına inanabilirsiniz. Mars ve Dünya'nın Güneş etrafında nasıl döndüğünü ve Mars'ın Dünya'ya en yakın ve en uzak olduğu zamanların nasıl olduğunu görselleştirmek karışıklığı önlemeye yardımcı olabilir. Mars Güneş etrafında dönerken, Dünya'dan ne kadar uzaklaşırsa, çekim kuvveti Dünya'nın eksenel eğimini Güneş'e o kadar yaklaştırır. Ve bunun aksine, Mars Güneş etrafındaki dönüşünde Dünya'ya ne kadar yakınsa, Mars'ın çekim kuvveti Dünya'nın eksenel eğimini Güneş'ten o kadar uzaklaştırır. İşte görsel





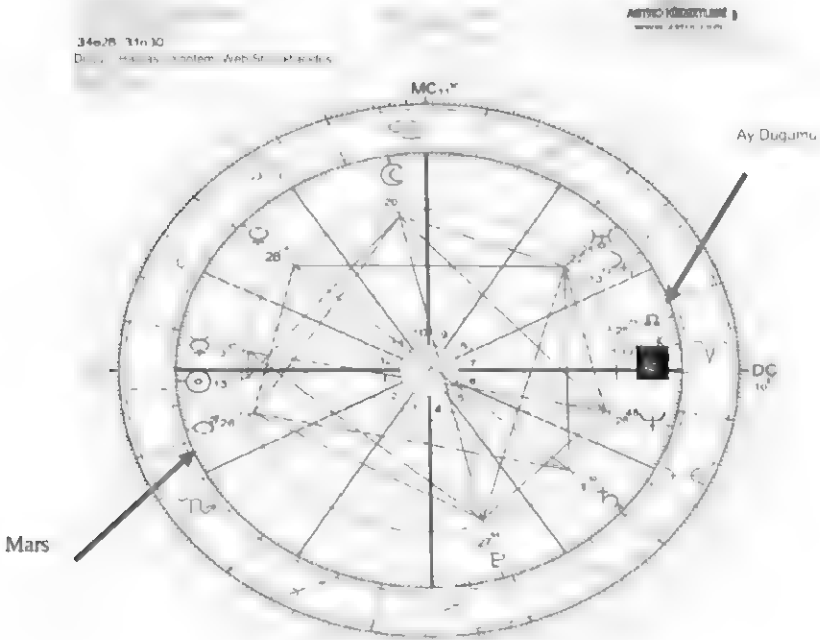
Mars'ın Dünya üzerindeki yerçekimi etkisi ve bunun Dünya iklimi üzerindeki etkisi hakkındaki bilimsel keşifle birlikte, uzun süreli Dünya soğuma ve ısınmasını kolaylaştıran bu Mars etkisinin, Mars'ın Dünya'nın eksen eğimini ve yörünge yolunu yavaşça değiştirmesinin sonucu olduğu konusunda hemfikir olabiliriz. Mars'ın yerçekimi etkisi sırasında, Dünya'nın eğimini Güneş'e yaklaştırarak onu daha fazla güneş radyasyonuna maruz bırakarak, Dünya'nın yörünge düzlemi de etkilenir ve zaman geçtikçe daha eliptik hale gelir, bu da Dünya'yı günberi noktasında günöte noktasından daha fazla termal radyasyona maruz bırakır. Şu anda, Dünya'nın yörünge yolu dairesele yakındır ve günberi noktasındaki termal radyasyonda günöte noktasına göre yalnızca %6'lık bir fark vardır.

Dünya'nın eğimi, Dünya'nın güneşe yakınlığının aksine, sıcaklık değişimlerini açıklayan ana faktördür. Aslında, Ocak ayında Dünya güneşe en yakın konumdadır, ancak bu süre zarfında sıcaklıklar daha soğuktur. Temmuz ayında ise Dünya güneşten en uzaktadır, ancak sıcaklıklar daha sıcaktır. Bu dinamiğin nedeni, Dünya'nın eksen eğikliğinin güneş ışınlarının Dünya'ya nasıl çarptığını nasıl etkilediğiyle açıklanmaktadır. Yaz aylarında güneş ışınları Dünya'ya dik bir açıyla çarpar ve yayılmaz, bu da Dünya'ya çarpan daha fazla enerji konsantrasyonuna yol açar. Bu, Güneş'in Dünya'ya daha sığ bir açıyla çarptığı, güneş ışınlarının daha yayılmış ve enerji açısından daha az yoğun olduğu kış aylarının aksinedir. Bu dinamiği Gazze roket ateşi durumuna uygulamaya çalışabilirsiniz, ancak daha önce açıklandığı gibi, İlkbahar ve Yaz aylarını kullanmak, örnek olarak kullandığım 5 yıldan 2'sinde yanlış hesaplamaya yol açmış olurdu. Mars'ı hesaba katarsak, Mars'ın Dünya'ya göre konumunun herhangi bir mevsimdeki ortalama sıcaklıkları etkileyeceğini varsaymaya başlayabiliriz. Örneğin, Mars'ın Dünya'dan en uzakta olduğunu, ay düğümüne 30 derece mesafede olduğunu varsayalım, ancak Dünya'nın eksen eğikliğine bir çekim kuvveti uygulayarak, açıyı bir dakika da olsa güneşe yaklaştırın. Sonuç, teorik olarak, mevsimden bağımsız olarak, daha yüksek ortalama sıcaklık, belki daha fazla yağış olmalı ve böylece insanları daha yüksek düzeyde saldırganlığa maruz bırakmalıdır. İşte bir örnek. İşte Hamas'ın İsrail'e karşı büyük bir terör operasyonu başlattığı gün olan 7 Ekim'de Mars'ın Dünya ile nasıl hizalandığını gösteren bir görsel

Mars, ay düğümüne 30 derece mesafedeydi, ancak Dünya'dan çok uzaktaydı, ancak Dünya'nın eksen eğikliğini güneşe doğru çeken çekim kuvvetleri uyguluyordu



İşte 7 Ekim'in astroloji haritası. Bir astroloji haritasında, Dünya her zaman Güneş'in karşısındadır. Bir simge ekledim



Bu, sonbaharda gerçekleşen büyük bir saldırının örneğidir, zorlayıcı saldırganlık için bilinen tipik bir zaman dilimi değildir. Dolayısıyla burada Mars faktörüne bakabiliriz. Mars'ın saldırganlık üzerindeki etkisinin genel olarak daha yüksek sıcaklıklarla değil, ortalamaya göre daha yüksek sıcaklıklarla ilgili olduğunu öne sürdüm. Ekim 2023, kaydedilen en sıcak Ekim ayıydı.



Ulusal Okyanus ve Atmosfer
daresi
NOAA

Atmosferik Bilimler



Gezegen, kayıtlardaki en sıcak Ekim ayını yaşadı

2023 dünya genelinde şimdiye kadar rekor düzeyde sıcak bir yıl oldu

Ortalama sıcaklık, Ekim ayında rekor düzeyde sıcak bir yıl oldu



15 Kasım 2023

Rakamlarla İklim

Ekim 2023

Ekim ayındaki ortalama küresel sıcaklık, 20. yüzyılın ortalaması olan 57.1 derece Fahrenheit (14.0 derece Celsius) 2.41 derece Fahrenheit (1.34 derece Celsius) üzerindeydi ve bu kayıtlardaki dünyanın en sıcak Ekim ayı olarak sınıflandırıldı. Bu, Ekim 2015'teki önceki rekorun 0.43 derece Fahrenheit (0.24 derece Celsius) üzerindeydi. Yedinci ay üst üste küresel okyanus yüzey sıcaklığı da rekor seviyeye ulaştı.

Daha yüksek sıcaklıkları saldırganlık ve daha düşük bilişsel işlevle ilişkilendiren büyük bir bilgi, çalışma ve araştırma gövdesi var, ancak Mars tezi ve saldırganlığı nasıl etkilediği konusunda, ortalamaya göre daha yüksek sıcaklıkların saldırganlığı tetiklediğini ve bilişsel işlevi düşürdüğünü öne sürüyorum. Ayrıca, ortalamaya göre bu daha yüksek sıcaklıkların teorik olarak ortalamanın üzerinde yağış getirmesi gerektiği sonucuna varıyorum.

Gazze roket atış verilerini referans olması açısından bu belgeye ekliyorum.

Bu istatistikler yalnızca Gazze'deki militanları ve 2005'ten bu yana Gazze'den İsrail'e atılan tüm roket atışlarını kapsamaktadır.

İsrail'e karşı roket atışlarının en yoğun olduğu takvim yılı içinde Mars'ın ay doğumuna 30 derece mesafede olduğu bir düzen var. Bu, 2005'ten beri %70 oranında gerçekleşiyor.

2005 yılından bu yana her yıl yılın en yüksek roket atışının gerçekleştiği ay Mars'ın bir ay Ay Doğumuna 30 derece mesafede olduğu aydır.

Sektör H-Gazze İsrail'e yönelik roket saldırıları												Sektör H-Gazze İsrail'e yönelik roket saldırıları												Sektör H-Gazze İsrail'e yönelik roket saldırıları											
Yılın en büyük roket atışı miktarı												Yılın en büyük roket atışı miktarı												Yılın en büyük roket atışı miktarı											
2005	2006	2007	2008	2009	2010	2011	2012	2013	2014	2015	2016	2017	2018	2019	2020	2021	2022	2023	2024	2025	2026	2027	2028	2029	2030	2031	2032	2033	2034	2035	2036	2037	2038	2039	2040
Ocak	40	7	30	100	345*	10	37	0	0	0	0	0	0	0	0	0	0	Ocak	0	0	0	0	0	0	0	0	0	0	0	0	0	0	0	387	
Şubat	5	9	4	220	12	5	6	14	1	0	0	0	7*	4	0	0	0	Şubat	10*	0	0	0	0	0	0	0	0	0	0	0	0	0	0	185	
Mart	20	41	21	100	30	27	30	130	4	65	0	0	3	0	3	0	0	Mart	0	0	0	0	0	0	0	0	0	0	0	0	0	0	0	104	
Nisan	34	70	25	310*	5	2	17	20	10*	10	1	0	1	0	0	0	0	Nisan	0	45	5	05	113												
Mayıs	77	64	200*	200	1	10	3	0	2	4	1	2	1	30	100*	0	0	Mayıs	1	405*	0	1030	452*												
Haziran	120	400	40	100	2	30	4	0	0	0	0	0	1	0	1	0	0	Haziran	0	1	0	20	306												
Temmuz	211*	104*	0	4	1	30	30	20	0	0	0	0	0	0	0	0	0	Temmuz	0	0	0	0	236												
Ağustos	60	41	0	0	1	14	14*	21	0	0	0	0	0	0	0	0	0	Ağustos	15	1	130*	0	116												
Eylül	01	40	10	1	10	10	0	27	0	0	0	0	0	0	0	0	0	Eylül	20	2	0	0													
Ekim	30	52	0	1	1	3	02	10	0	1	0	0	0	0	0	0	0	Ekim	0	0	0	100*													
Kasım	40	167	0	100	4	0	30	100*	0	0	0	0	0	0	0	0	0	Kasım	3	0	4	2000													
Aralık	70	30	100	100	0	10	20	1	0	1	0	0	7	0	4	0	0	Aralık	2	0	1	1000													

Ay doğumuna 30 derece uzaklığı Mars'ın tarihleri

29 Mayıs 2005 - 29 Ağustos 2005	17 Kasım 2005 - 27 Aralık 2005	20 Temmuz 2006 - 14 Ekim 2006
19 Mart 2007 - 30 Mayıs 2007	28 Nisan 2008 - 31 Temmuz 2008	06 Ocak 2009 - 24 Mart 2009
24 Ağustos 2012 - 12 Kasım 2012	24 Ağustos 2009 - 02 Mayıs 2010	02 Kasım 2010 - 18 Ocak 2011
19 Aralık 2013 - 28 Ağustos 2014	27 Ocak 2015 - 12 Nisan 2015	27 Eylül 2015 - 26 Aralık 2015
01 Mayıs 2019 - 29 Temmuz 2019	21 Kasım 2016 - 01 Şubat 2017	11 Temmuz 2017 - 10 Ekim 2017
		15 Ocak 2020 - 3 Nisan 2020

Asağıda Ay Doğumuna 30 derece mesafedeki Mars'ın gelecekteki tarihleri yer almaktadır

9 Şubat 2021 - 13 Mayıs 2021	24 Ağustos 2023 - 15 Kasım 2023
4 Kasım 2021 - 22 Ocak 2022	12 Nisan 2024 - 25 Haziran 2024
22 Haziran 2022 - 19 Eylül 2022	5 Haziran 2025 - 4 Eylül 2025
26 Aralık 2022 - 24 Ocak 2023	4 Şubat 2026 - 19 Nisan 2026
	27 Eylül 2026 - 12 Haziran 2027

Beş yıl üst üste roket ateşinin en yoğun olduğu zamanı tahmin edebildim

İsrail bir takvim yılı içerisinde gerçekleşecektir

Son beş yılda roket atışlarının takvim yılı içinde en fazla tımanışının gerçekleşeceği tahmin ediyordum.

Mars'ın Ay Doğumuna 30 derece mesafede olacağı zaman diliminde meydana gelecektir

- 1 15 Ocak 2020 - 3 Nisan 2020 - <https://www.youtube.com/watch?v=e5Gx04ZW2k>
- 2 9 Şubat 2021 - 13 Mayıs 2021 - <https://www.youtube.com/watch?v=v1sA-ZS73Lw&l>
- 3 22 Haziran 2022 - 19 Eylül 2022 - <https://www.youtube.com/watch?v=6EnwV0TWew&l>
- 4 24 Ağustos 2023 - 15 Kasım 2023 - <https://www.youtube.com/watch?v=GBNPE09qS4s>
- 5 12 Nisan 2024 - 25 Haziran 2024 - https://www.youtube.com/watch?v=qW_-CfWu5b0&l

<https://www.youtube.com/@anthonym1690>

Gazze roket atış verilerine göre 2005'e kadar Hamas ve İslami Cihad, İsrail'e toplam 26.722 roket attı

2005 yılından bu yana Mars'ın Ay düğümüne 30 derece uzaklıkta olduğu dönemde İsrail'e 18 636 roket atıldı

2005'ten bu yana herhangi bir zamanda İsrail'e 8086 roket atıldı

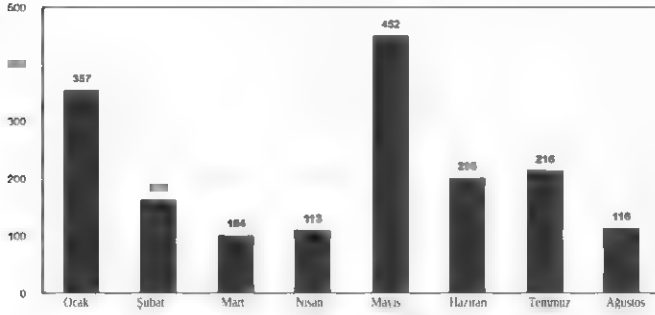
2005'ten bu yana İsrail'e atılan roketlerin %68'i Mars'ın Ay düğümüne 30 derece mesafede olduğu sırada atıldı

2005-2024 yılları arasındaki 15/20 yılda, takvim yılı içerisinde ateşlenen roketlerin çoğu, Mars'ın Ay düğümüne 30 derece mesafede olduğu sırada ateşlendi

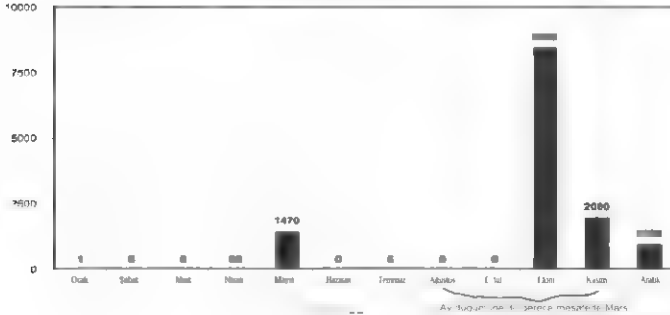
2005 ile 2024 yılları arasındaki 20/20 yılda, yılın en yüksek roket ateşini içeren ay aynı zamanda Mars'ın ay düğümüne 30 derece mesafede olduğu zamandı

İşte 2005'ten bu yana İsrail'e yönelik roket saldırılarını temsil eden grafikler

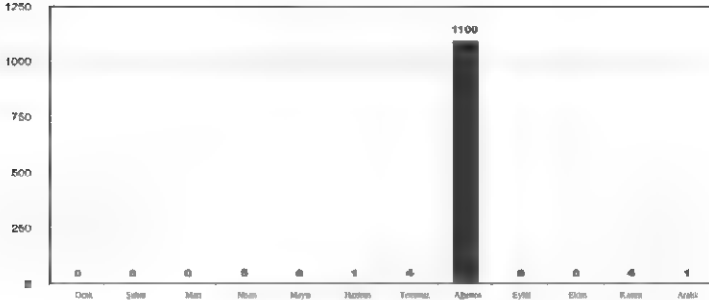
2024'te İsrail'e roket atışı



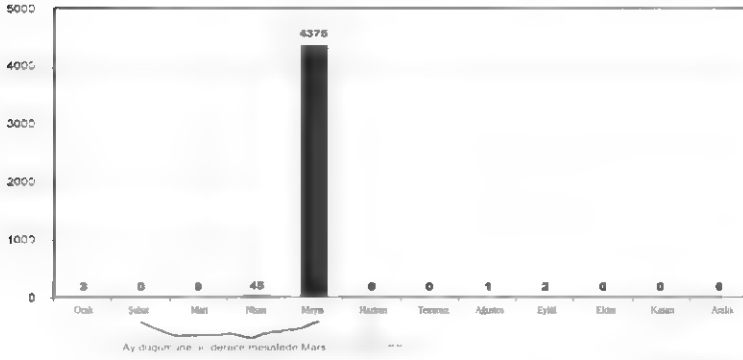
2023'te İsrail'e roket atışı



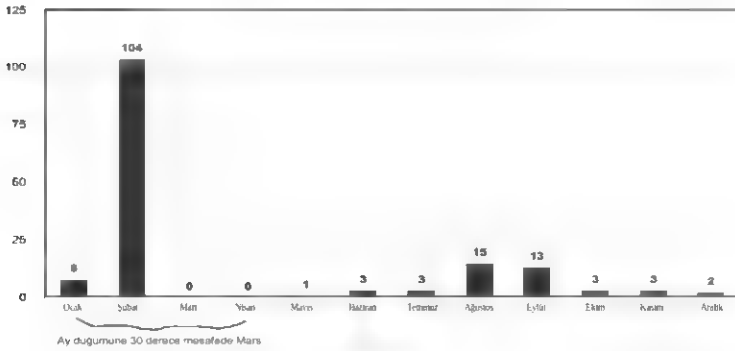
2022'de İsrail'e roket atışı



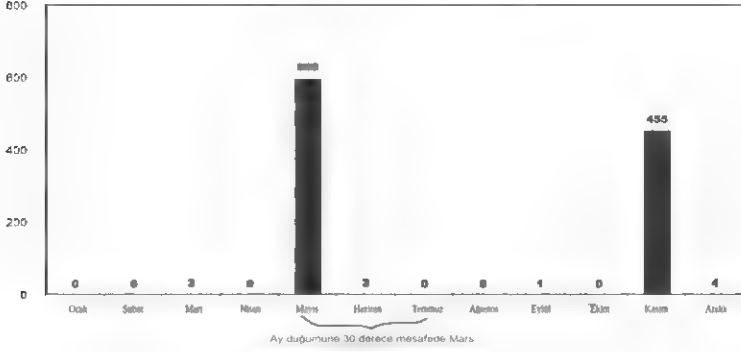
2021'de İsrail'e karşı roket atışı



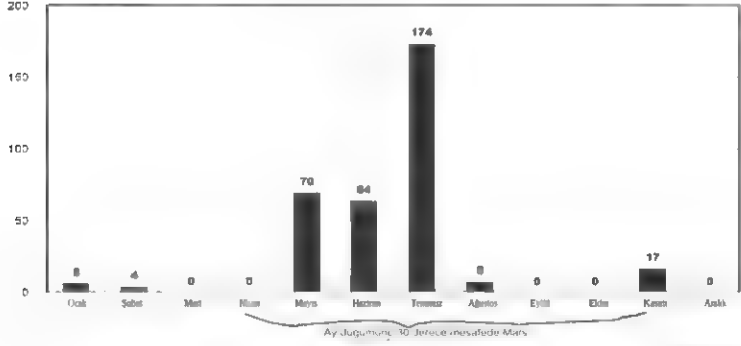
2020'de İsrail'e karşı roket atışı



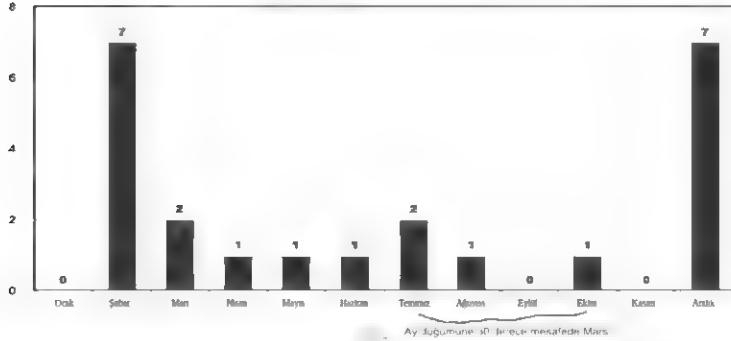
2019'da İsrail'e yönelik roket atışı



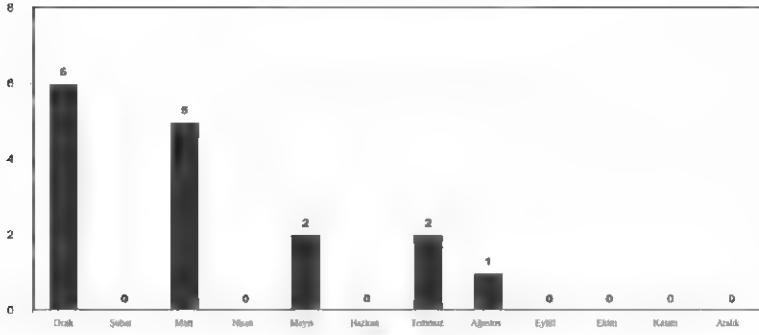
2018'de İsrail'e karşı roket atışı



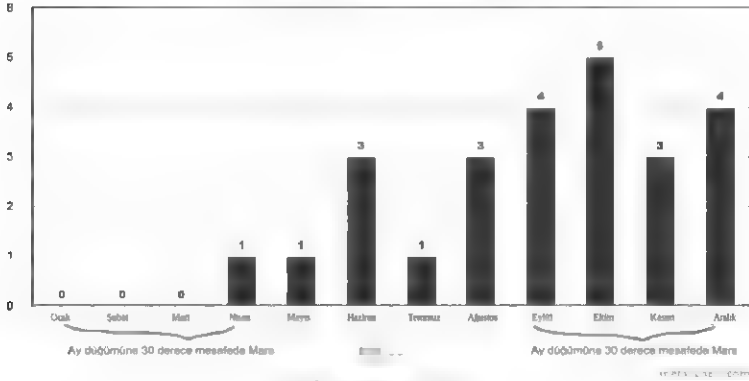
2017'de İsrail'e karşı roket atışı



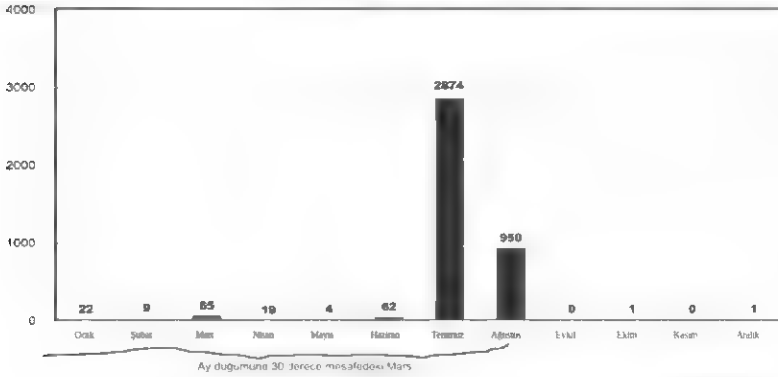
2016'da İsrail'e yönelik roket atışı



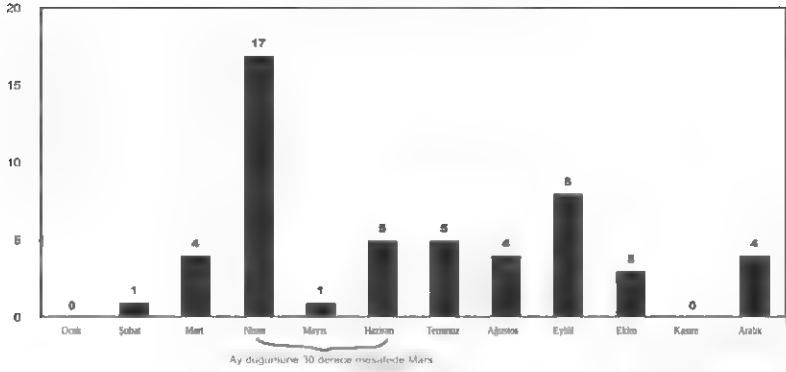
2015'te İsrail'e karşı roket atışı



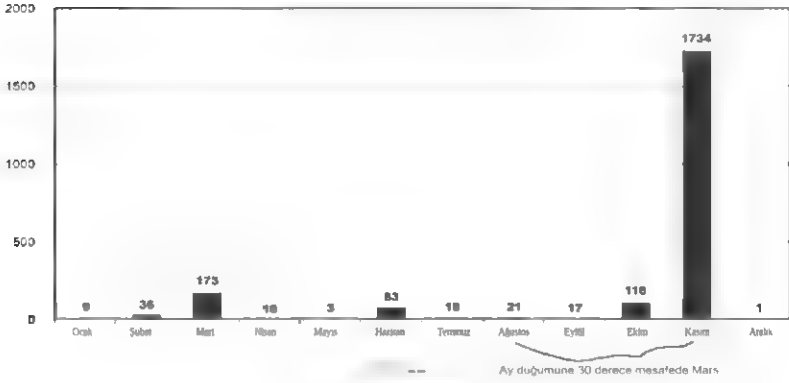
2014'te İsrail'e karşı roket atışı



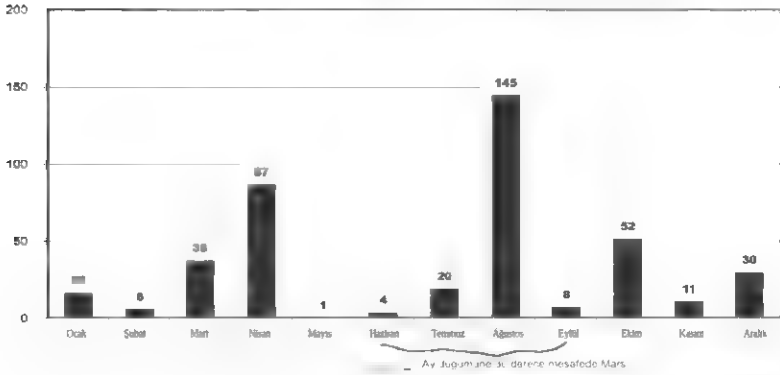
2013'te İsrail'e karşı roket atışı



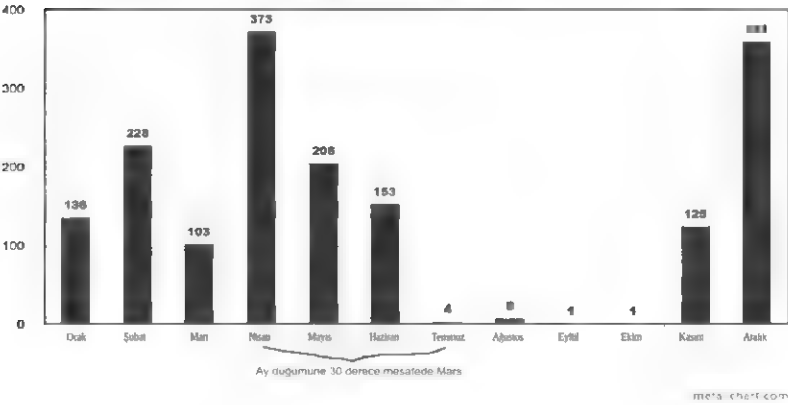
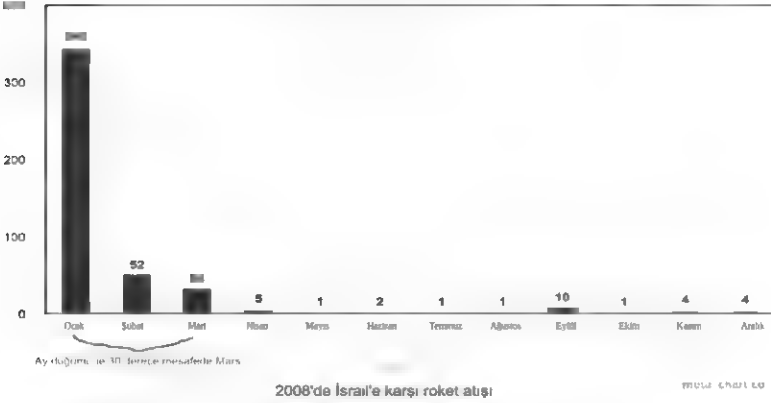
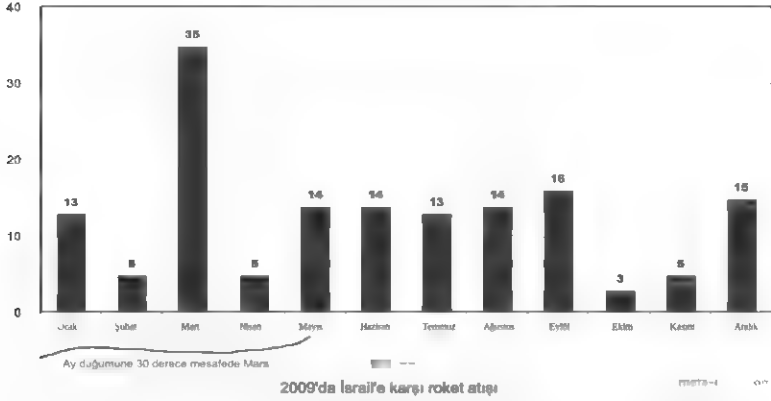
2012'de İsrail'e karşı roket atışı



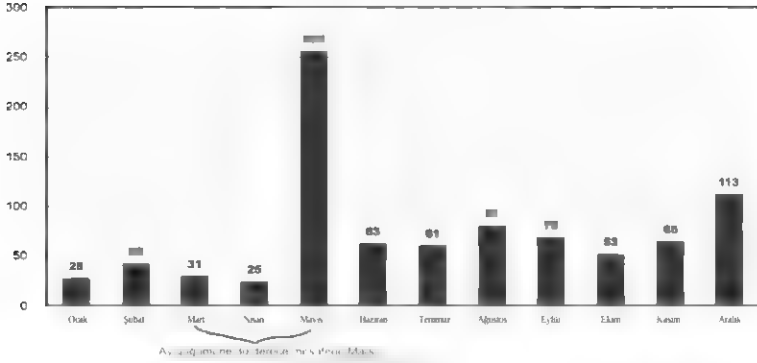
2011'de İsrail'e karşı roket atışı



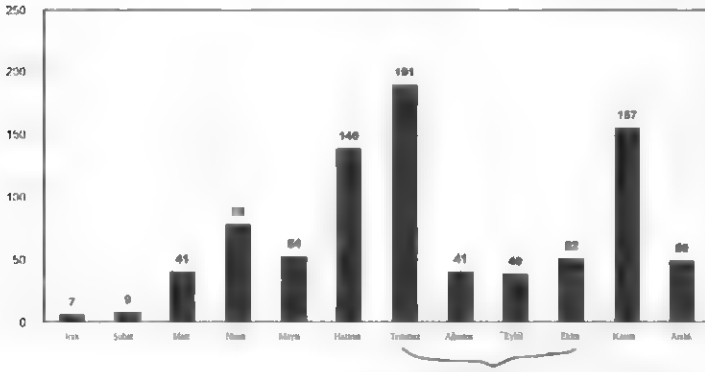
2010 yılında İsrail'e yönelik roket atışı



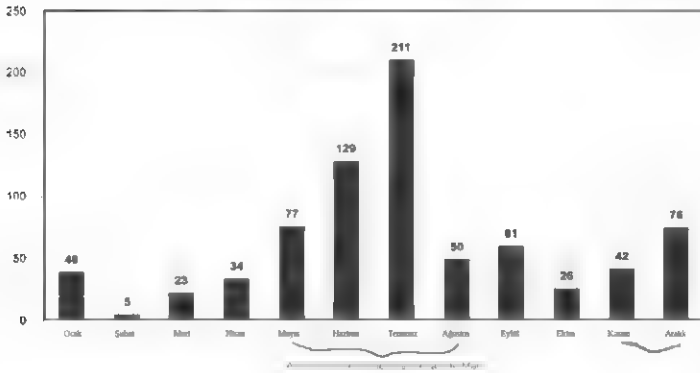
2007'de İsrail'e karşı roket atışı



2006'da İsrail'e roket atışı



2005'te İsrail'e karşı roket atışı



Bölüm II

Bu bölüm ABD tarihindeki 25 büyük borsa çöküşünü ve düşüşünü ortaya koyuyor. Veriler, bu tür olaylar ile Mars'ın Dünya'ya göre konumu arasında %100 korelasyon olduğunu gösteriyor. ABD tarihindeki her borsa çöküşü ve büyük borsa düşüşü, Mars'ın Dünya'nın bakış açısından Güneş'in arkasında yörüngede olduğu sırada gerçekleşmiştir.

Bu makalenin gösterdiği şeyle ilgili ilgili bağlamı elde etmek için, bu fikrin ilk kez kamuoyuna duyurulmasından yaklaşık 5 yıl sonra, Mart 2024'te Nature Communications'da yayınlanan yakın tarihli bir çalışmayı hesaba katmak önemlidir. Mart 2024'te yayınlanan bu çalışmada, araştırmacılar Mars'ın Dünya'nın eğimine bir çekim kuvveti uyguladığını, Dünya'yı daha sıcak sıcaklıklara ve daha fazla güneş ışığına maruz bıraktığını keşfettiler; tüm bunlar 2,4 milyon yıllık bir döngü içinde. Bunun, daha küçük zaman dilimlerinde bile Mars'ın Dünya'nın eksenel eğimine hala bir çekim kuvveti uyguladığını, gezegen ay düğümüne 30 derece mesafede olduğunda sıcaklıkları yükseltmeye yetecek bir çekim kuvveti uyguladığını ve bunun insan davranışını etkileyeceğini varsaymamızı sağladığını iddia ediyorum. Saldırganlık ve sinirliliği daha sıcak sıcaklıklarla ilişkilendiren çok sayıda çalışmaya atıfta bulunarak, bir aksiyom oluşturuyorum ve ardından Ay düğümüne 30 derece mesafedeki Mars'ın bilişi azaltarak ve saldırganlığı ve sinirliliği zorlayarak beyni etkilemesi gerektiğini ileri sürüyorum.

İşte Mars'ın Güneş etrafında dönerken ve Dünya'nın eksenel eğimine bir çekim kuvveti uygularken olan bitenin görseli. Bu ilk grafikte, Mars'ın çekim kuvveti Dünya'nın eğimini Güneş'ten uzaklaştırıyor.



Bir sonraki grafikte Mars'ın yer çekiminin Dünya'nın eğimini Güneş'e doğru çektiğini görüyoruz.



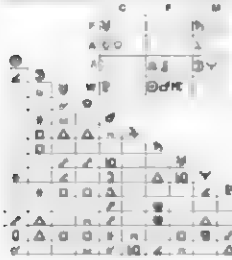
Bu son görselde, bu senaryonun insan davranışı üzerinde en belirgin etkiye sahip olması gerekir. Mars'ın Dünya'nın eğimini Güneş'e doğru çekmesi senaryosunun bir astroloji haritasında nasıl görüldüğüne bir bakalım. Bu, 29 Ekim 1929 Borsa çöküşünün haritasıdır. Dünya gezegeni bir astroloji haritasında her zaman Güneş'in karşısındadır.

-12.82%

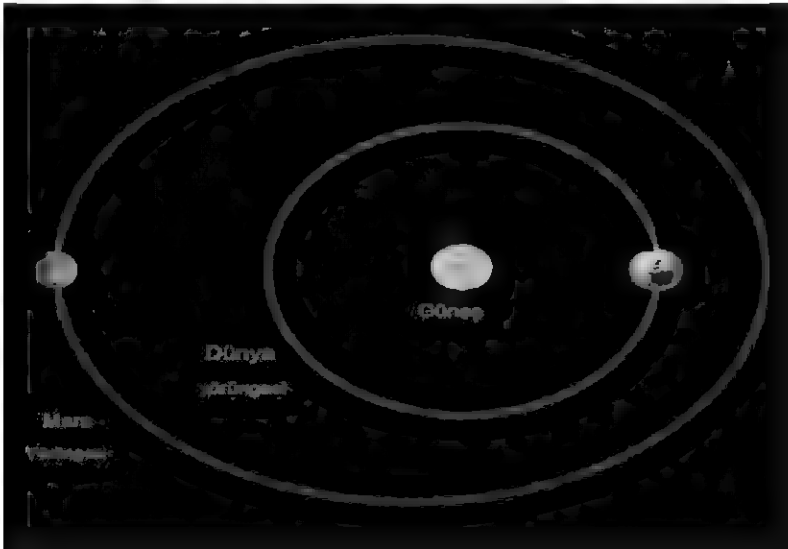
Pazartesi 18 Eym 529 Saat 12:00
New York NY ABD
www.1500.com

Yükselen Oğlak

☉ Merkür 17 Lb 37'15"
☽ Venüs 18 Lb 30'28"
♂ Mars 18 Eym 15'28"
♃ Jüpiter 19 Gem 30'23"
♅ Satürn 20 Eym 42'04"
♁ Uranüs 6 An 24'21"
♆ Neptün
♇ Pluton
♂ Çelen



Aynı gezegen konfigürasyonu senaryosunun yukarıdan görünümü şöyledir.

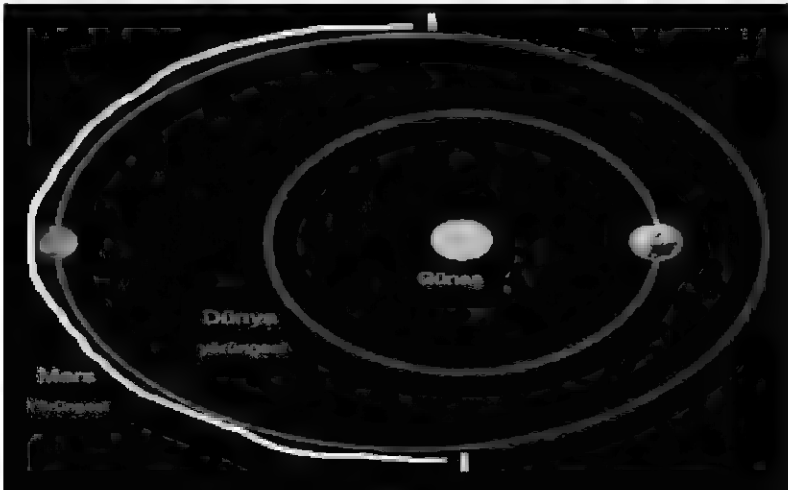
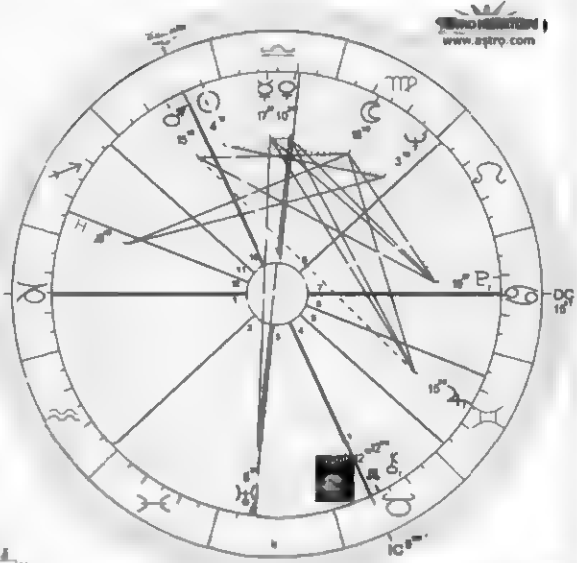
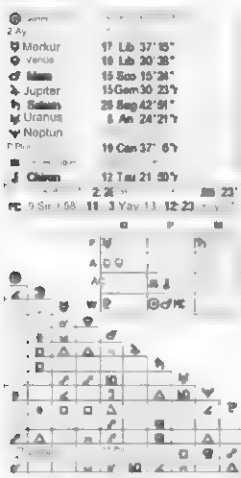


Tüm büyük borsa çöküşlerinde ve bir günlük düşüşlerde Mars, bu grafikte gösterildiği gibi beyaz çizginin bir yerindeydi; bu da araştırmaya göre Mars'ın Dünya'nın eğimini Güneş'e doğru çektiğini ve bu da sinirliliğe yol açtığını gösteriyor.

Aynı görselin bir astroloji haritasında nasıl temsil edildiği aşağıda gösterilmiştir. Bir sonraki sayfaya bakın Beyaz çizgiye dikkat edin.

-12.82%

Dow Jones
Pazartesi 28 Ekm 1929 Saat: 12:00
New York NY (ABD)
74400, 40d43
Yükseklik: 100 ft
Yükseklik: 100 ft
Yükseklik: 100 ft



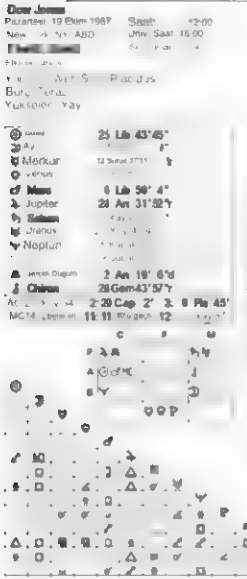
Tüm en yüksek günlük borsa çöküşleri veya düşüşleri, Mars'ın Güneş'in derecesinden dışarı doğru çekilen o beyaz çizginin içinde görüldüğünde meydana geldi.

Bu bakış açısı, okuyucunun önyargılı saçmalık kavramının ötesine geçmesine ve bunun bilimsel bir değeri olduğunu fark etmesine yardımcı olmalıdır.

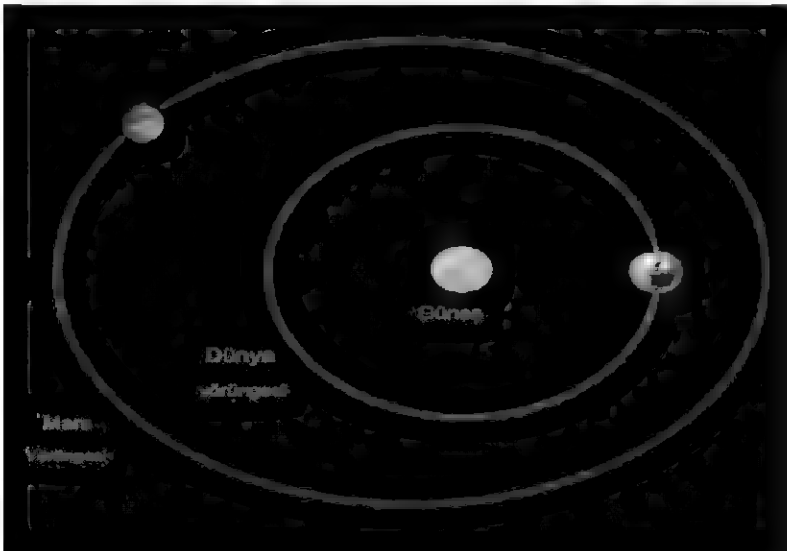
İşte borsa çöküşlerinin geri kalanı, astroloji çizelgeleri ve Mars'ın uzaydaki konumunun temsili

19 Ekim 1987 Borsa çöküşü

-22.61%



İşte Mars'ın o gün Dünya'ya göre uzaydaki konumu



6 Kasım 1929 Borsa Çöküşü

-9.92%

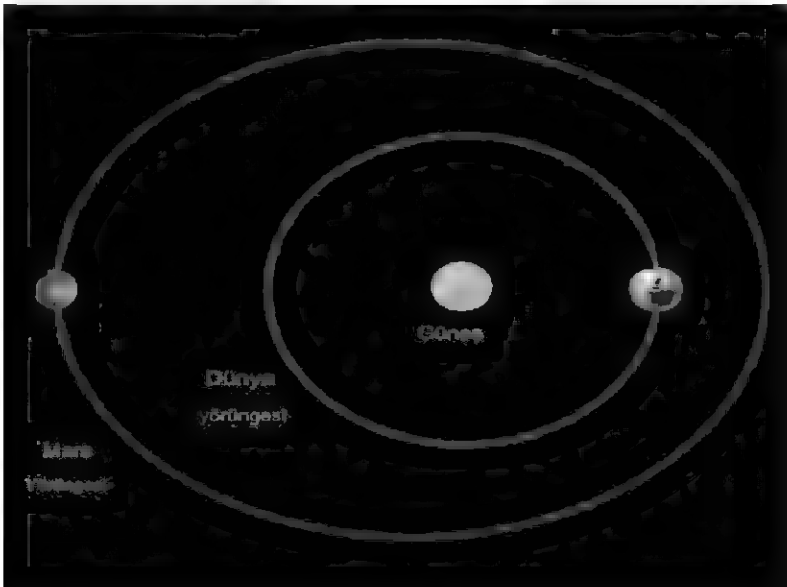
Event chart
 Sun 0 November 1929 Time: 12:00 p.m.
 New York, NY (US) Libr Time: 17:00
 7 Nov 00, 80s13 Sid. Time: 16:05:41
 Event Chart
 Sun sign: Scorpio
 Ascendant: Capricorn

☉ Sun 13 Sco 48° 34"
 ☊ Moon 12 Cap 26° 16"
 ☿ Mercury 1 Sco 28° 25"
 ♀ Venus 21 Lib 42° 15"
 ☿ Mars 21 Sco 34° 21"
 ♃ Jupiter 14 Gem 42° 33"
 ♄ Saturn 27 Sep 32° 18"
 ♅ Uranus 6 Aqr 6° 41"
 ♆ Neptune 3 Vir 29° 16"
 ♇ Pluto 19 Can 34° 28"
 ♁ True Node 12 Tau 9° 54"
 ♊ Chiron 11 Tau 54° 59"
 PC 23 Cap 3° 2' 10" Pis 30° 3' 20" Aqr 16°
 PC 18 Sco 53° 11' 11" Sag 9° 12' 1 Cap 40°



Page 2 of 10 21-Nov-2010

İşte Mars'ın Dünya'nın bakış açısından uzayda bulunduğu yer

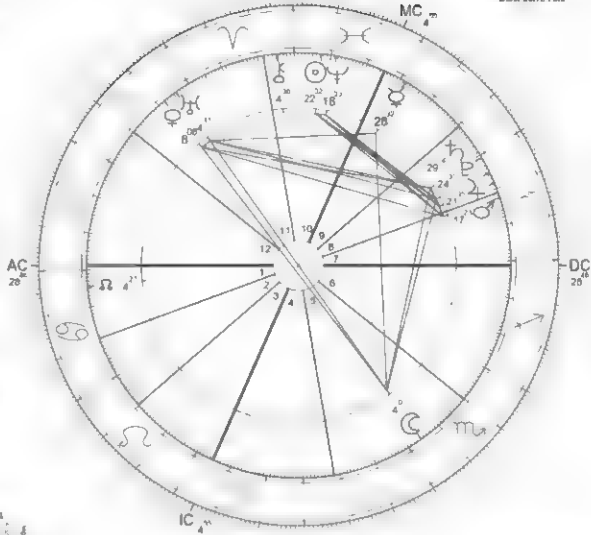


12 Mart 2020 Borsa Çöküşü

-9.99

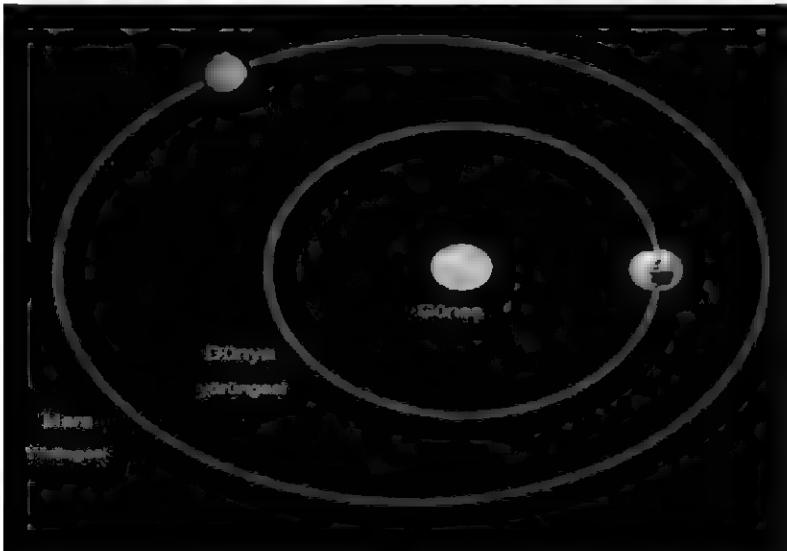
☿ Dow Jones
Th: 12 March 2020 Time: 12:00 p.m.
New York NY (US) Univ Time: 16:00
74w00 40n43 Sid Time: 22:27:01
Natal Chart
Method: Web Style: Placidus
S. H. Az. Places
Ascendant: Gemini

☉ Sun 22° 34' 32.22"
☾ Moon 4° 50' 7.49"
☿ Mercury 28° 49' 31.38"
♀ Venus 8° 14' 11.28"
♂ Mars 17° 15' 26.1"
♃ Jupiter 21° 04' 35.41"
♄ Saturn 29° 04' 14.61"
♅ Uranus 4° 14' 11.26"
♆ Neptune 18° 04' 31.91"
♇ Pluto 24° 04' 11.29"
♁ Mean Node 4° 04' 31.39"
♊ Chiron 4° 44' 36.19"
♈ ♉ ♊ ♋ ♌ ♍ ♎ ♏ ♐ ♑ ♒ ♓
♈ 21 Gen 46 2 18 Feb 10 3 9 Mar 40
♉ 4 Apr 55 11 8 Apr 74 12 19 May 43



Type: ZGW 7 Sep 2024

İşte Mars'ın o gün gökyüzündeki konumu

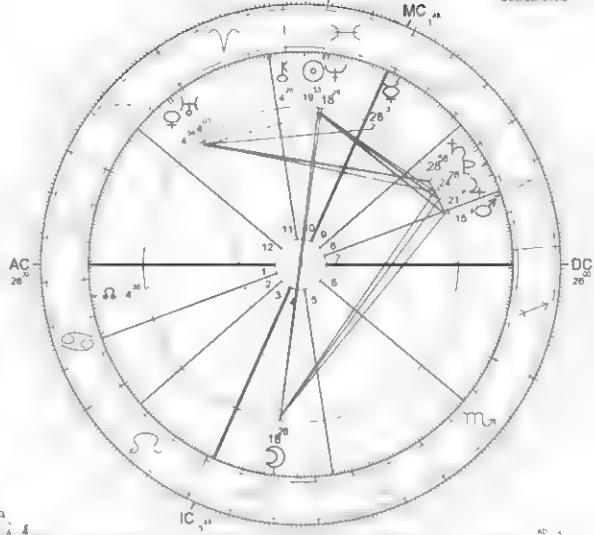


9 Mart 2020 Borsa Çöküşü

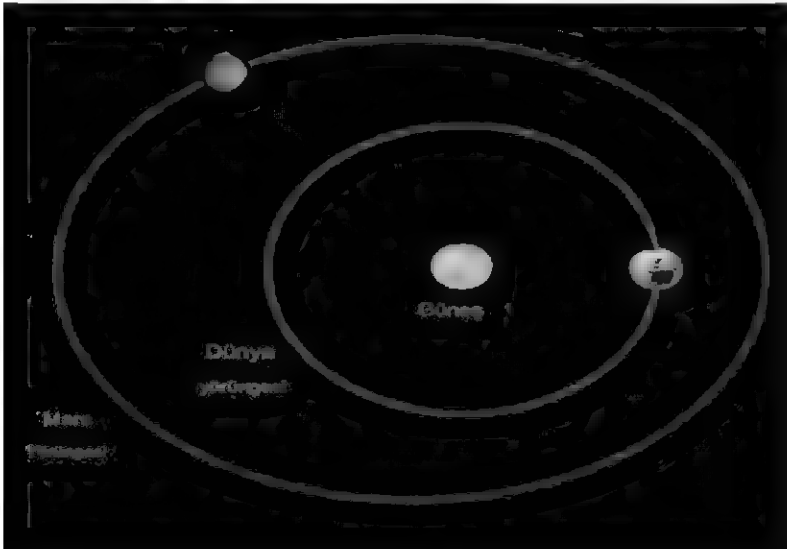
-7,79

☿ Dow Jones
Mo: 9 March 2020 Time: 12:00 p.m.
New York NY (US) Univ Time: 16:00
74w00 40n43 Sid Time: 22:15:12
Natal Chart
Method: Ven Style Placidus
Sun sign: Virgo
Ascendant: Gemini

☉ Sun 19 Pis 32 42"
☾ Moon 18 Vir 18 25"
☿ Mercury 28 Aqu 12 28"
♀ Venus 4 Taz 15 57"
♂ Mars 15 Cap 18 43"
♃ Jupiter 21 Can 1 55"
♄ Saturn 29 Cap 58 22"
♅ Uranus 4 Tau 1 17"
♆ Neptune 18 Pis 26 19"
♇ Pluto 24 Cap 27 40"
♁ Mean Node 4 Vir 16 11"
♊ Chiron 4 Ar 25 58"
☿ Gen 0 2 16 an 18 3 Leo 5d
♈ 1 Pis 48 11 4 Ar 44 12 6 Tau 14

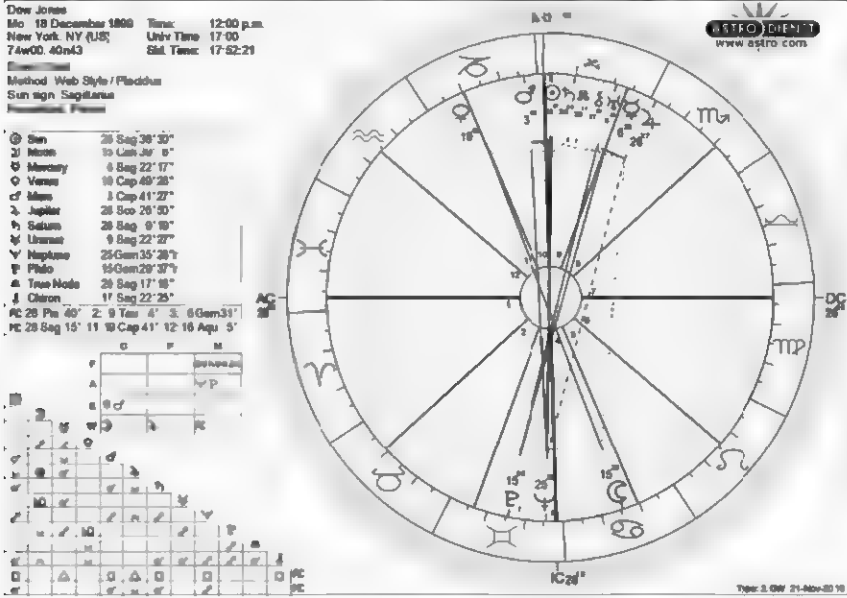


İşte Mars'ın o gün gökyüzündeki hali

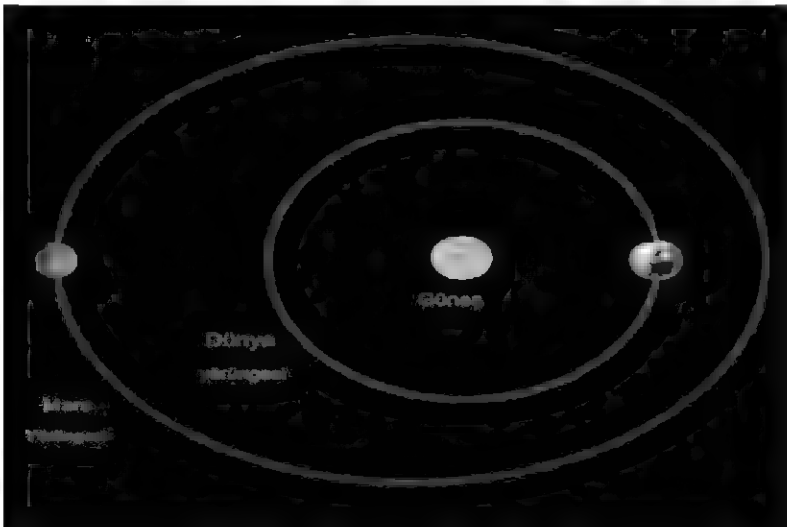


18 Aralık 1899'da borsa % -8,72 düştü

-8.72 %



İşte Mars'ın o gün gökyüzündeki konumu



12 Ağustos 1932'de borsa % -8,4 düştü

-8.40 %

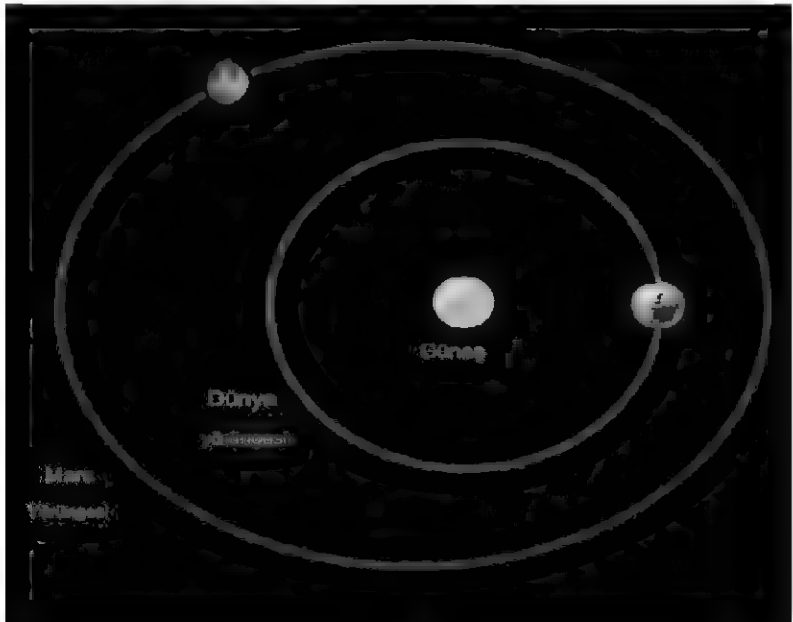
Dow Jones
Fr. 12 August 1932 Time: 12:00 p.m.
New York, NY (US) Univ. Time: 16:00
74w00.40m33 Sat. Time: 8:27:33

Sun sign: Leo
Ascendant: Libra

☉ Sun 19 Leo 41' 45"
☾ Moon 3 Cap 41' 35"
☿ Mercury 26 Leo 27' 51"
♄ Mars 7 Can 19' 28"
♅ Venus 5 Can 11' 28"
♂ Jupiter 9 Vir 17' 35"
♁ Saturn 3 Aps 3' 54"
♃ Uranus 23 An 16' 35"
♅ Neptune 1 Vir 2' 19"
♄ Pluto 22 Can 27' 33"
♁ True Node 17 Pis 22' 8"
♁ Chiron 26 Tau 25' 35"
♂ 29 Lib 8' 2:27 Sag 18' 3:29 Sag 37'
♂ 4 Leo 33' 11' 7 Vir 43' 12 8 Lib 1'



İşte Mars'ın o gün gökyüzündeki konumu



14 Mart 1907'de borsa % -8,29 düştü

-8.29%

Date: June
Th: 14 March 1907 Time: 12:00 p.m.
New York, NY (US) Univ. Wac: 77 00
74w00 40n43 Sd Time: 23 28 38

Source: JPL

Source: JPL

Source: JPL

Source: JPL

Source: JPL

Source: JPL

Source: JPL

Source: JPL

Source: JPL

Source: JPL

Source: JPL

Source: JPL

Source: JPL

Source: JPL

Source: JPL

Source: JPL

Source: JPL

Source: JPL

Source: JPL

Source: JPL

Source: JPL

Source: JPL

Source: JPL

Source: JPL

Source: JPL

Source: JPL

Source: JPL

Source: JPL

Source: JPL

Source: JPL

Source: JPL

Source: JPL

Source: JPL

Source: JPL

Source: JPL

Source: JPL

Source: JPL

Source: JPL

Source: JPL

Source: JPL

Source: JPL

Source: JPL

Source: JPL

Source: JPL

Source: JPL

Source: JPL

Source: JPL

Source: JPL

Source: JPL

Source: JPL

Source: JPL

Source: JPL

Source: JPL

Source: JPL

Source: JPL

Source: JPL

Source: JPL

Source: JPL

Source: JPL

Source: JPL

Source: JPL

Source: JPL

Source: JPL

Source: JPL

Source: JPL

Source: JPL

Source: JPL

Source: JPL

Source: JPL

Source: JPL

Source: JPL

Source: JPL

Source: JPL

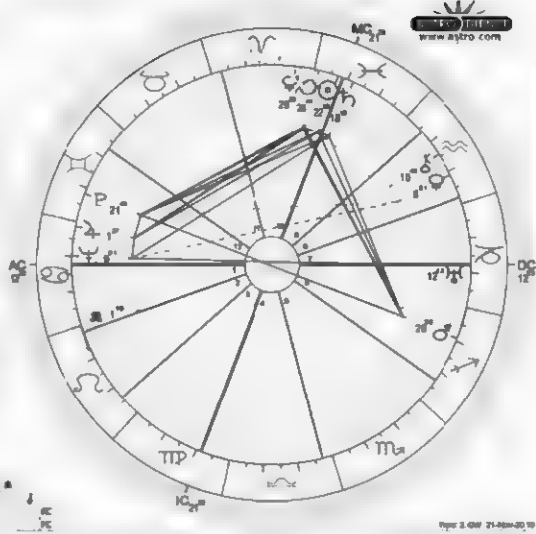
Source: JPL

Source: JPL

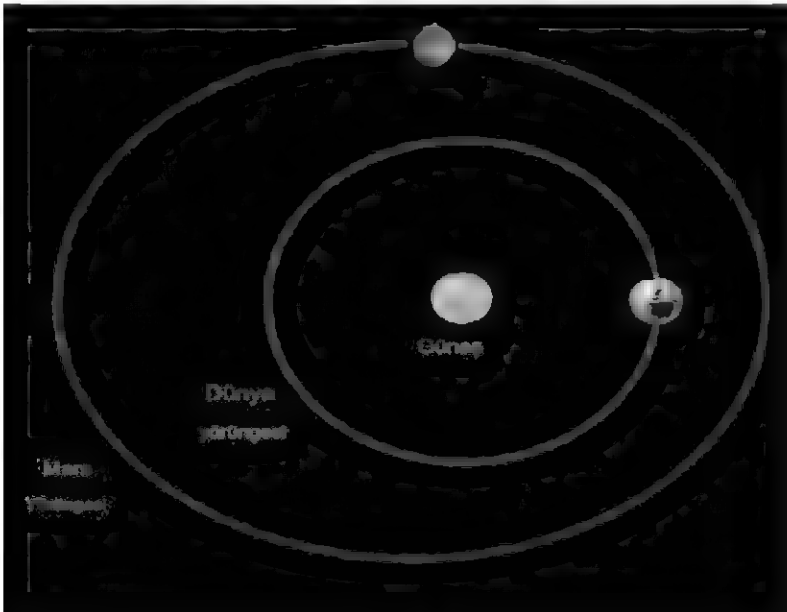
Source: JPL

Source: JPL

Source: JPL

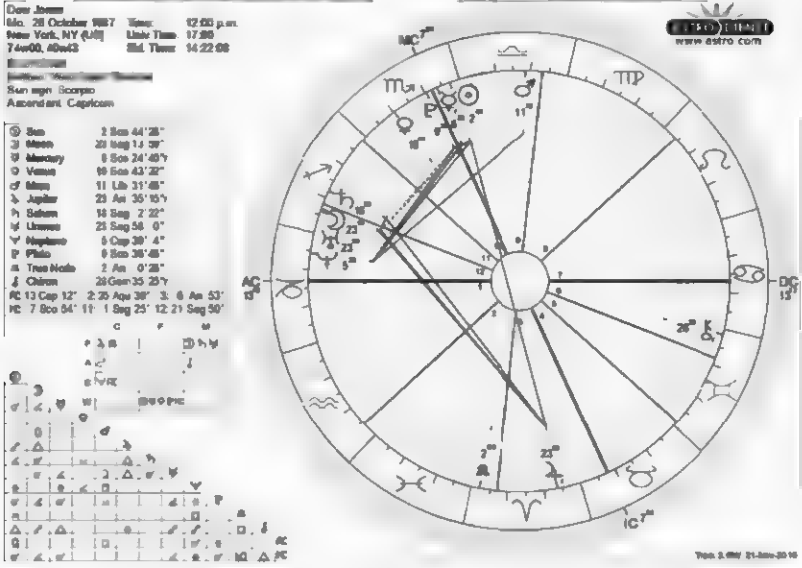


İşte Mars'ın o gün gökyüzündeki konumu



26 Ekim 1987'de borsa % -8,04 düştü

-8.04



İşte o gün Mars'ın gökyüzündeki konumu



15 Ekim 2008'de borsa % -7,87 düştü

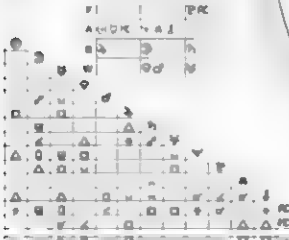
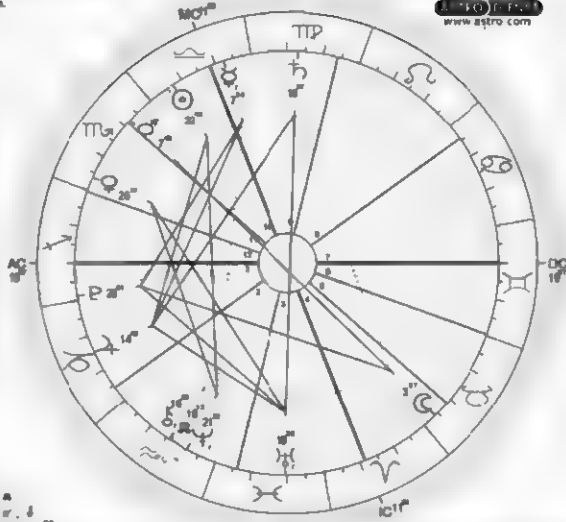
-7.87%

Dow Jones
We 15 October 2008 Time 12:50 p.m.
New York, NY (US) Local Time 18:50
Zurich, CH (CH) Local Time 12:42:13



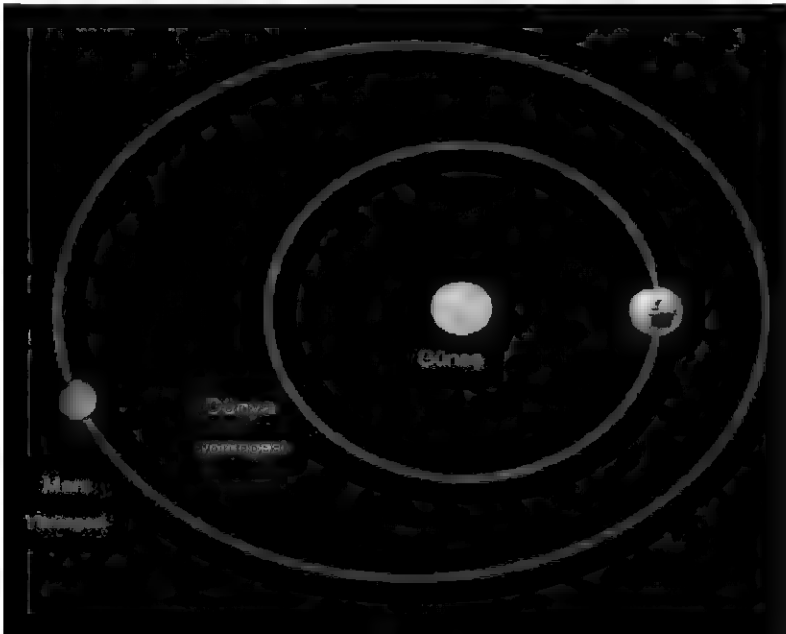
Method: Web Style / Placidus
Sun sign: Libra

☉ Sun	22 Lib 40' 3"
☽ Moon	5 Lib 5' 4"
☿ Mercury	7 Lib 34' 7"
♂ Mars	26 Sep 14' 2"
♂ Mars	7 Sep 48' 61"
♂ Jupiter	14 Cap 41' 48"
♂ Saturn	16 Vir 56' 35"
♂ Uranus	19 Pis 27' 57"
♂ Neptune	21 Aqu 53' 17"
♂ Pluto	26 Sep 50' 40"
♂ True Node	16 Aqu 12' 34"
♂ Chiron	16 Aqu 5' 52"
♂ RC 19 Sep 57'	2:25 Cap 43' 2: 6 Pis 5'
♂ RC 11 Lib 29' 11'	8 Sep 41' 12: 0 Sep 23'



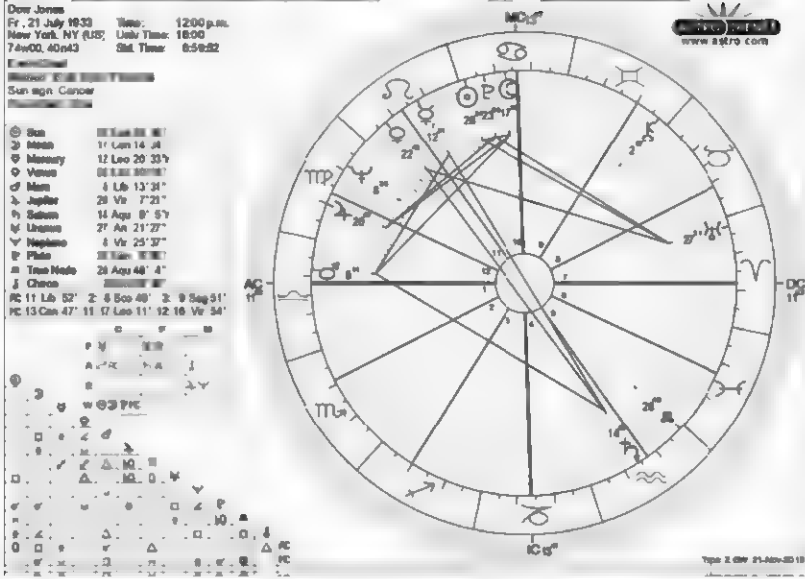
Page 2 of 2 21-Nov-2010

İşte o gün Mars'ın gökyüzündeki konumu

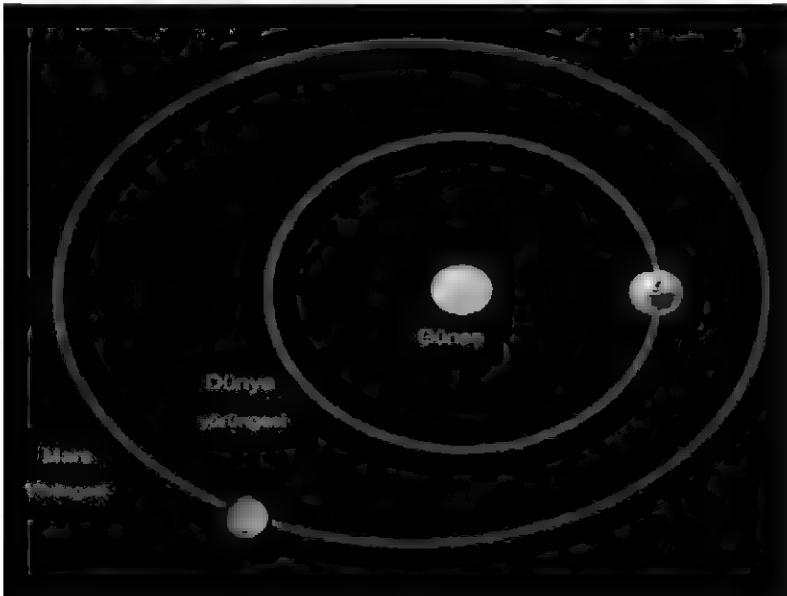


21 Temmuz 1933, Borsa -7.84 düştü

-7.84%

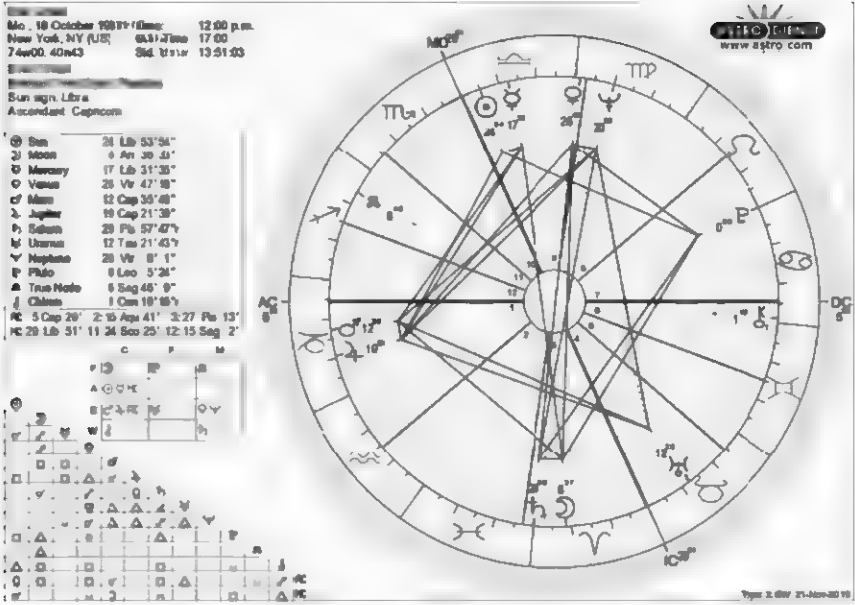


İşte o gün Mars'ın gökyüzündeki konumu



18 Ekim 1937'de borsa % -7,75 düştü

-7.75%



İşte o gün Mars'ın konumu



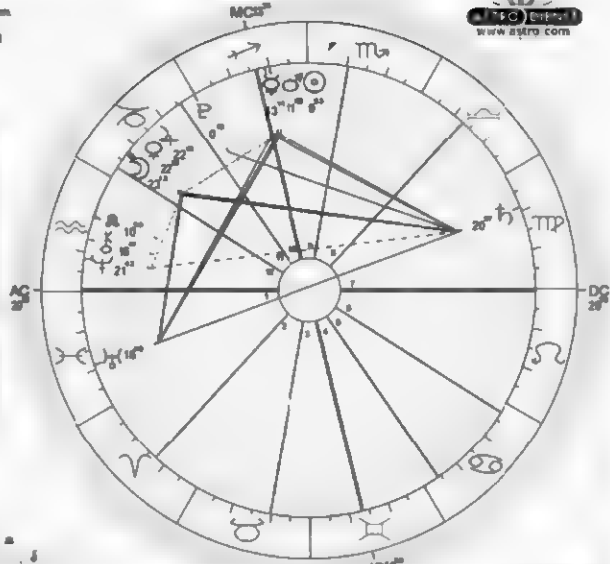
1 Aralık 2008'de borsa % -7,70 düştü

-7.70%

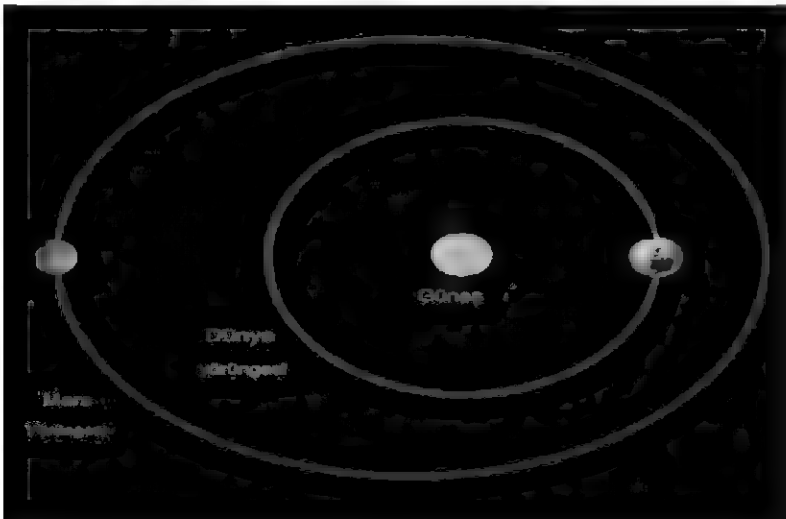
Mo 1 December 2008 Tarih: 12:00 p.m.
New York, NY (US) Uzunluk: 17 00
74w00, 40n43 Enlat: 78 75 10:47:41
Event Chart
Method: Web Style / Placidus
Sun sign: Sagittarius
Ascendant: Aquarius

www.astro.com

☉ Sun	9 Sep 52° 57"
☾ Moon	21 Sep 14° 04"
☿ Mercury	13 Sep 13° 43"
♀ Venus	22 Sep 30° 5"
♂ Mars	11 Sep 4° 09"
♃ Jupiter	22 Sep 18° 08"
♄ Saturn	28 Sep 08° 05"
♅ Uranus	14 Sep 44° 44"
♆ Neptune	21 Sep 42° 45"
♇ Pluto	6 Sep 6° 35"
♁ True Node	16 Sep 59° 4"
♊ Chiron	16 Sep 47° 22"
♈ RC 29 Sep 30° 2' 17" As 0° 2' 19" Tau 40°	
♏ RC 13 Sep 20° 11' 4" Cap 16° 12' 27" Cap 12°	



İşte Mars'ın o gün gökyüzündeki konumu



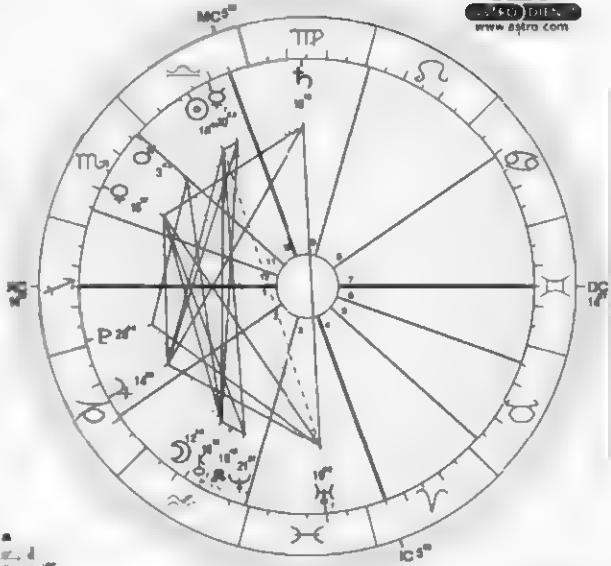
9 Ekim 2008'de borsa % -7,33 düştü

-7.33 %

Dow Jones
Th., 9 October 2008 Time: 12:00 p.m.
New York, NY (US) Univ. Time: 16:00
74600.40643 Sid. Time: 12:08:34
Event Chart
Sun sign: Libra
Ascendant: Sagittarius

www.astro.com

☉ Sun	16 Lib 43° 58"
☾ Moon	12 Aqr 16° 23"
☿ Mercury	16 Lib 53° 29"
♂ Mars	1 Sco 42° 48"
♂ Jupiter	14 Cap 4° 32"
♂ Saturn	16 Vir 16° 7"
♃ Uranus	19 Pis 39° 48"
♅ Neptune	21 Aqr 37° 16"
♄ Pluto	28 Sag 44° 25"
♁ True Node	16 Aqr 45° 38"
♊ Chiron	16 Aqr 10° 6"
PC 14 Sag 57"	2:19 Cap 27" 3:29 Aqr 3"
PC 5 Lib 3' 11"	3:50 Sco 10" 12:28 Sco 28"



Type: 2.007 21-Nov-2010

İşte o gün Mars'ın gökyüzündeki konumu



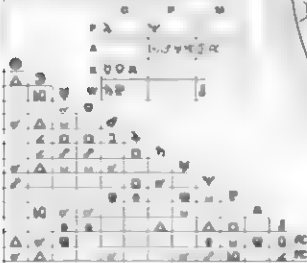
1 Şubat 1917'de borsa % -7,24 düştü

-7.24%

Dow Jones
Th.: 1 February 1917 Time: 12:00 p.m.
New York, NY (US) Local Time: 17:00
74000,40643 Std. Time: 20:00:00
Event Chart
Method: Web Style / Placidus
Sun sign: Aquarius

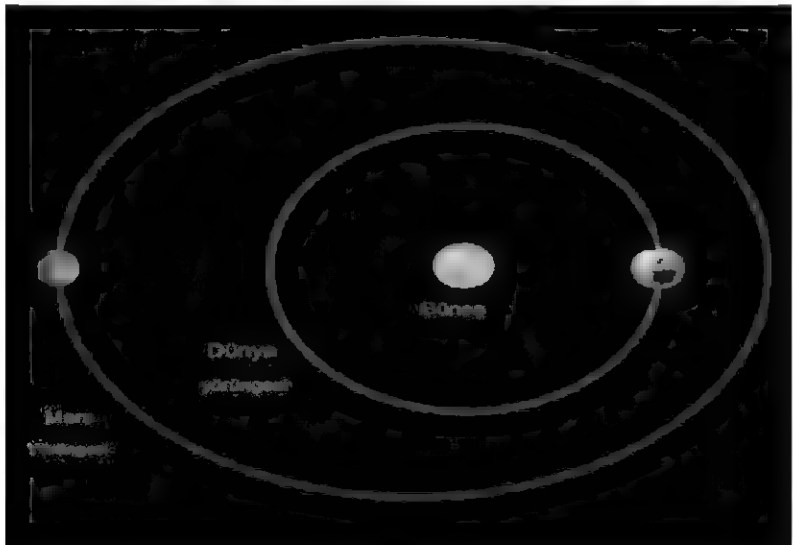
www.9gag.com

☉ Sun	12 Ağu 17° 02'
☾ Moon	14 Ağu 8° 38'
☿ Mercury	10 Ağu 51° 14'
♂ Mars	21 Ağu 32° 2'
♂ Venus	18 Ağu 15° 10'
♂ Jupiter	26 Ağu 24° 41'
♂ Saturn	25 Ağu 30° 24'
♂ Uranus	19 Ağu 10° 30'
♂ Neptune	5 Ağu 15° 34'
♂ Pluto	2 Ağu 40° 28'
♂ True Node	19 Ağu 45° 12'
♂ Chiron	23 Ağu 22° 38'
♂ RC	3 Ağu 30° 2' 27" Ağu 10° 3' 17" Ağu 43°
♂ PC	9 Ağu 53° 19' 5" Ağu 13° 12' 17" Ağu 44°



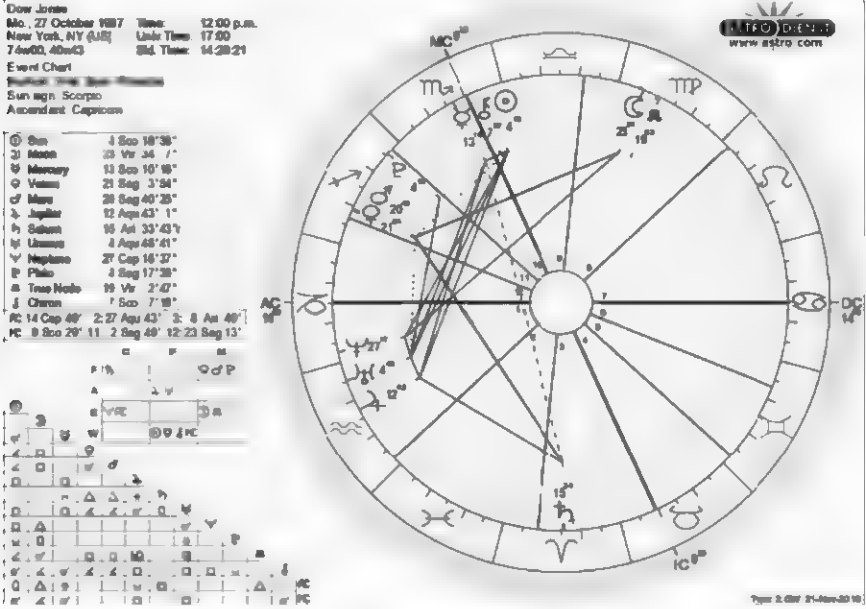
Type: 2.00 21-400-00 10

İşte o gün Mars'ın gökyüzündeki konumu



27 Ekim 1997'de borsa %7,18 düştü

-7.18%



İşte o gün Mars'ın gökyüzündeki konumu



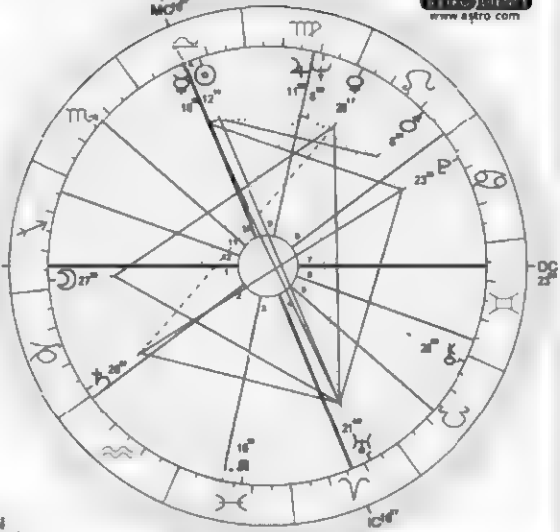
5 Ekim 1932'de borsa %7,15 düştü

-7.15 %

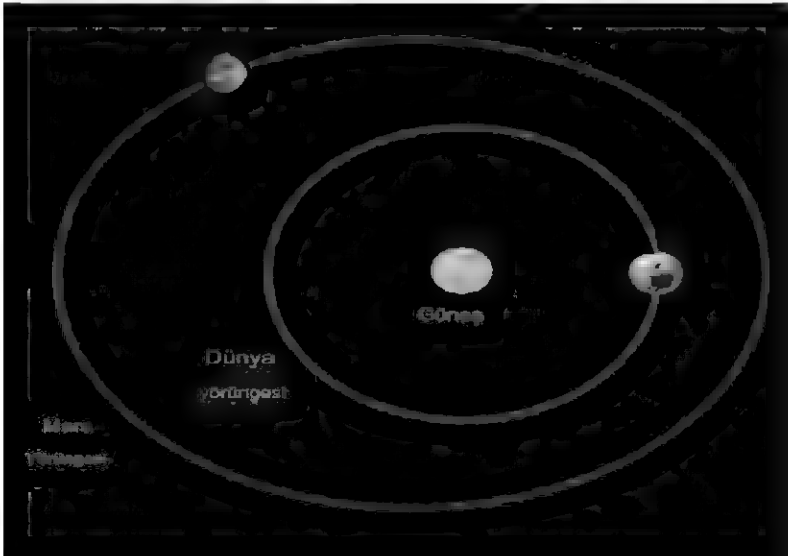
Dow Jones
Wo. 5 October 1932 Time: 12:00 p.m.
New York, NY (US) Local Time: 17:00
74x00 40x43 Std. Time: 13:00:37

Chart created with Astro-Software
Sun sign: Libra
Ascendant: Sagittarius

☉ Sun	12 Lib 14° 15'
☽ Moon	21 Sag 30° 12'
☿ Mercury	10 Lib 58° 15'
♋ Venus	26 Leo 17° 28'
♊ Mars	8 Leo 51° 27'
♂ Jupiter	11 Vir 50° 18'
♄ Saturn	28 Cap 7° 22'
♅ Uranus	21 Ari 46° 07'
♆ Neptune	8 Vir 58° 37'
♁ Pluto	25 Can 22° 59'
♂ True Node	16 Pa 51° 31'
♂ Chiron	25 Tau 8° 55'
♈ MC 23 Sag 58° 2'	♈ 0 Aqu 48° 3'
♏ DC 18 Lib 27° 11'	♏ 12 Sco 58° 12'

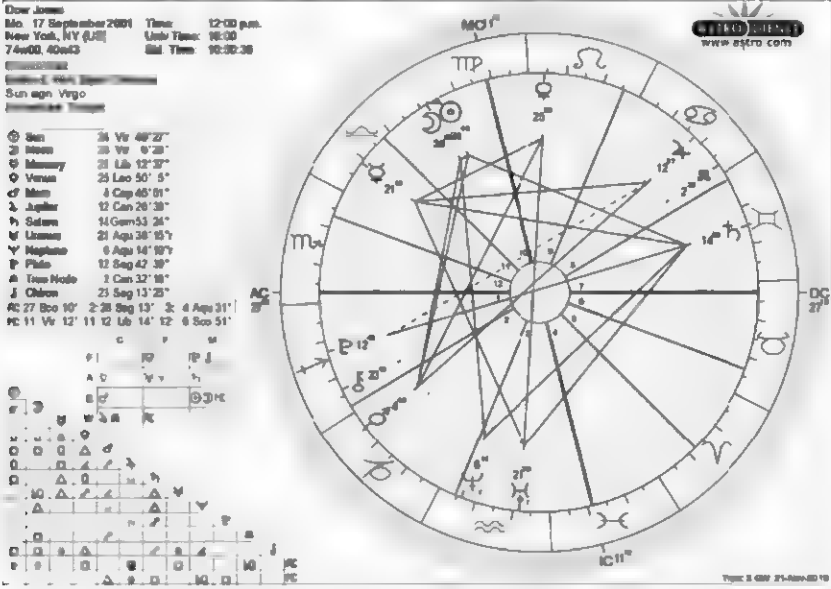


İşte o gün Mars'ın gökyüzündeki konumu



17 Eylül 2001'de borsa % -7,13 düştü

-7.13%



İşte o gün Mars'ın gökyüzündeki konumu



24 Eylül 1931'de borsa % -7,07 düştü

-7.07%

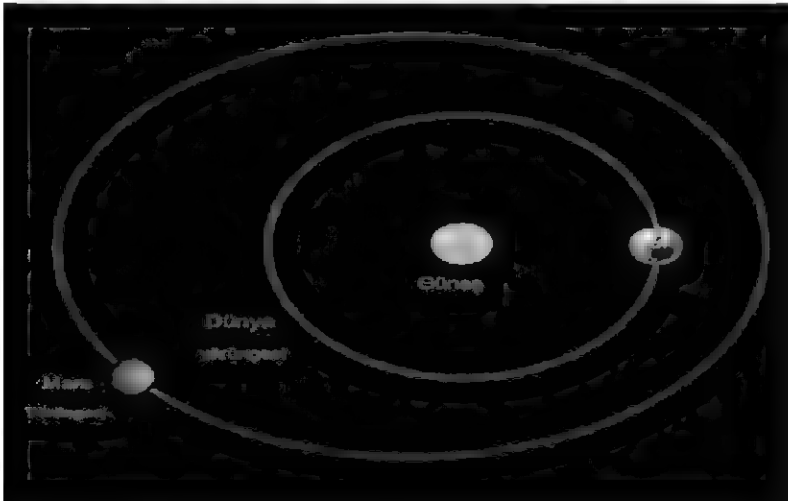
Dow Jones
Th: 24 September 1931 Time: 12:00 p.m.
New York, NY (US) Universal Time: 16:00
74w00, 49s43 Sid. Time: 11:14:28
Event Chart
Method: Web Style / Placidus
Sun sign: Libra
Ascendant: Sagittarius

☉ Sun	8 Lib 36' 13"
☾ Moon	7 Pis 13' 43"
♂ Mercury	13 Vir 31' 10"
♀ Venus	6 Lib 4' 21"
♂ Mars	4 Sco 55' 42"
♃ Jupiter	14 Leo 38' 35"
♄ Saturn	16 Cap 39' 12"
♅ Uranus	16 Ari 3' 37"
♆ Neptune	6 Vir 27' 23"
♇ Pluto	21 Can 59' 17"
♁ True Node	5 Ari 23' 28"
♊ Chiron	28 Tau 16' 22"
♈ 1 Sag 40'	♈ 3 Cap 37' 3.10 Aps 45"
♈ 17 Vir 31'	♈ 17 Lib 53' 12.11 Sco 50"



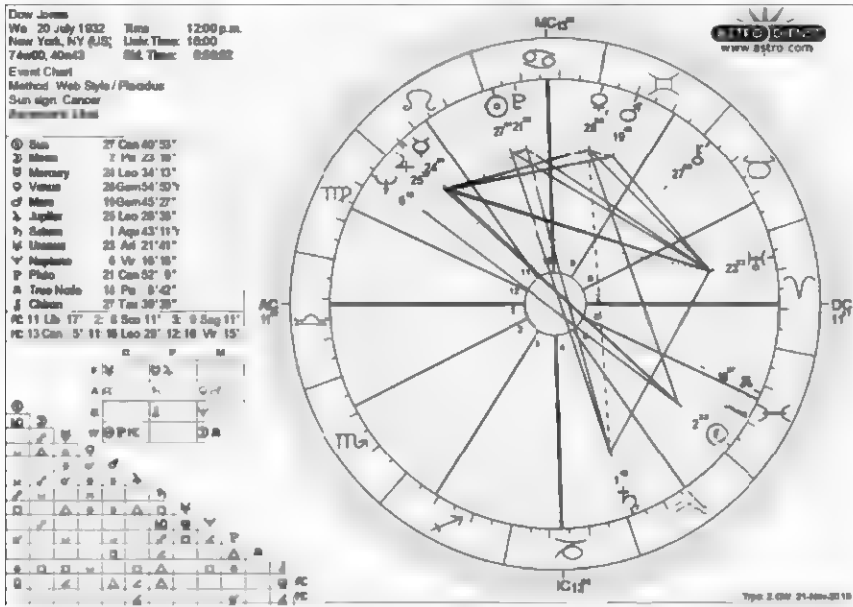
Year: 2. GN: 21-Nov-2010

İşte o gün Mars'ın gökyüzündeki konumu

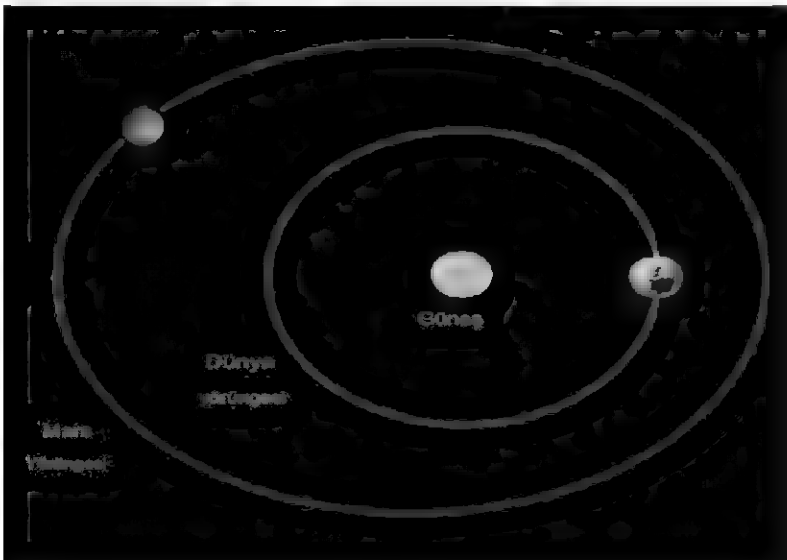


20 Temmuz 1932'de borsa % -7,07 düştü

-7.07%



İşte o gün Mars'ın gökyüzündeki konumu



30 Temmuz 1914'te borsa % -6,91 düştü

-6.91%

Event: 30 July 1914
Time: 12:00 p.m.
New York, NY (US)
7:40:00, 40:43
Sider Time: 8:33:56
Event Chart
Birthdate: 30 July 1914
Sun sign: Leo
Ascendant: Scorpio

☉ Sun	8 Leo 30° 37'
☽ Moon	10 Leo 0° 52'
☿ Mercury	10 Can 23° 05'
♀ Venus	17 Vir 28° 37'
♂ Mars	20 Vir 42° 11'
♃ Jupiter	10 Aqr 47° 12'
♄ Saturn	27 Gem 31° 38'
♅ Uranus	9 Aqr 45° 57'
♆ Neptune	28 Can 17° 57'
♇ Pluto	1 Can 30° 57'
♁ True Node	6 Pis 11° 35'
♊ Oberon	15 Pis 19° 39'
♈ PC	0 Sco 24° 2' 28
♉ PC	8 Leo 8° 11' 9
♊ PC	9 Vir 15° 12' 7
♋ PC	1 Lib 24° 1'



İşte o gün Mars'ın gökyüzündeki konumu

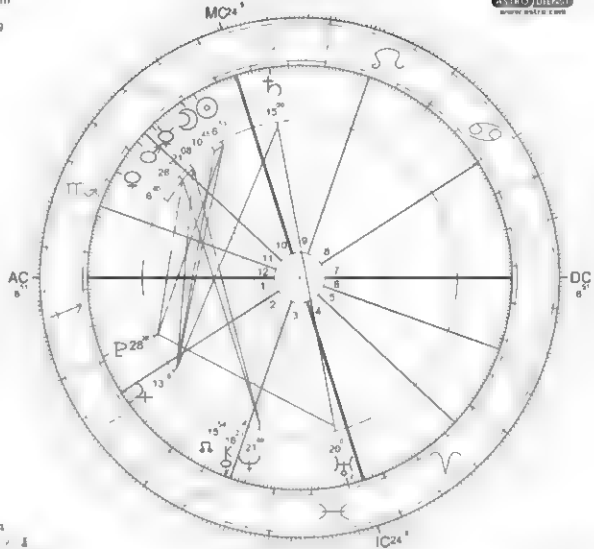


29 Eylül 2008'de borsa düştü - %6,98 -6,98%

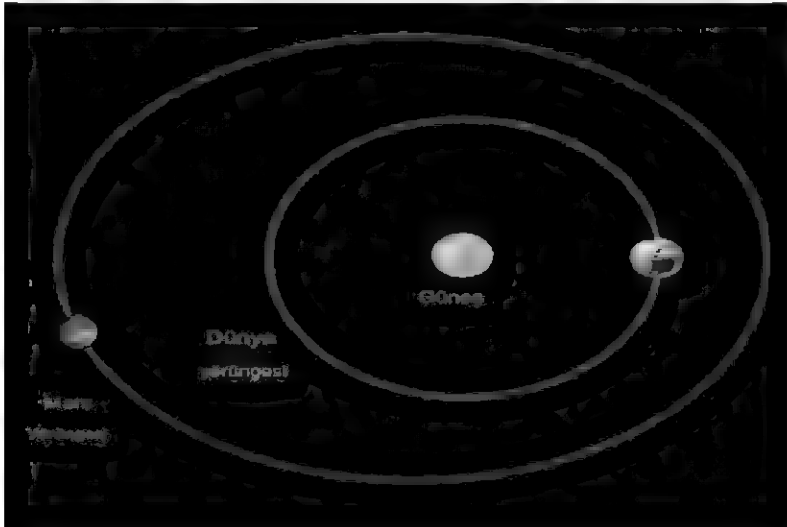
☿ Dow Jones
Mo. 29 September 2008 Time 12:00 p.m.
New York NY (US) Univ Time 16:00
74w00 40w43 Sid Time 11:39:09

Natal Chart
Methoni-Wah Style Placidus
Sun sign Libra
Ascendant Sagittarius

☉ Sun 6 Lib 42:33"
☾ Moon 10 Lib 44:46"
☿ Mercury 21 Lib 7:13"
♀ Venus 6 Lib 45:49"
♂ Mars 26 Lib 57:10"
♃ Jupiter 13 Cap 15:40"
♄ Saturn 15 Vir 5:37"
♅ Uranus 20 Pis 1:25"
♆ Neptune 21 Aqu 46:16"
♇ Pluto 23 Cap 36:24"
♁ Mean Node 14 Aug 54:16"
♂ Chiron 16 Aug 21:49"
☿ to Sag 61 2 9 44 15 3 7 Aug 44
☿ to 24 Vir 19 11 23 Lib 52 12:17 Sep 7



İşte o gün Mars'ın gökyüzündeki konumu



8 Ağustos 2011'de borsa % -5,15 düştü

-5.15%

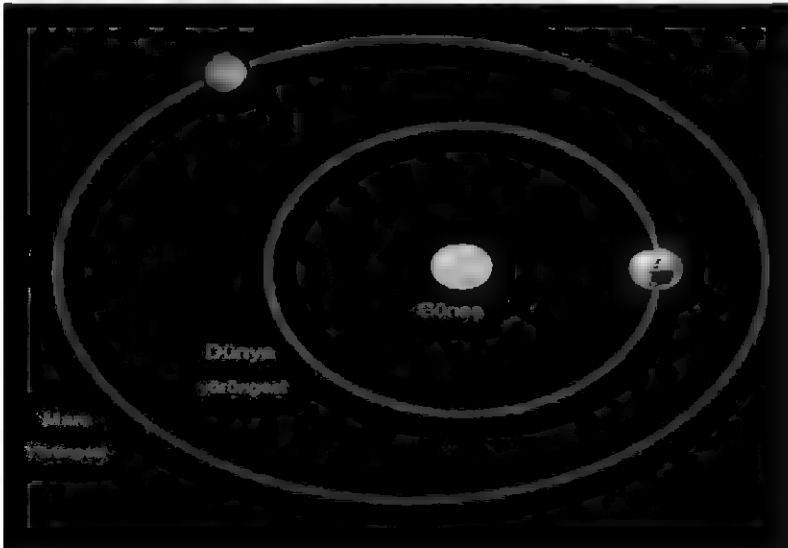
☾ Dow Jones
Mo: 8 August 2011 Time: 12:00 p.m.
New York, NY (US) Univ Time: 18:00
74w00 40n43 Sid Time: 8:11:18
Natal Chart
Methon: Web Style: Placidus
Sun sig: Leo
Ascendant: Libra

☉ Sun 15 Leo 46 35"
☾ Moon 14 Sag 55"
☿ Mercury 29 Leo 52 45"
♀ Venus 11 Vir 36 48"
♂ Mars 3 Can 3 14"
♃ Jupiter 8 Tau 35 2"
♄ Saturn 12 Lib 7 20"
♅ Uranus 4 Aqr 11 11"
♆ Neptune 29 Aqr 54 28"
♇ Pluto 5 Aqr 17 20"
♁ Mean Nodes 20 Sag 4 14"
♂ Chiron 3 Pis 53 23"
♈ Leo 37 11 3 Vir 51 12 2 Lib 28 1



Type: ZGW 7 Sep 2024

İşte o gün Mars'ın gökyüzündeki konumu

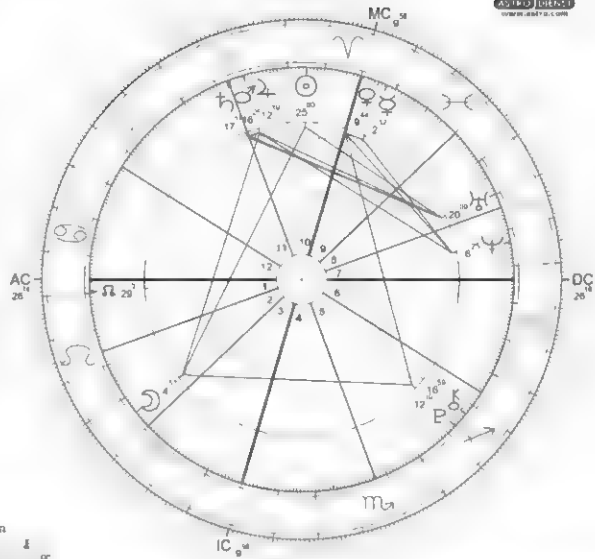


14 Nisan 2000'de borsa % -5,66 düştü

-5.66%

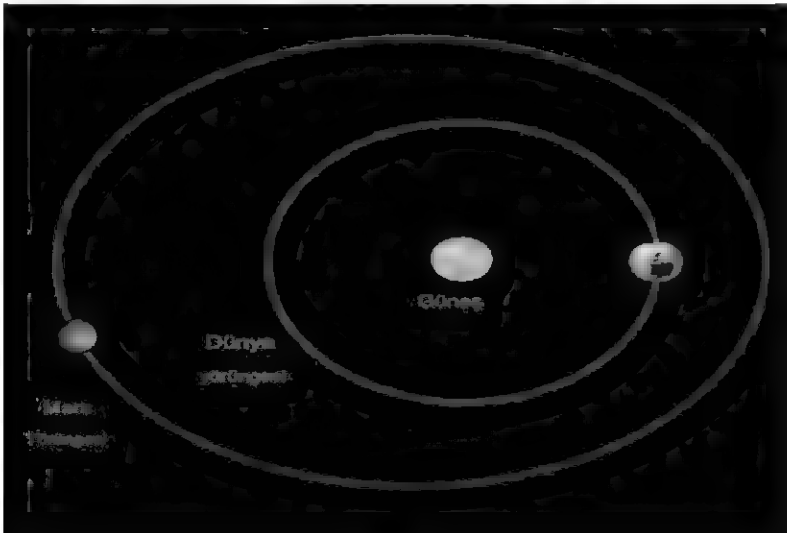
Fr 14 Apr 2000	Time	12 00 p.m.
New York NY (US)	Univ Time	16 00
74w00 40n43	Sid Time	0 36 31
Natal Chart		
Method: Web Style	Placidus	
Subsign: Ares		
Ascendant: Cancer		

☿ Sun	25	Ar	0	16"				
☾ Moon	4	V+	56	30"				
☿ Mercury	2	Ar	1	25"				
♀ Venus	9	Ar	4	59"				
♂ Mars	16	Tu	25	11"				
♃ Jupiter	12	Tu	15	53"				
♄ Saturn	17	Tu	1	26"				
♅ Uranus	20	Ar	4	41"				
♆ Neptune	6	Aqu	25	5"				
♇ Pluto	12	Ar	1	41"				
♁ Mean Node	21	Ar	1	27"				
♂ Chiron	16	Sag	58	30"				
♂ 26 CAr	19	2	6	Ar	1	3	9	52
♂ 1 Ar	56	11	16	13u	17	12	24	Gem 19

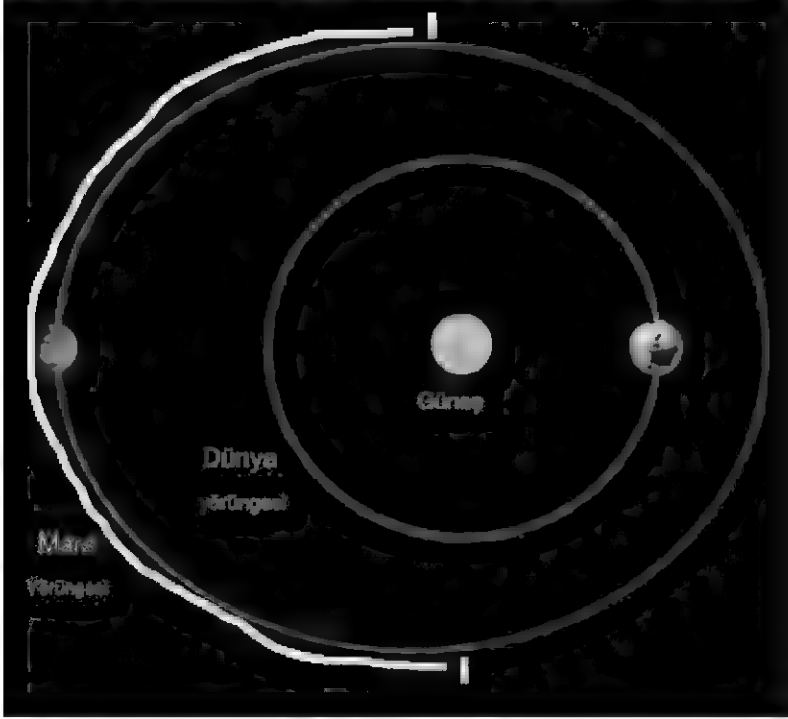


Type 2 GW 7 Sep 2024

İşte o gün Mars'ın gökyüzündeki konumu



Dow Jones tarihindeki tüm büyük borsa çöküşleri ve düşüşler boyunca Mars, Dünya'nın bakış açısından bakıldığında her zaman beyaz çizgiyle gösterilen yörünge evresindeydi.



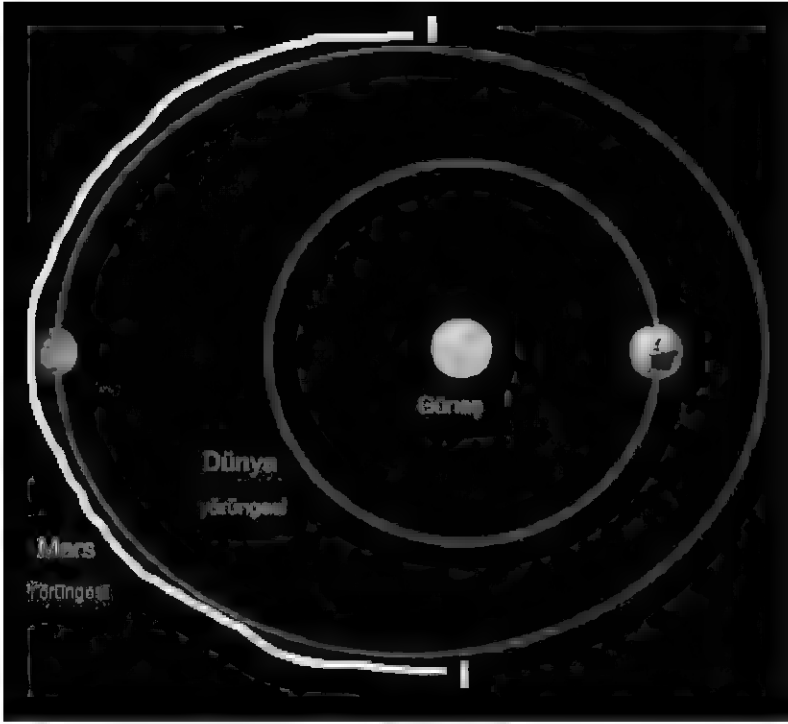
Bu veri, Mars beyaz çizgiyle işaretlenmemiş alanda yörüngedeyken büyük bir borsa çöküşünün asla gerçekleşmeyeceğini gösteriyor. Bunu %100 kesinlikle söyleyebiliriz.

Beyaz alan, Mars'ın Dünya'dan daha da uzaklaştığı yörünge evresidir, ancak aynı zamanda yer çekiminin Dünya'nın eksen eğimini Güneş'e doğru çektiği ve muhtemelen daha sıcak sıcaklıklar getirdiği, yatırımcı duygusunu en olumsuz şekilde etkilemesi gereken evredir, ortalamaya göre daha sıcak sıcaklıkların bilişsel işlevi etkilediği ve bir tür sinirlilik veya karamsarlığı tetiklediği varsayılmaktadır. Daha sıcak sıcaklıklar ve olumsuz ruh halleri arasındaki bu dinamiği doğrulayan çalışmalar vardır.

Beyaz alanın dışında, Mars Dünya'ya yaklaştıkça, Mars'ın yerçekimi Dünya'nın eksen eğimini Güneş'ten uzaklaştırıyor, muhtemelen daha serin sıcaklıklar ve daha az olumsuz ruh hali sonuçları getiriyor, bu da Mars'ın yörüngesinin bu aşamasında neden büyük borsa çöküşlerinin asla gerçekleşmediğini açıklayabilir
Dow Jones endeksinin 1896 ile 2023 yılları arasındaki değişimleri, Mars'ın yörünge evresine göre değişmektedir.
Boston'lu Anthony tarafından

Aşağıdaki verileri analiz etmeden önce bağlam için lütfen bu makaleye bakın
<https://www.academia.edu/123648970>

Aşağıda, Mars'ın Dünya'nın bakış açısından Güneş'in arkasına geçtiği zaman dilimleri ve Dow Jones'un bu zamanlardaki performansı yer almaktadır. 25 büyük borsa çöküşünün tamamı, Mars beyaz çizginin herhangi bir yerindeyken meydana gelmiştir. Bu, parantez içindeki verilerde belirtilmiştir. Teoriye göre, Mars bu yörünge evresindeyken, yer çekimi Dünya'nın eksenel eğimini Güneş'e doğru çeker, bu da sıcaklığı artırır ve yatırımcı güvenini olumsuz etkiler.



15 Temmuz 1896'dan 1 Eylül 1896'ya kadar Mars güneşin arkasındaydı. Dow Jones % -3,46 düştü

15 Şubat 1897-18 Ekim 1898, Mars güneşin arkasındaydı. Dow Jones %29 arttı

24 Mart 1899 – 15 Kasım 1900, Mars güneşin arkasındaydı. Dow Jones %-3,14 düştü (18 Aralık 1899'da borsa %8,72 düştü)

2 Mayıs 1901 - 27 Aralık 1902, Mars Güneş'in arkasındaydı. Dow -14,93% düştü

9 Haziran 1903 - 26 Ocak 1905, Mars Güneş'in arkasındaydı, Dow %23 arttı

1 Ağustos 1905 – 14 Mart 1907, Mars Güneş'in arkasındaydı, Dow -%4,84 düştü (14 Mart 1907'de borsa %8,29 düştü)

14 Ekim 1907 – 13 Mayıs 1909 – Mars güneşin arkasında, Dow yükseldi +40%

18 Aralık 1909 – 8 Ağustos 1911 – Mars Güneş'in arkasında, Dow % -15,63 düştü

27 Ocak 1912 – 4 Ekim 1913 – Mars Güneş'in arkasında, Dow % -0,30 düştü

11 Mart 1914 – 9 Kasım 1915 – Mars güneşin arkasında, Dow %17,29 yükseldi

(30 Temmuz 1914, borsa %6,91 düştü)

18 Nis 1916 – 12 Ara 1917 – Mars Güneş'in arkasında, Dow % -26,10 düştü

(1 Şubat 1917'de borsa -7,24%) düştü

22 Mayıs 1918 – 14 Ocak 1920 - Mars güneşin arkasında, Dow %23,54 yükseldi

7 Temmuz 1920 – 19 Şubat 1922 – Mars Güneş'in arkasında, Dow % -7,60 düştü

15 Eylül 1922 – 12 Nisan 1924 – Mars Güneş'in arkasında, Dow -%8,78 düştü

23 Kasım 1924 – 10 Temmuz 1926 – Mars güneşin arkasında, Dow yükseldi +36%

16 Ocak 1927 – 15 Eylül 1928 – Mars güneşin arkasında, Dow %45 yükseldi

1 Mart 1929 – 27 Ekim 1930 - Mars Güneş'in arkasında, Dow %38 düştü

(29 Ekim 1929 Borsa çöküşü)
 (6 Kasım 1929 Borsa Çöküşü)
 28 Mart 1931 – 30 Kasım 1932 - Mars Güneş'in arkasında, Dow -%92,36 düştü
 (12 Ağustos 1932, borsa % -8,4 düştü)
 (24 Eylül 1931'de borsa %7,07 düştü)
 (5 Ekim 1932'de borsa % -7,15 düştü)
 (20 Temmuz 1932, borsa %7,07 düştü)
 3 Mayıs 1933 – 1 Ocak 1935, Mars güneşin arkasında, Dow yükseldi +37%
 (21 Temmuz 1933, Borsa %7,84 düştü)
 16 Haziran 1935 – 3 Şubat 1937, Mars güneşin arkasında, Dow %47,67 yükseldi
 10 Ağustos 1937 – 22 Mart 1939, Mars Güneş'in arkasında, Dow -%21,97 düştü
 (18 Ekim 1937'de borsa %7,75 düştü)
 25 Ekim 1939 – 2 Haziran 1941 – Mars Güneş'in arkasında, Dow -%25,90 düştü
 31 Aralık 1942 – 28 Ağustos 1943 – Mars güneşin arkasında, Dow %21,05 yükseldi
 13 Şubat 1944 – 12 Ekim 1945 – Mars güneşin arkasında, Dow yükseldi +32%
 17 Mart 1946 – 18 Kasım 1947 – Mars Güneş'in arkasında, Dow düştü – %4,61
 23 Nis 1948 – 18 Ara 1949 – Mars güneşin arkasında, Dow yükseldi +8,78%
 29 Mayıs 1950 – 22 Ocak 1952- Mars güneşin arkasında, Dow %22,91 yükseldi
 16 Temmuz 1952 – 2 Mart 1954 – Mars güneşin arkasında, Dow %7,72 yükseldi
 1 Ekim 1954 - 28 Nisan 1956 – Mars güneşin arkasında, Dow %36,53 yükseldi
 7 Aralık 1956 – 25 Temmuz 1958 – Mars güneşin arkasında, Dow %2,42 yükseldi
 27 Ocak 1959 – 26 Eylül 1960 – Mars Güneş'in arkasında, Dow -1,68% düştü
 5 Mart 1961 – 6 Kasım 1962 – Mars Güneş'in arkasında, Dow -%7,97 düştü
 10 Nis 1963 – 6 Ara 1964 – Mars güneşin arkasında, Dow %21,51 yükseldi
 17 Mayıs 1965 – 8 Ocak 1967 – Mars Güneş'in arkasında, Dow -%14,02 düştü
 26 Haziran 1967 – 14 Şubat 1969 – Mars güneşin arkasında, Dow %8,68 yükseldi
 24 Ağustos 1969 - 1 Nisan 1971 – Mars güneşin arkasında, Dow %9,19 yükseldi
 17 Kas 1971 – 20 Haz 1973 – Mars güneşin arkasında, Dow +%8,88 yükseldi
 15 Ocak 1974 – 9 Eylül 1975 – Mars güneşin arkasında, Dow %2,03 yükseldi
 21 Şubat 1976 – 20 Ekim 1977 – Mars Güneş'in arkasında, Dow % -18,33 düştü
 29 Mart 1978 – 23 Kasım 1979 – Mars Güneş'in arkasında, Dow %8,27 düştü
 1 Mayıs 1980 – 24 Aralık 1981 – Mars güneşin arkasında, Dow %8,21 yükseldi
 9 Haziran 1982 – 30 Ocak 1984 – Mars güneşin arkasında, Dow %44 yükseldi
 1 Ağustos 1984 – 16 Mart 1986 – Mars güneşin arkasında, Dow %49 yükseldi
 15 Ekim 1986 – 19 Mayıs 1988 – Mars güneşin arkasında, Dow %16,03 yükseldi
 (19 Ekim 1987 Borsa çöküşü)
 (26 Ekim 1987'de borsa %8,04 düştü)
 17 Aralık 1988 – 7 Ağustos 1990 – Mars güneşin arkasında, Dow %24,76 yükseldi
 6 Şubat 1991 – 5 Ekim 1992 – Mars güneşin arkasında, Dow %14,44 yükseldi
 12 Mart 1993 – 10 Kasım 1994 – Mars güneşin arkasında, Dow %10,79 yükseldi
 21 Nis 1995 – 13 Ara 1996 – Mars Güneş'in arkasında, Dow %40,92 yükseldi
 20 Mayıs 1997 – 14 Ocak 1999 – Mars güneşin arkasında, Dow %26,49 yükseldi
 (27 Ekim 1997'de borsa -7.18% düştü)
 8 Temmuz 1999 – 22 Şubat 2001 – Mars Güneş'in arkasında, Dow % -3,20 düştü
 (14 Nisan 2000, borsa %5,66 düştü)
 13 Eylül 2001 – 18 Nisan 2003 – Mars Güneş'in arkasında, Dow % -9,25 düştü
 (17 Eylül 2001, borsa %7,13 düştü)
 1 Aralık 2003 – 12 Temmuz 2005 – Mars güneşin arkasında, Dow %8,13 yükseldi
 17 Ocak 2006 – 17 Eylül 2007 – Mars güneşin arkasında, Dow %21,00 yükseldi
 27 Şubat 2008 – 28 Ekim 2009 – Mars Güneş'in arkasında, Dow % -16,66 düştü
 (15 Ekim 2008, borsa %7,87 düştü)

(29 Eylül 2008'de borsa %6,98 düştü)

(9 Ekim 2008, borsa %7,33 düştü)

(1 Aralık 2008'de borsa %7,70 düştü)

5 Nis 2010 – 1 Ara 2011 – Mars Güneş'in arkasında, Dow %12,35 yükseldi

(8 Ağustos 2011, borsa %5,15 düştü)

8 Mayıs 2012 – 2 Ocak 2014 – Mars Güneş'in arkasında, Dow yükseldi + 24.46%

15 Haz 2014 – 8 Şub 2016 – Mars Güneş'in arkasında, Dow % -2,81 düştü

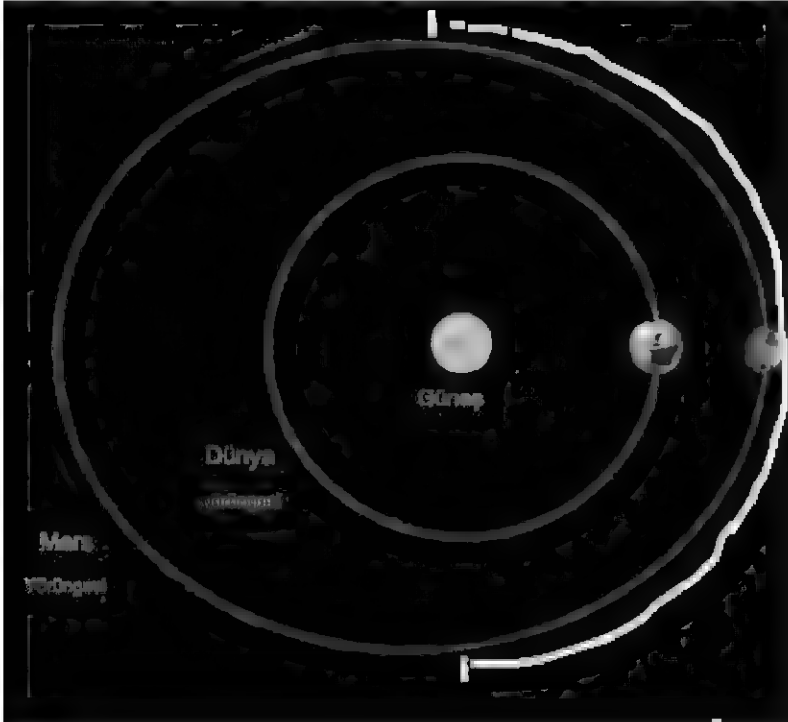
15 Ağustos 2016 – 23 Mart 2018 – Güneşin arkasında Mars, Dow %24 yükseldi

4 Kas 2018 – 7 Haz 2020 – Mars Güneş'in arkasında, Dow %7,28 yükseldi

(9, 12 ve 16 Mart 2020, Borsa Çöküşü)

1 Ocak 2021 – 27 Ağustos 2022 - Güneşin arkasında Mars, Dow %5,48 yükseldi

Aşağıda, Mars'ın Dünya'nın bakış açısından Güneş'in önünden geçtiği zaman dilimleri ve Dow Jones'un bu zamanlardaki performansı gösterilmektedir. Mars beyaz çizginin herhangi bir yerindeyken büyük borsa çöküşleri yaşanmamıştır (aşağıya bakın). Bu, verilerde belirtilmiştir. Teoriye göre, Mars bu yörünge evresindeyken, yer çekimi Dünya'nın eksenel eğimini Güneş'ten uzaklaştırır, soğumayı artırır ve yatırımcı güvenini olumlu etkiler.



2 Eylül 1896'dan 13 Şubat 1897'ye kadar Mars güneşin önündeydi. Dow Jones %22 arttı
19 Ekim 1898 - 23 Mart 1899, Mars güneşin önünde, Dow Jones +32.90 yükseldi
16 Kasım 1900 – 1 Mayıs 1901, Mars güneşin önündeydi. Dow Jones % 13,49 yükseldi
28 Aralık 1902 - 9 Haziran 1903, Mars Güneş'in önündeydi, Dow -10.09% düştü
27 Ocak 1905 – 31 Temmuz 1905, Mars Güneş'in önündeydi, Dow Jones %16 arttı
15 Mart 1907 – 13 Ekim 1907 – Güneşin önünde Mars Dow -%18,70 düştü
14 Mayıs 1909 – 17 Aralık 1909 - Mars Güneş'in önünde, Dow +8.23 yükseldi
9 Ağustos 1911 – 26 Ocak 1912 – Mars Güneş'in önünde, Dow % -0,53 düştü
5 Ekim 1913 - 9 Mart 1914 – Mars Güneş'in önünde, Dow %1,17 yükseldi
10 Kas 1915 – 18 Nis 1916 – Mars Güneş'in önünde Dow %0,04 yükseldi

13 Aralık 1917 – 21 Mayıs 1918 – Mars Güneş'in önünde, Dow %21 yükseldi
 15 Ocak 1920 – 6 Temmuz 1920 – Mars Güneş'in önünde, Dow % -8,06 düştü
 20 Şubat 1922 – 14 Eylül 1922 – Mars Güneş'in önünde, Dow %18,33 arttı
 13 Nisan 1924 – 22 Kasım 1924 – Mars Güneş'in önünde, Dow %19,21 yükseldi
 11 Temmuz 1926 – 15 Ocak 1927 – Mars Güneş'in önünde, Dow % +0,47 yükseldi
 16 Eylül 1928 – 28 Şubat 1929 – Güneşin önünde Mars Dow yükseldi +29%
 28 Ekim 1930 – 27 Mart 1931- Mars Güneş'in önünde, Dow % -7,81 düştü
 30 Kasım 1932 – 2 Mayıs 1933, Mars güneşin önünde, Dow %35 yükseldi
 2 Ocak 1935 – 15 Haziran 1935, Mars Güneş'in önünde, Dow %14,15 yükseldi
 4 Şubat 1937 – 9 Ağustos 1937, Mars Güneş'in önünde, Dow % -0,31 düştü
 23 Mart 1939 – 24 Ekim 1939 – Mars güneşin önünde, Dow %11,45 yükseldi
 3 Haziran 1941 – 30 Aralık 1941 – Mars Güneş'in önünde, Dow % -3,81 düştü
 29 Ağustos 1943 – 12 Şubat 1944 – Mars Güneş'in önünde, Dow % -0,11 düştü
 13 Ekim 1945 – 16 Mart 1946 – Mars Güneş'in önünde, Dow %4,87 yükseldi
 19 Kasım 1947 – 22 Nisan 1948 – Mars Güneş'in önünde, Dow yükseldi +0,91%
 19 Aralık 1949 – 28 Mayıs 1950 – Mars Güneş'in önünde, Dow %11,49 yükseldi
 23 Ocak 1952 – 15 Temmuz 1952 – Mars Güneş'in önünde, Dow % +0,64 yükseldi
 3 Mart 1954 – 1 Ekim 1954 – Mars Güneş'in önünde, Dow %19,25 yükseldi
 29 Nisan 1956 – 7 Aralık 1956 – Mars Güneş'in önünde, Dow % -3,00 düştü
 26 Temmuz 1958 – 26 Ocak 1959 - Mars Güneş'in önünde, Dow %16,86 yükseldi
 27 Eylül 1960 – 5 Mart 1961 – Mars Güneş'in önünde, Dow %15,37 yükseldi
 7 Kas 1962 – 9 Nis 1963 – Mars Güneş'in önünde, Dow %14,72 yükseldi
 7 Aralık 1964 – 16 Mayıs 1965 – Mars Güneş'in önünde, Dow %7,70 yükseldi
 9 Ocak 1967 – 25 Haziran 1967 – Mars Güneş'in önünde, Dow % +8,43 yükseldi
 15 Şubat 1969 – 23 Ağustos 1969 – Mars Güneş'in önünde, Dow % -12,54 düştü
 2 Nis 1971 – 16 Kas 1971 – Mars Güneş'in önünde, Dow % -9,42 düştü
 21 Haziran 1973 – 14 Ocak 1974 – Mars Güneş'in önünde, Dow % -3,98 düştü
 10 Eylül 1975 – 20 Şubat 1976 – Mars Güneş'in önünde, Dow %18,21 yükseldi
 21 Ekim 1977 – 28 Mart 1978 – Mars Güneş'in önünde, Dow % -6,84 düştü
 24 Kas 1979 – 30 Nis 1980 – Mars güneşin önünde, Dow %1,17 yükseldi
 25 Aralık 1981 – 8 Haziran 1982 – Mars Güneş'in önünde, Dow % -8,11 düştü
 1 Şubat 1984 – 30 Temmuz 1984 – Mars güneşin önünde, Dow yükseldi -%9,10
 17 Mart 1986 – 14 Ekim 1986 – Mars güneşin önünde, Dow %1,18 yükseldi
 20 Mayıs 1988 – 16 Aralık 1988 – Mars güneşin önünde, Dow %10,03 yükseldi
 8 Ağustos 1990 – 5 Şubat 1991 – Mars Güneş'in önünde, Dow % +3,77 yükseldi
 6 Ekim 1992 – 11 Mart 1993 – Mars Güneş'in önünde, Dow yükseldi + 8.58%
 11 Kas 1994 – 20 Nis 1995 – Mars Güneş'in önünde, Dow %10,37 yükseldi
 14 Aralık 1996 – 19 Mayıs 1997 – Mars Güneş'in önünde, Dow %14,24 yükseldi
 15 Ocak 1999 – 7 Temmuz 1999 – Mars Güneş'in önünde, Dow %21,08 yükseldi
 23 Şubat 2001 – 12 Eylül 2001 – Mars Güneş'in önünde, Dow %8 düştü
 19 Nis 2003 – 30 Kas 2003 – Mars Güneş'in önünde, Dow %16 yükseldi
 13 Temmuz 2005 – 16 Ocak 2006 – Mars Güneş'in önünde, Dow %4,30 yükseldi
 18 Eylül 2007 – 26 Şubat 2008 – Mars Güneş'in önünde, Dow -4.71 düştü
 29 Ekim 2009 – 4 Nisan 2010 – Mars Güneş'in önünde, Dow %12,09 yükseldi
 2 Aralık 2011 – 7 Mayıs 2012 – Mars Güneş'in önünde, Dow % +8,17 yükseldi
 3 Ocak 2014 – 14 Haziran 2014 – Mars Güneş'in önünde, Dow %2,27 yükseldi
 9 Şubat 2016 – 14 Ağustos 2016 – Mars Güneş'in önünde, Dow %15,08 yükseldi
 24 Mar 2018 – 3 Kas 2018 – Mars Güneş'in önünde, Dow %7,69 yükseldi
 8 Haz 2020 – 31 Ara 2020 – Mars Güneş'in önünde, Dow %16,45 yükseldi
 28 Ağu 2022 – 19 Şub 2023 – Mars Güneş'in önünde, Dow %4,78 yükseldi

Bölüm III

Bu makalenin gösterdiği şeyle ilgili ilgili bağlamı elde etmek için, bu fikrin ilk kez kamuoyuna duyurulmasından yaklaşık 5 yıl sonra, Mart 2024'te Nature Communications'da yayınlanan yakın tarihli bir çalışmayı hesaba katmak önemlidir. Mart 2024'te yayınlanan bu çalışmada, araştırmacılar Mars'ın Dünya'nın eğimine bir çekim kuvveti uyguladığını, Dünya'yı daha sıcak sıcaklıklara ve daha fazla güneş ışığına maruz bıraktığını keşfettiler, hepsi 2,4 milyon yıllık bir döngü içinde. Bunun, daha küçük zaman dilimlerinde bile Mars'ın Dünya'nın eksenel eğimine hala bir çekim kuvveti uyguladığını, Dünya'nın bakış açısından Mars Güneş'in arkasına geçtiğinde sıcaklıkları artırmaya veya Güneş'in önüne geçtiğinde sıcaklıkları düşürmeye yetecek bir çekim kuvveti uyguladığını varsaymamızı sağladığını iddia ediyorum. Bu, diğer dinamikler yağışa yol açan sıcaklık bozulmalarını tetiklerse yağış etkileyecektir.

Dünya'nın milyonlarca yıllık iklim döngülerinde beklenmedik bir oyuncunun varlığına dair yeni kanıtlar: Mars gezegeni

Varlığımız, uyku ve yemeğe bağlılık ritimlerden mevsimler değişimi ve artık yılların dört yılda bir tekrarlanması gibi daha uzun süreli kalıplara kadar doğa döngüler tarafından yönetilir.

65 milyon ilncesine uzanan deniz tabanı tortusuna baktıklar sonra üstteye çıkarmak için daha önce tespit edilmiş bir döngü buldük. Dünya ile Mars arasındaki çekim meselesi çekimlerin yonengirdiği 2,4 milyon yıllık döngüde mevsimlerin da gasına bağlı olarak deniz akıntılarındaki bir geigil. Araştırmamız Nature Communications'ta yayınlandı.



Atila D. D. D. D. D.



Oğuzhan M. M. M. M.



2014 yılında Washington Üniversitesi'nden iki bilim insanı 15 yıllık iklim verilerini inceledi ve ay sayımlarının yağış etkilediğini keşfetti. Tsubasa Kohyama ve profesörü John Wallace 1998 ile 2012 yılları arasındaki 15 yıllık yağış verilerini inceledi ve Ay'ın bizim bakış açımızdan, Dünya'nın üzerinde veya ayaklarımızın altında

durduğumuzdaki konumunun, hava basıncının artmasına, bunun da daha yüksek sıcaklıklara, daha fazla emilen neme ve daha az yağışa yol açtığını buldu. Ancak, etki tüm yağış değişimlerinin yalnızca %1'iydi ancak veriler Ay'ın konumunu yağışla ilişkilendirmek için yeterince önemliydi. Bizim bakış açımızdan doğarken veya batarken, yağış teorik olarak daha yüksek olmalıydı. Ancak çalışmaya göre meridyende Ay yağışı azaltıyor. Bu çalışmanın arkasındaki bilim, Ay'ın yer çekiminin Dünya atmosferini daha yükseğe çekerek hava basıncını artırmasıdır. Bu olduğunda, alttaki hava daha sıcak hale gelir ve daha fazla nem emebilir. Bu çalışma, Ay'ın konumunu yağış tetikleyicimiz olarak kullanmamızı sağlar. Ayrıca, Ay'ın Dünya'nın salınımı üzerinde dengeleyici bir etkiye sahip olduğu anlaşıldığından, Ay'ın Mars'a göre konumunun, Dünya'nın eksen eğikliği üzerindeki Mars'ın çekim gücüne karşı geçici bir zıt etki oluşturduğunu söyleyebiliriz; yani Ay, Mars'ın karşısına geldiğinde, Dünya üzerindeki Mars'ın çekim gücünün beslediği mevcut eğilimden anlık olarak sıcaklıkları değiştirebilir.

UW HABERLERİ

29. Ekim 2016

Ay'ın gelgit kuvvetleri Dünya'daki yağış miktarını etkiliyor

Hannah Hickey

Ay'ın gelgit kuvvetleri Dünya'daki yağış miktarını etkiliyor. Bu çalışma, Ay'ın konumunun yağış miktarını etkilediğini gösteriyor. Bu çalışma, Ay'ın konumunun yağış miktarını etkilediğini gösteriyor.

Washington Üniversitesi'nden bilim insanları, Ay'ın konumunun yağış miktarını etkilediğini gösteriyor. Bu çalışma, Ay'ın konumunun yağış miktarını etkilediğini gösteriyor.

Mars'ın güneş etrafındaki dönüşü ve bunun yeryüzündeki iklim kalıpları ve insan davranışlarıyla bağlantısı hakkındaki bu yeni anlayışla, bu dinamiğin yağış tahmin etmede nasıl işleyeceğini tahmin edebiliriz. Yağışın temel varsayımı, daha sıcak havanın, daha soğuk hava gelene ve su buharının yoğunlaşma adı verilen bir süreç girmesine neden olana kadar nemi/su buharını tutabilmesidir; bu da

su buharlarını sıvı damlacıklarına veya yağmur olarak bildiğimiz şeye dönüştürür. Mars'ın yağmur için koşulları nasıl yaratabildiğini anlamak, yağış olaylarını çok daha verimli bir şekilde tahmin etmemize yardımcı olacaktır. Şimdiye kadar, Mars'ın güneşin arkasına geçtiğinde, Dünya'nın bakış açısından, Dünya'nın eksenel eğimine uyguladığı kütle çekim kuvvetinin Dünya'yı daha fazla güneş ışığına ve daha sıcak sıcaklıklara maruz bırakabileceği varsayılmıştır. Mars, Dünya'nın bakış açısından Güneş'in önüne geçtiğinde, Dünya'nın eksenel eğimine uyguladığı kütle çekim kuvveti, Dünya'yı Güneş'ten uzaklaştırır; bu da daha az güneş ışığına, daha az ısıya ve daha fazla soğumaya neden olmalıdır. Bu yönleri göz önünde bulundurarak, bu dinamiği bu olayın gerçekleştiği mevsimlere uygulayabiliriz; bu da daha sıcak havanın daha soğuk hava ile ne zaman karışacağını veya tam tersinin gerçekleşeceğini ve nemin çökerek yağmura dönüşmesi için gerekli koşulları yaratacağını tahmin etmemize olanak tanır.

İşte ne demek istediğime dair bir örnek. Bir takvim yılındaki daha sıcak aylar, 20 Mart civarında başlayıp 20 Eylül'e kadar süren ilkbahar ve yazdır. Mars değişkeninden etkilenmediği sürece, yılın bu zamanında havada daha fazla nem ve daha az yağmur olacağını sabit olarak sürdürebiliriz; yani eğer Mars bu dönemde güneşin arkasında hareket ediyorsa, Dünya'nın güneş ışığına ve sıcaklığa maruz kalmasını artırıyorsa, yağışın daha az olması beklenebilir ve bu da o yılki ilkbahar ve yazın daha kuru olacağını tahmin etmemizi sağlar. Tam tersi ise, yani Mars ilkbahar ve yaz aylarında güneşin önünde hareket ediyorsa, Dünya'nın eğimini uzaklaştırıyorsa, Dünya'yı daha az güneş ışığına ve daha fazla soğumaya maruz bırakıyorsa, bu Mars konfigürasyonunun getirdiği daha soğuk hava daha sıcak ilkbahar ve yaz havasıyla karışacağı ve yağış koşullarını yaratacağı için ilkbahar ve yazın daha fazla yağış olacağını tahmin edebiliriz.

Mart arasındaki daha soğuk aylar, sonbahar ve kış için de geçerli olacaktır . Mars kışın güneşin arkasında seyahat ediyorsa, buradan gelen daha sıcak hava daha soğuk olanla karışacak ve yağış için koşullar yaratacaktır. Mars bu dönemde güneşin önünde seyahat ediyorsa, daha soğuk hava daha az yağış şansı ile sonuçlanacaktır.

Ayrıca, Ay düğümüne 30 derece mesafede bulunan Mars'ın, Ay'ın yörünge düzlemini çekip gererek, Ay'ı Dünya'dan daha da uzaklaştırarak, Dünya'nın salınımı üzerinde dengesizleştirici bir etki yaratarak yağmur koşullarını kötüleştirebileceğini de hesaba katabiliriz.

Bu teorik çerçeveye, gerçek yağışı tetiklemek için gerekli koşulları uygulayabiliriz. Mars'ın Dünya'ya göre konumuna ve o zamanki mevsime dayanarak daha yüksek yağış veya daha düşük yağış periyodu varsaymak, yağışı tetikleyebilecek gerçek bir mekanizma sağlamaz. Bu nedenle, belirli bir periyotta daha soğuk ve daha sıcak havanın karışacağı bir senaryo öngörmeliyiz. Diyelim ki Mars, kış boyunca Güneş'in arkasında hareket ediyor ve bu da Mars'ın yerçekiminin bu periyot boyunca Dünya'nın eksen eğikliğini çekmesiyle daha sıcak bir kış senaryosu yaratıyor. Bu bağlamda, bu periyot boyunca kardan ziyade daha fazla yağmur olacağını varsayabiliriz. Ancak, yine de daha sıcak havanın daha soğuk hava ile karışacağı bir senaryoyu interpolate etmemiz gerekir. Mars'ın kışın Güneş'in arkasında hareket ettiği bu senaryo daha sıcak bir kış öngörüyorsa, o mevsimde yağmur yağması için daha soğuk havayı getiren bir mekanizmanın açıklanması gerekir. Bu nedenle Ay şemasını ekleyebiliriz .

2014 yılında Washington Üniversitesi'nden iki bilim insanı 15 yıllık iklim verilerini inceledi ve ay sayımlarının yağışı etkilediğini keşfetti. Tsubasa Kohyama ve profesörü John Wallace 1998 ile 2012 yılları arasındaki 15 yıllık yağış verilerini inceledi ve Ay'ın bizim bakış açımızdan, Dünya'nın üzerinde veya ayaklarımızın altında durduğumuzdaki konumunun , hava basıncının artmasına, bunun da daha yüksek sıcaklıklara , daha fazla emilen neme ve daha az yağışa yol açtığını buldu. Ancak, etki tüm yağış değişimlerinin yalnızca %1'iydi ancak veriler Ay'ın konumunu yağışla ilişkilendirmek için yeterince önemliydi. Bizim bakış açımızdan doğarken veya batarken, yağış teorik olarak daha yüksek olmalıydı. Ancak çalışmaya göre meridyende Ay yağışı azaltıyor. Bu çalışmanın arkasındaki bilim, Ay'ın yer çekiminin Dünya atmosferini daha yükseğe çekerek hava basıncını artırmasıdır. Bu olduğunda, alttaki hava daha sıcak hale gelir ve daha fazla nem emebilir. Bu çalışma, Ay'ın konumunu yağış tetikleyicimiz olarak kullanmamızı sağlar.

Ek olarak, Ay'ın Dünya'nın salınımı üzerinde dengeleyici bir etkiye sahip olduğu anlaşıldığında, Ay'ın Mars'a göre konumunun, Dünya'nın eksen eğikliği üzerindeki Mars'ın kütle çekim gücüne karşı geçici bir karşıt etki olduğunu söyleyebiliriz; yani Ay Mars'ın karşısına geldiğinde, Dünya'nın Mars'ın kütle çekim gücü tarafından beslenen mevcut eğilimden anlık olarak sıcaklıkları değiştirebilir. Mars Güneş'in arkasında hareket ettiği ve Dünya'nın eksen eğikliğini Güneş'e doğru çektiği için normalden daha sıcak bir mevsimdeyse, Ay Mars'ın karşısına geldiğinde ancak Dünya'nın arkasında olduğunda, Ay'ın kütle çekiminin Dünya'nın eğimini Güneş'ten uzaklaştırmasının sıcaklıklarda anlık bir değişime neden olacağını ve bunun da daha soğuk havanın daha sıcak hava ile karışması ve su buharlarını parçalaması için koşullar yaratacağını , suyun çökmesine ve yağmura dönüşmesine izin vereceğini öngörebiliriz.

Bu senaryonun yağmura neden olacağını hayal etmek için genel bir fikir şöyle:



Resimde, daha sıcak eğilim sırasında nem ve su buharının emilmesine yol açabilecek koşulları görüyoruz, daha sonra Ay'ın

daha sıcak eğilimi Mars'ın yer çekimine karşı koymaya ve Dünya'nın eğimini Güneş'ten uzaklaştırmaya çalışarak kesintiye uğratmasıyla yağışa dönüşüyor. Bu, Ay'ın Dünya etrafında Mars'ın Güneş etrafında yaptığından çok daha hızlı hareket etmesi nedeniyle 1-5 gün süren bir anlık olay olurdu.

Şimdi bu dinamiğin yağmuru tetikleyebilecek birçok çeşidi olduğunu unutmayın. Örneğin, Mars'ın yaz boyunca güneşin önünde seyahat etmesi, böylece Mars'ın yerçekiminin Dünya'nın eksen eğimini Güneş'ten uzaklaştırması nedeniyle ortalamanın altında sıcaklıklara neden olması, Ay'ın Dünya'nın önünde seyahat etmesi durumunda karşıtlıkla karşılaşabilir, bu da Ay'ın Dünya üzerindeki yerçekimi etkisinin Dünya'yı Güneş'e doğru çekmesi nedeniyle daha soğuk bir eğilimi kesintiye uğratabileceğinden yağış koşulları yaratabilir. Sıcak hava daha soğuk hava ile birleşerek su buharlarının parçalanmasına yol açabilir. İşte böyle bir senaryoyu temsil eden bir örnek.



İşte yağış koşullarına ilişkin temel bir genel bakış

Yağış koşulları

Mars bu yolda ilerliyor

Ay bu yolda ilerliyor

Güneş

Yerleşim
alanı

Mars
Yörüngesi

Yağış koşulları

Mars bu yolda ilerliyor

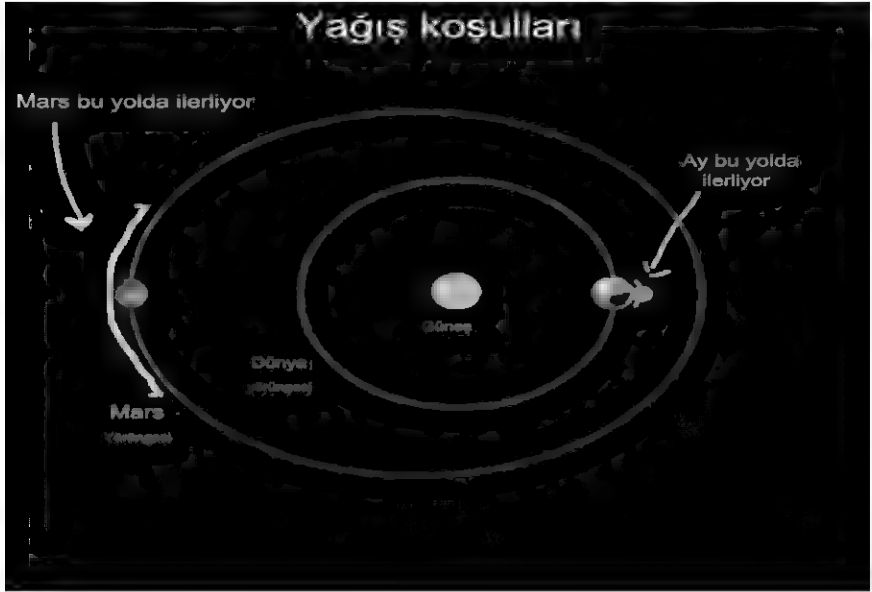
Ay bu yolda ilerliyor

Güneş

Dünya
yörüngesi

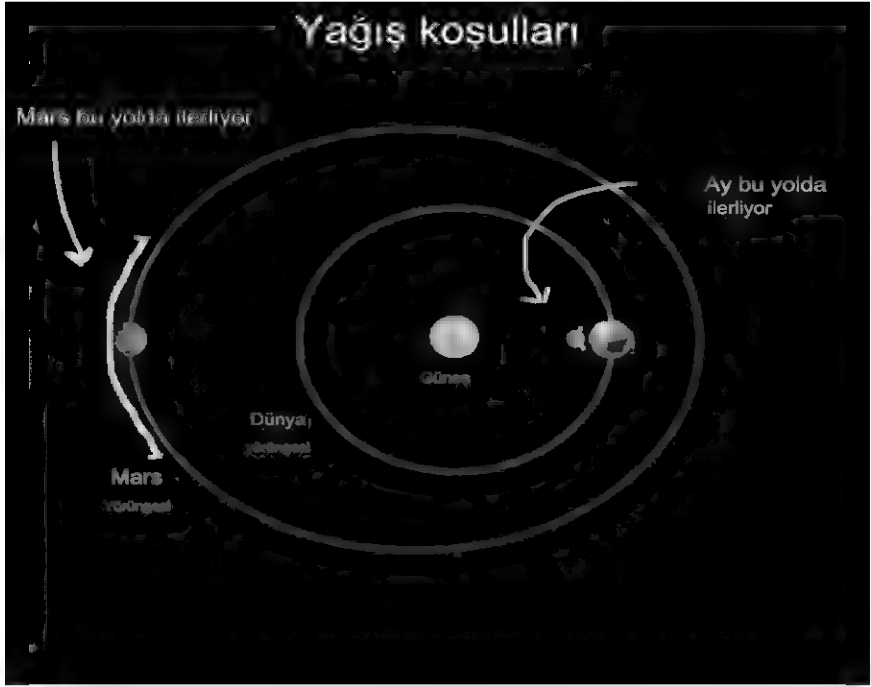
Mars
Yörüngesi

Bu ilk iki örnek, bu hizalanmanın yağmuru nasıl teşvik edebileceğini ortaya koyuyor ve yağmuru tetikleyebilecek parametreleri daraltıyor. Şimdi işleri daha da daraltabilir ve Ay ile Mars arasındaki karşıtlıktaki hizalanma ne kadar yakınsa, yoğun yağmurun gelme olasılığının o kadar yüksek olduğu fikrini ekleyebiliriz. O halde şimdi Ay ve Mars'ın gerekli yolunu daraltalım.





Bunlar daraltıldığında, yağış bilimine de uygulanabilen, ay ve Mars arasında yakın bir kavuşum içeren diğer iki varyasyona dalebiliriz. Ay dünyanın önünden geçerken, Mars güneşin arkasında hareket ediyorsa, kavuşumdaki her iki cisim de dünyanın ekselel eğimini güneşe doğru çeker ve dünyayı daha fazla güneş ışığına ve sıcaklığa maruz bırakır. Burada, ortaya çıkan daha sıcak sıcaklıkların, sıcak cephenin daha az sıcak hava ile karışması sonucu yağışa yol açabileceğini ve bunun da su buharlarının parçalanmasına yol açabileceğini varsayabiliriz. İşte bu yakın kavuşumun bir örneği.

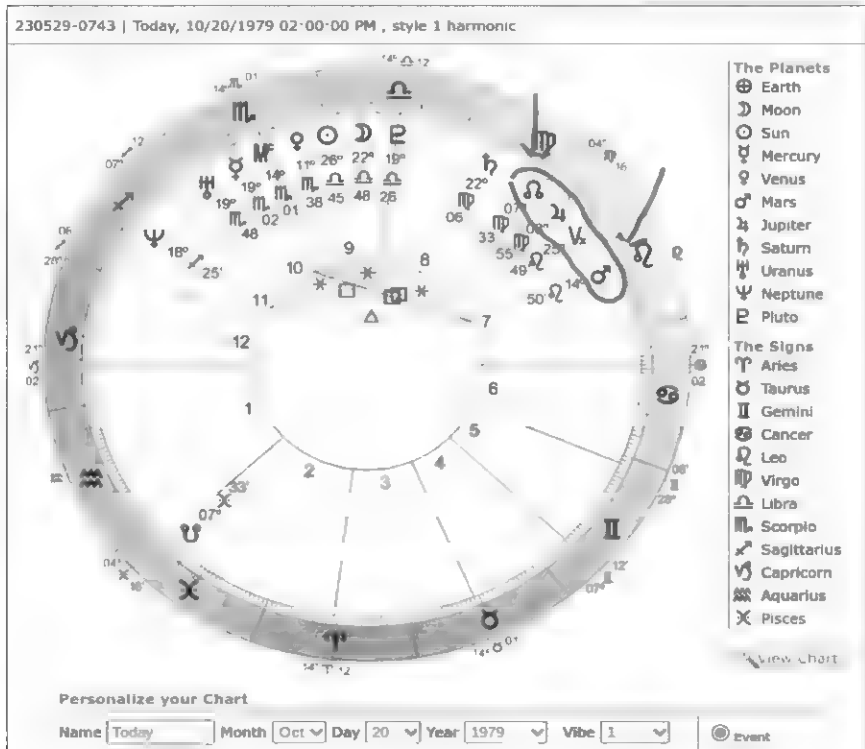


Şimdi Ay ve Mars arasındaki diğer yakın kavuşumun görseline geçelim, Ay Dünya'nın arkasında hareket ederken, Mars Güneş'in önünde hareket ediyor, Dünya'nın bakış açısına göre. Her iki cisim de Dünya'nın eğimine bir çekim kuvveti uygulayarak Dünya'yı Güneş'ten uzaklaştırıyor ve Dünya'yı daha soğuk sıcaklıklara maruz bırakıyor. Ortaya çıkan soğuk cephe sıcaklıkları daha az soğuk hava ile karışırsa, su buharlarının parçalanması meydana gelebilir ve yağış meydana gelebilir. İşte bu senaryonun görseli



Şimdiye kadar, hem Mars'ın hem de Ay'ın yerçekiminin Dünya'ya etki ederek Dünya'nın eksenel eğimini Güneş'e doğru ve/veya Güneş'ten uzağa kaydırmasıyla yağmura yol açan sıcaklık bozulmalarını tahmin etmemizi sağlayabilecek teorik bir çerçeve ortaya koyduk. Ancak, bu makale Gazze roket ateşi ve Borsa çöküşleri ile ilgili ilk iki bölümde açıklandığı gibi aşırı olaylara daldığından, bu konuya devam etmeli ve aşırı yağış olaylarını araştırmalıyız. Gazze'den gelen artan roket saldırıları ve borsa çöküşleri gibi, Mars'ın Ay düğümüne 30 derece mesafede olmasının aşırı yağış olaylarını tetikleyebilecek bir hızlandırıcı faktör olduğu benzer bir tema bulmalıyız. Ay düğümüne 30 derece mesafedeki Mars, Mars gezegeninin Ay'ın yörünge yoluna bir çekim kuvveti uygulayarak onu girmesi ve böylece Ay'ın yörüngesini Dünya'dan giderek daha uzağa getirmesi olarak açıklanmıştır; bu da Dünya'nın salınımı üzerinde istikrarsızlaştırıcı bir etkiye sahip olacak ve Dünya'yı daha vahşi sıcaklık dalgalanmalarına maruz bırakacaktır. Bu dinamiği hava olaylarına uygularsak, senaryonun hava tarafından emilen su buharlarını yoğunlaştırarak yağmuru tetikleyebilecek büyük sıcaklık bozulmalarına neden olabileceğini

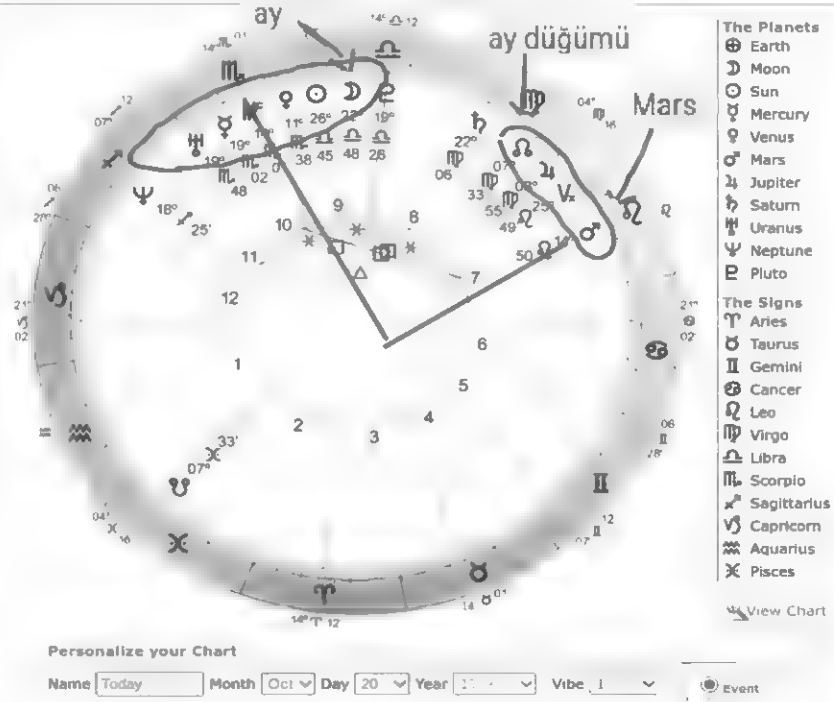
varsayabiliriz. Ay, kısa vadeli sıcaklık bozulmalarını tetikleyen bileşen olduğu için buna dahil edilmiştir . Aşırı olayları açıklamaya çalıştığımızı unutmayın. Yapılandırmanın nasıl çalıştığına dair bir görsel aşağıdadır. Bu ilk örnek, 20 Ekim 1979'da Orta Doğu'da meydana gelen aşırı bir yağış olayıdır. 23 Ekim'e kadar . Elli kişi öldü ve 66000 kişi etkilendi. Tabloyu inceleyin ve Mars'ın ay düğümüne 30 derece mesafede olduğunu ve yukarıda belirtilen yerçekimi faktörlerini uyguladığını fark edin. Mars ayrıca Dünya'ya göre Güneş'in arkasındadır, bu nedenle muhtemelen daha sıcak bir kış olmuştur.



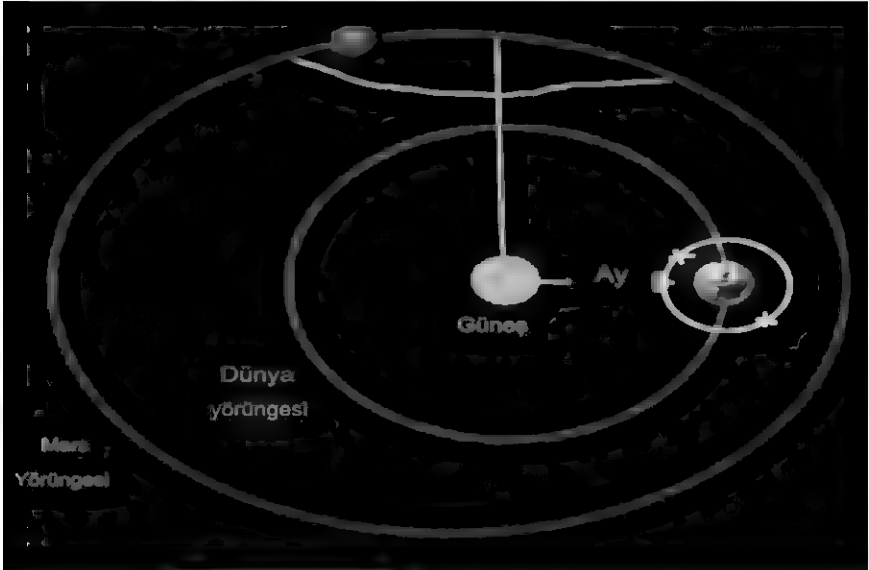
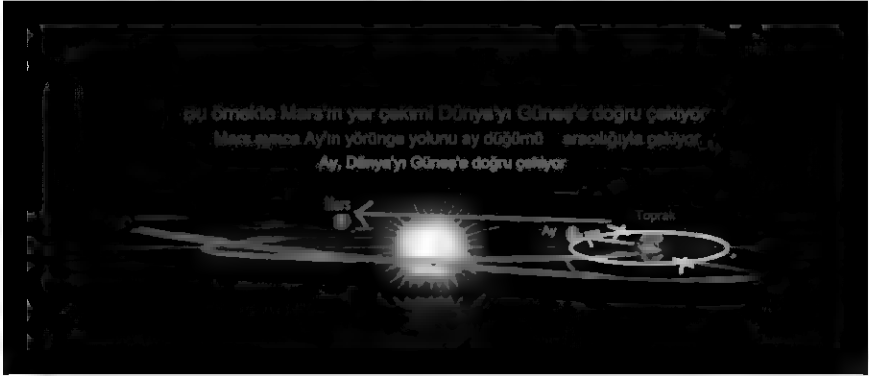
Yani şimdi bozulma ay tarafından tetiklendi. Ancak dikkatli olun. Ay düğümüne 30 derece mesafedeki kütlelerden biri varsa, Mars ile ay arasındaki dik açıların aşırı yağış olaylarını tetikleyebileceğini gösteren bir desen keşfettim. Yani eğer Mars ay düğümüne 30 derece mesafedeyse, sıcaklık bozulması ve buna karşılık gelen yağış, ay

Mars'ın konumuna neredeyse dik açı oluşturduğunda tetiklenecektir. Benzer şekilde, eğer ay ay düğümüne 30 derece mesafedeyse, ay zaten Mars'a dik açıyla oluşuyorsa sıcaklık bozulması tetiklenebilir. Burada ilki gerçekleşiyor - Mars ay düğümüne 30 derece mesafedeyken, ay Mars'a neredeyse dik açıyla aşırı yağış için gereken sıcaklık bozulmasını tetikliyor. İşte görsel

230529-0743 | Today, 10/20/1979 02:00:00 PM , style 1 harmonic

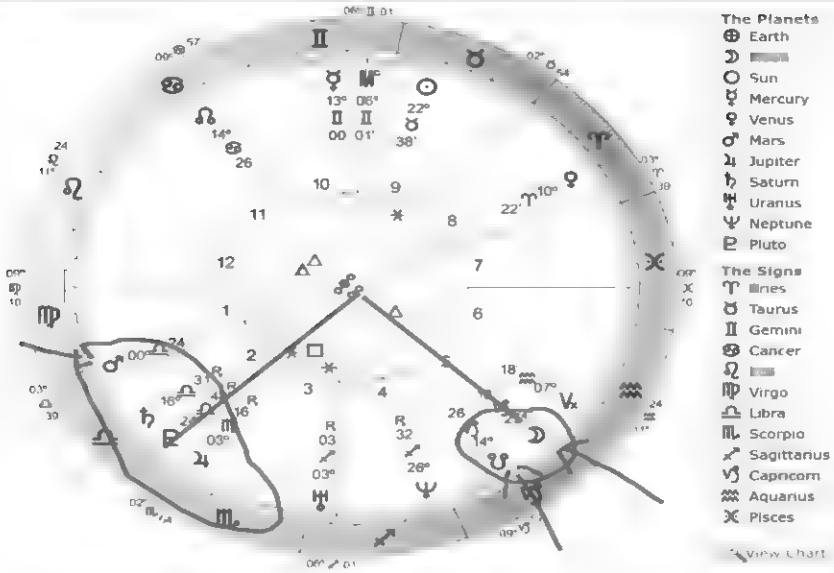


Bu yapılandırmanın gökyüzünde nasıl görüldüğü aşağıdadır



13 Mayıs 1982'de, Orta Doğu'da büyük bir fırtına sellere neden oldu. İşte grafik, ilk grafikle benzer bir dinamiğe sahip olduğumuzu fark edin, ancak bu sefer Ay, Mars'a neredeyse dik açı oluşturan Ay düğümüne 30 derece mesafede.

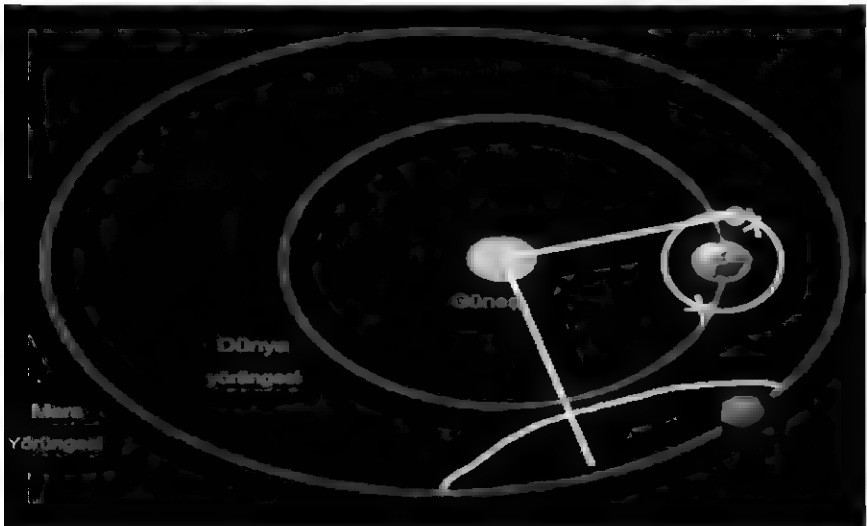
230529-0743 | Today, 05/13/1982 02:00:00 PM , style 1 harmonic



Personalize your Chart

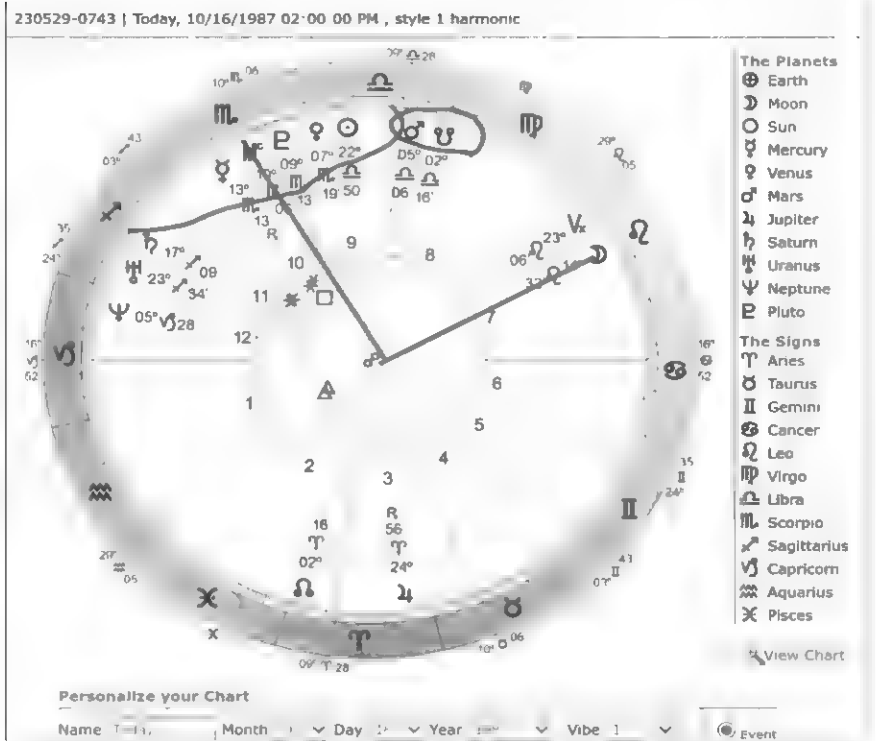
Name | Today | Month | May | Day | 13 | Year | 1982 | Vibe | 1 | Event

İşte o gün gökyüzünde bu konfigürasyonun nasıl görüldüğü

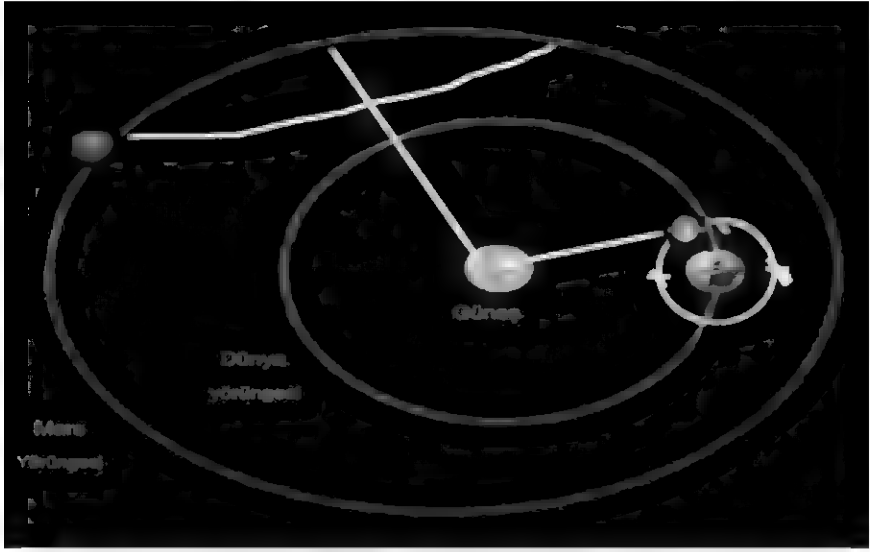


Mars'ın, Mars ile Ay'ın konfigürasyonu arasında oluşan dik açıyı belirleyen noktanın sınırları içinde olduğuna dikkat edin.

İşte 16 Ekim 1987'de meydana gelen ve Mısır ile Ürdün'ü sel baskınlarıyla etkileyen, 39 can kaybına yol açan fırtınanın haritası.

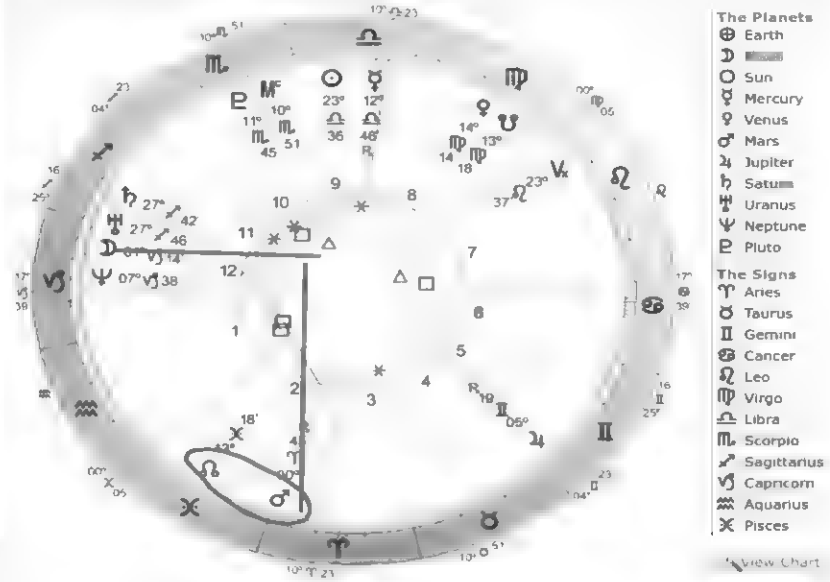


Mars, ay düğümüne 30 derece uzaklıkta ve ay ile neredeyse dik açı oluşturuyor, ancak haritanın hesaplandığı sırada biraz uzakta. Ay, saatler önce belirlenen aralıkta olurdu. İşte o gün gökyüzündeki konfigürasyonun görünümü



Mısır için bir diğer yoğun yağış tarihi, sellere neden olan 16 Ekim 1988'de gerçekleşti. İşte Mars, Ay ve Ay Düğümü'nün konumunu gösteren astroloji haritası. Mars bir kez daha Ay Düğümü'ne 30 derece mesafedeydi ve Ay ile dik açı yapıyordu

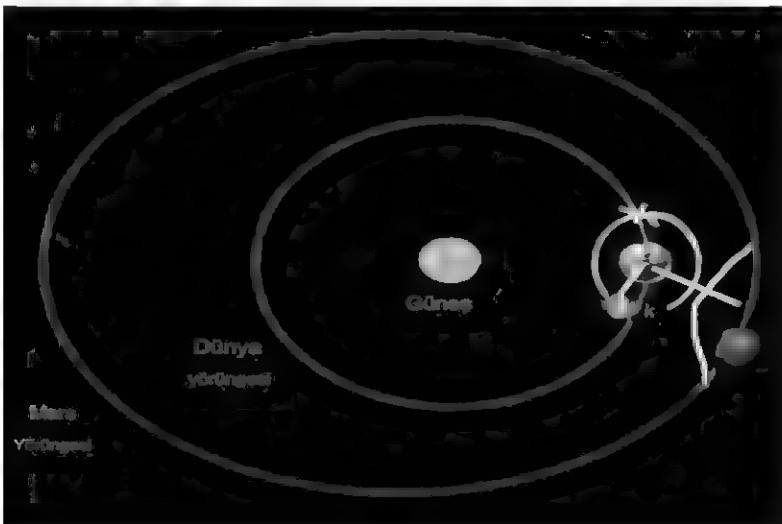
230529-0743 | Today, 10/16/1988 02:00:00 PM, style 1 harmonic



Personalize your Chart

Name | Today | Month | Oct | Day | 16 | Year | 1988 | Vibe | 1 | Event

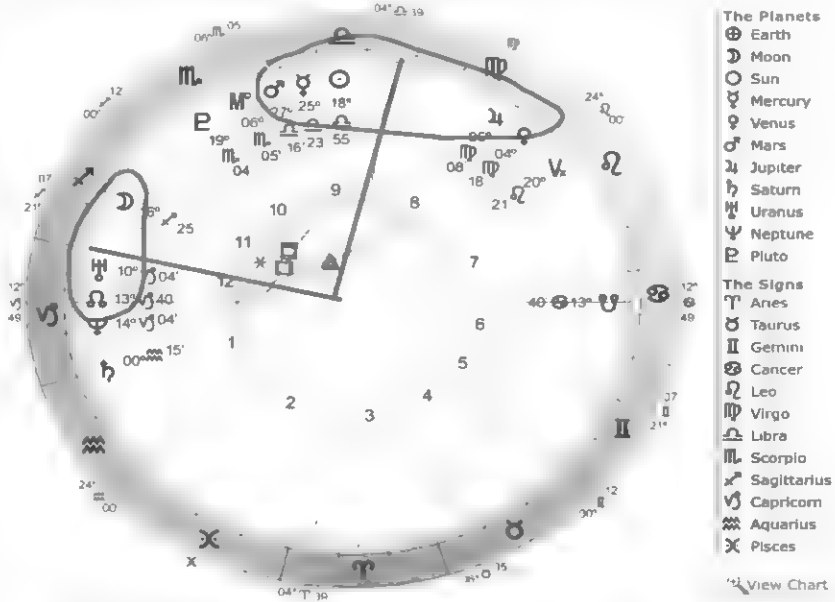
İşte o gün gökyüzündeki konfigürasyonun görünümü



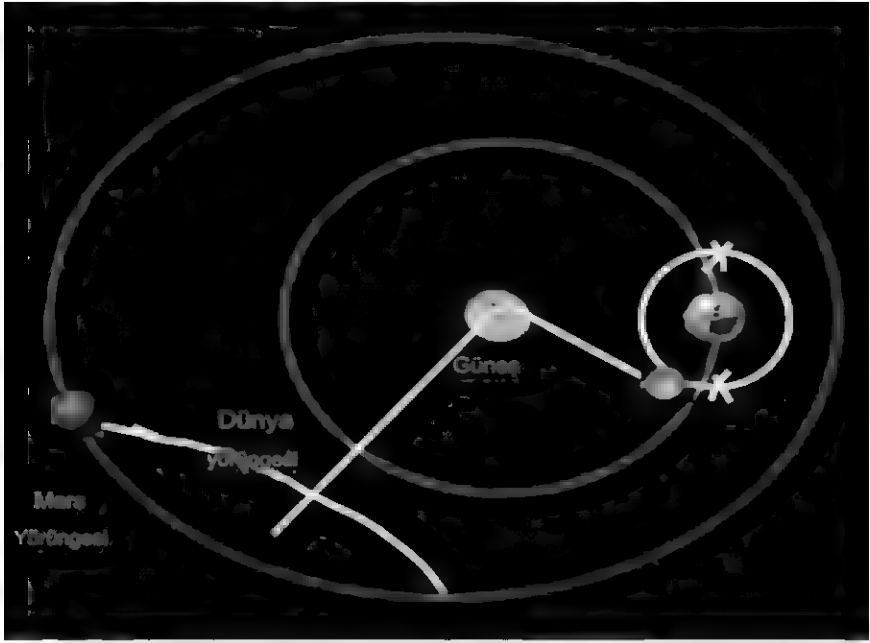
Gökyüzünde, yapılandırma dik açı oluşturur

Levant'ta bir diğer büyük yağış olayı 12 Ekim 1991'de meydana geldi. Burada ay, ay düğümüne 30 derece uzaklıktaydı ve Mars ile neredeyse dik açı yapıyordu.

230529-0743 | Today, 10/12/1991 02:00:00 PM , style 1 harmonic



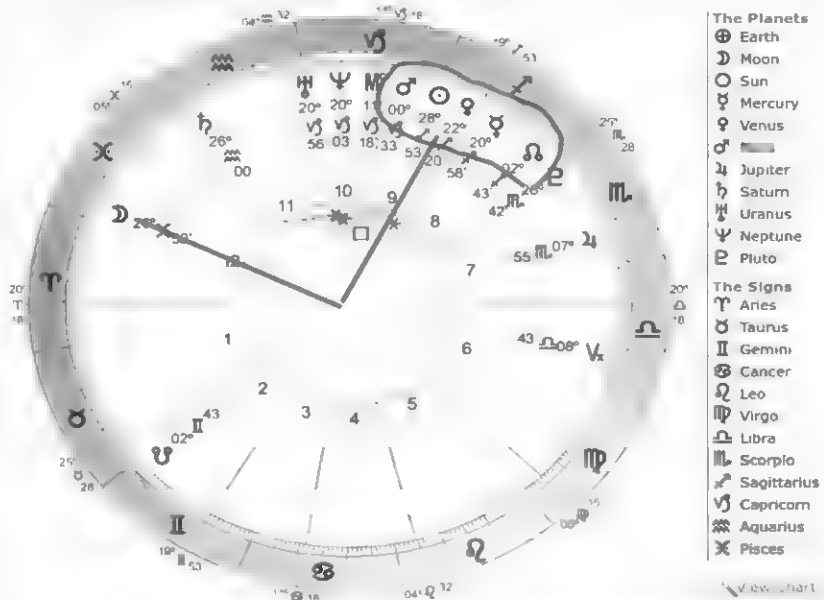
İşte gökyüzündeki konfigürasyonun görünümü



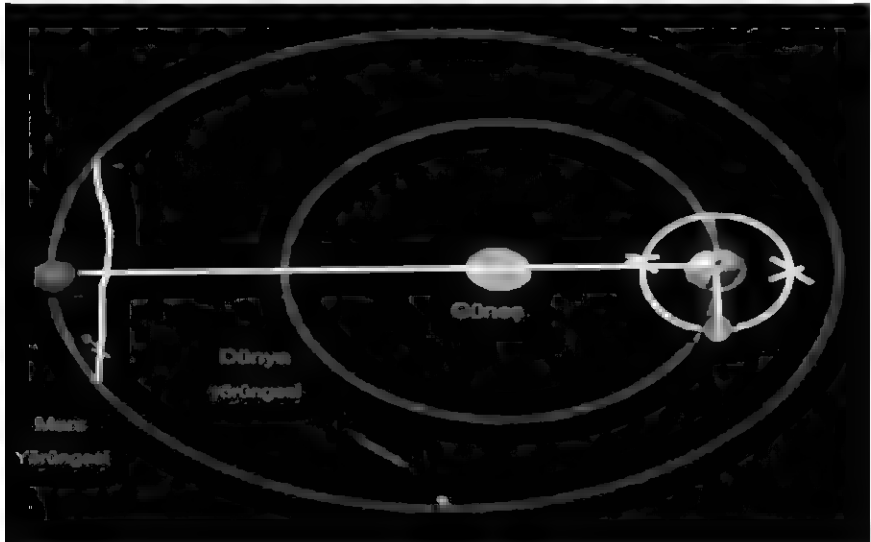
Levant'taki bir sonraki büyük yağış olayı 20 Aralık 1993'te gerçekleşti. Bu süre zarfında İsrail'in 2 can kaybı ve 10 milyon dolarlık zararı oldu.

Astrolojide Mars, Ay Düğümü'ne 30 derece mesafede bulunuyordu ve Ay ile dik açı yapıyordu; bu da aşırı olaylar için tipik bir konfigürasyon gibi görünüyor.

230529-0743 | Today, 12/20/1993 02:00:00 PM , style 1 harmonic



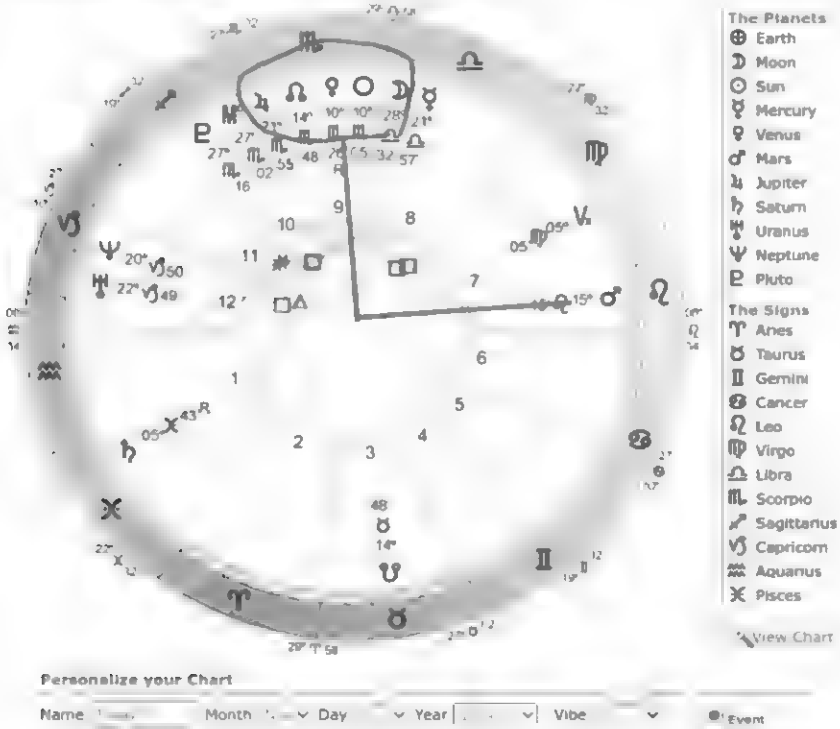
İşte o gün gökyüzünde bu konfigürasyonun nasıl görüldüğü



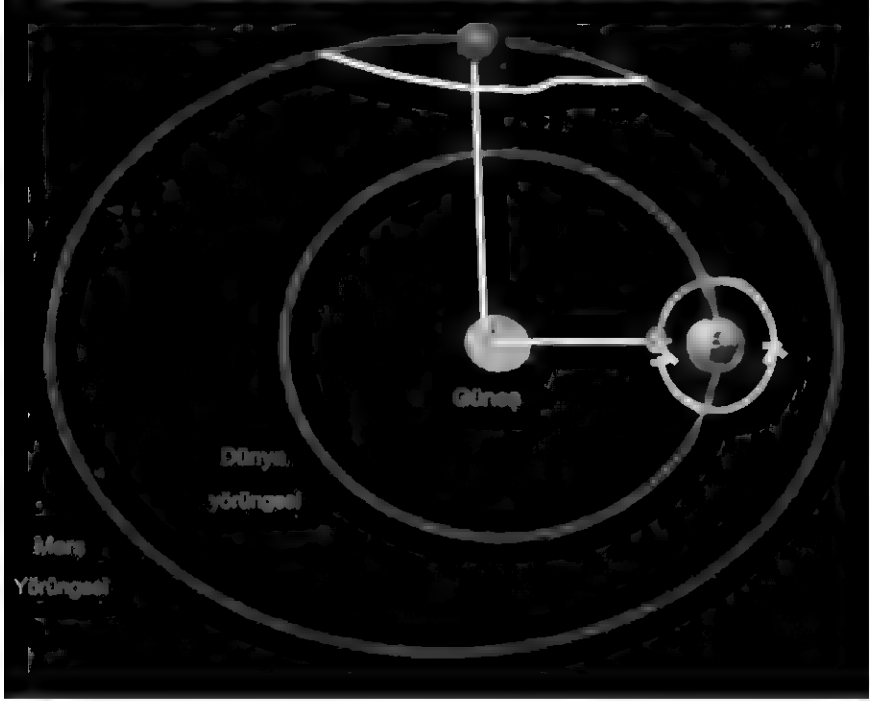
Mısır'da 2 Kasım 1994'te meydana gelen aşırı sel felaketi 600 kişinin ölümüne, 160.000 kişinin etkilenmesine ve 140 milyon liralık maddi hasara yol açtı.

Bu süre zarfında, ay ay düğümüne 30 derece mesafedeydi ve Mars ile dik açı yapıyordu. Yani bir kez daha bu yaygın örüntüyü aşırı olaylarda görüyoruz, Mars veya Ay ay düğümüne 30 derece mesafedeydi ve diğerine dik açı yapıyordu.

230529-0743 | Today, 11/02/1994 02:00:00 PM, style 1 harmonic

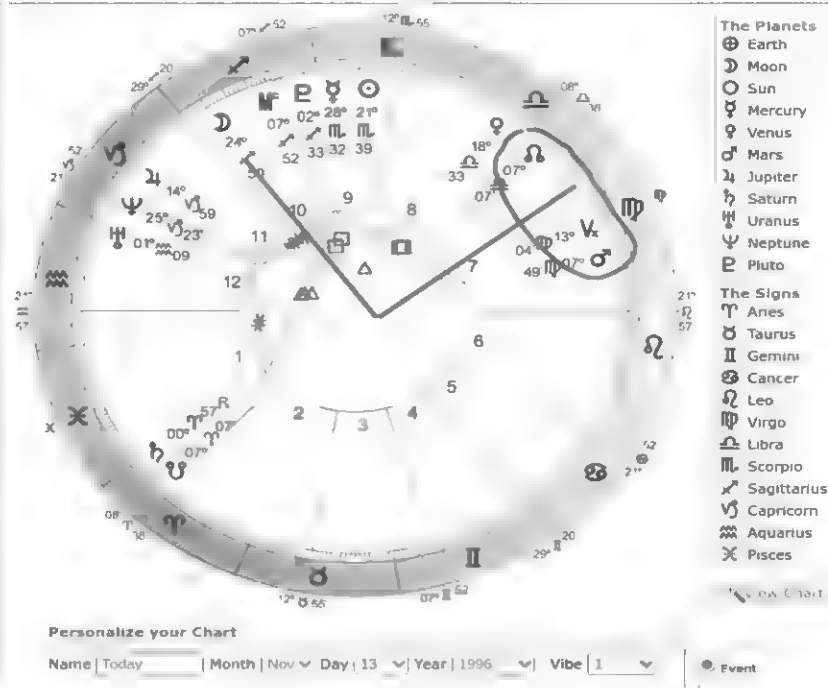


İşte o gün gökyüzünde bu konfigürasyonun nasıl görüldüğü

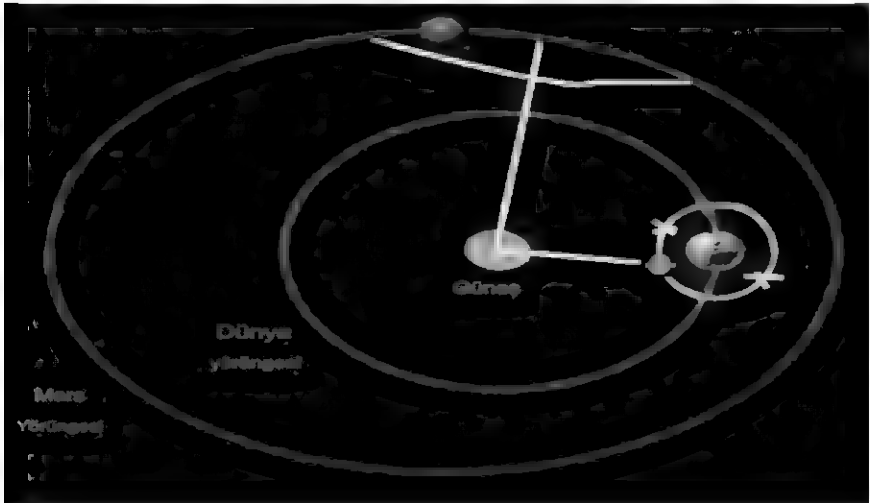


13 Kasım'dan 18 Kasım 1996'ya kadar Mısır'da şiddetli yağmurlar 12 can kaybına neden oldu ve 260 kişi selden etkilendi. Mars, ay düğümüne 30 derece yaklaşma evresine yeni başlamıştı ve ay ile dik açı yapmıştı. İşte astroloji haritası

230529-0743 | Today, 11/13/1996 02:00:00 PM , style 1 harmonic

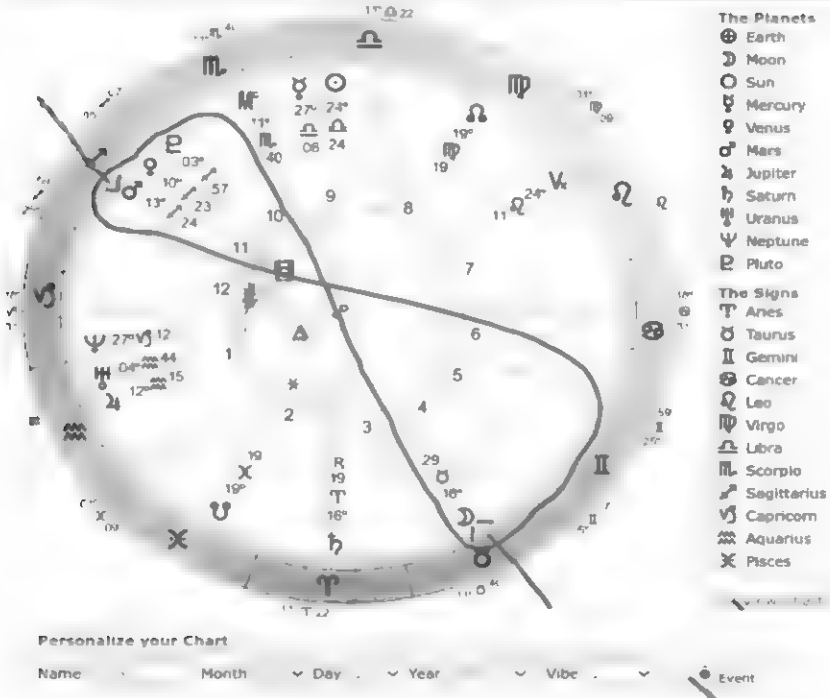


İşte o gün gökyüzünde bu konfigürasyonun nasıl görüldüğü.

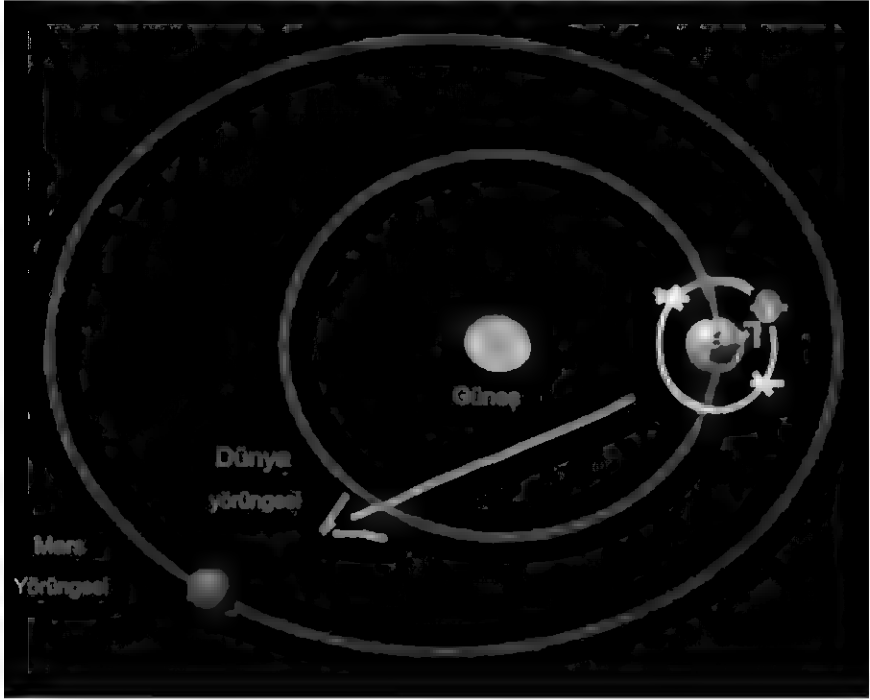


17 Ekim 1997'de Mısır, İsrail ve Ürdün'de şiddetli yağmurlar yaşandı. İsrail, Mısır ve Ürdün'de 15 can kaybı yaşandı ve 40 milyon dolardan fazla hasar meydana geldi. İşte astroloji haritası. İşte ne Mars'ın ne de Ay'ın Ay düğümüne 30 derece mesafede olmadığı bir örnek. Bu, Ay ve Mars'ın karşıt konumda olduğu ve her bir cismin Dünya'nın eksen eğimini çektiği ve bunun da muhtemelen bir sıcaklık bozulması yarattığı bir örnek. Bu, rutin yağışın tahmin edilebileceği bir dinamiğin örneğidir.

230529-0743 | Today, 10/17/1997 02:00 00 PM , style 1 harmonic



Bu yapılandırmanın gökyüzünde nasıl görüldüğü aşağıdadır

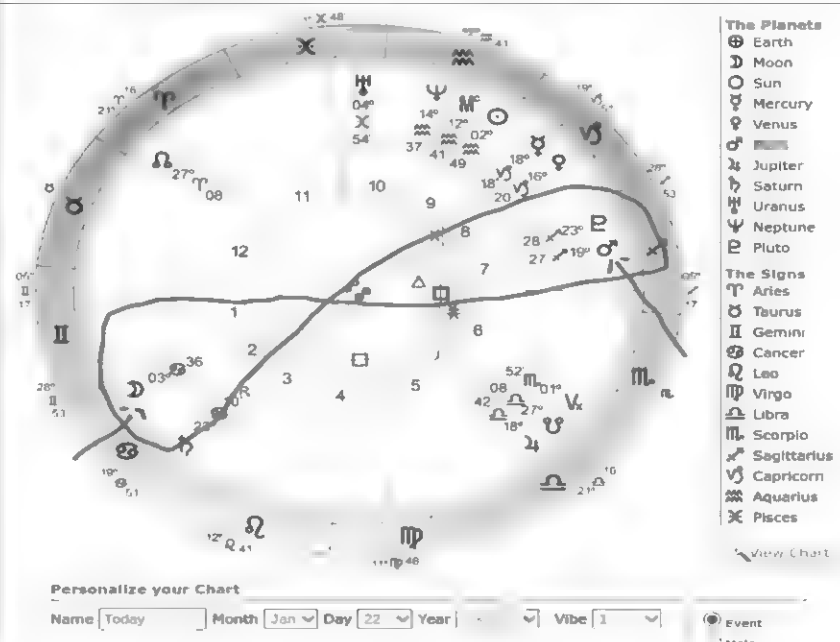


Ay düğümüne 30 derece mesafede bulunan ve ay ile dik açı oluşturan Mars'ın aşırı yağış olayları için bir katalizör olmasının en iyi açıklaması, bu konfigürasyonun ayın yörüngesel yolunda ekliptik düzlemden en uzakta hareket ettiğini göstermesi olabilir. Bu, ayın yörüngesel yolunda sırasıyla dünyaya en uzak ve en yakın olduğu apoje ve periye ile karıştırılmamalıdır. Ay'ın dünya etrafındaki yörüngesi ekliptikten beş derece eğiktir ve ekliptik ile yalnızca ay düğümlerinde buluşur. Yine de, periye (ayın dünyaya en yakın olduğu an) ve apoje (ayın dünyaya en uzak olduğu an) sırasında ay, ay düğümlerine çok yakındır. Bu bağlamda, ayı ekliptik düzleme göre gözlemlemeli ve buna yakın olmasının sıcaklık bozulmalarına ve yağışa katkıda bulunan bir faktör olmasının nedenini görmeliyiz. Ay'ın ekliptik düzlemden en uzakta olduğu ve Mars'ın ay düğümlerine yaklaştığı dönemde, bu dönemde Ay'ın Dünya

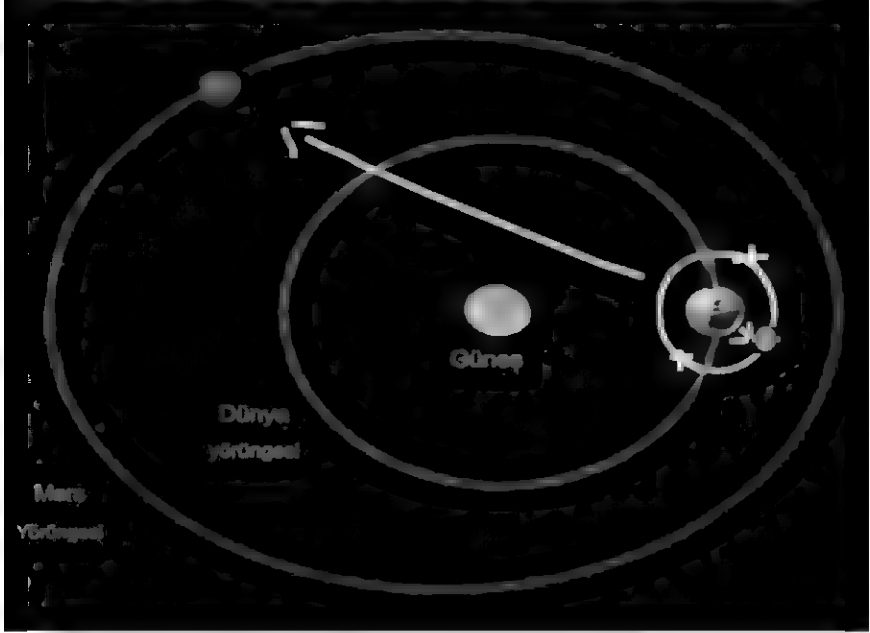
üzerindeki azalan kütle çekim kuvvetinin bir sonucu olarak sıcaklık bozulmalarının meydana geldiğini ve Mars'ın Ay'dan daha az muhalefetle kütle çekim etkisini göstermesine izin verdiğini varsayabiliriz. Bu, daha soğuk hava ile birleştiğinde hemen çökecek nem ve rutubet getirebilir, bunun kış aylarında gerçekleştiği varsayılırsa.

Bir sonraki grafik 22 Ocak 2005'e ait. 22 ile 27 arasında, şiddetli yağmur Orta Doğu'da 29 can kaybına yol açtı. İşte grafik. Mars ve ay karşı konumda

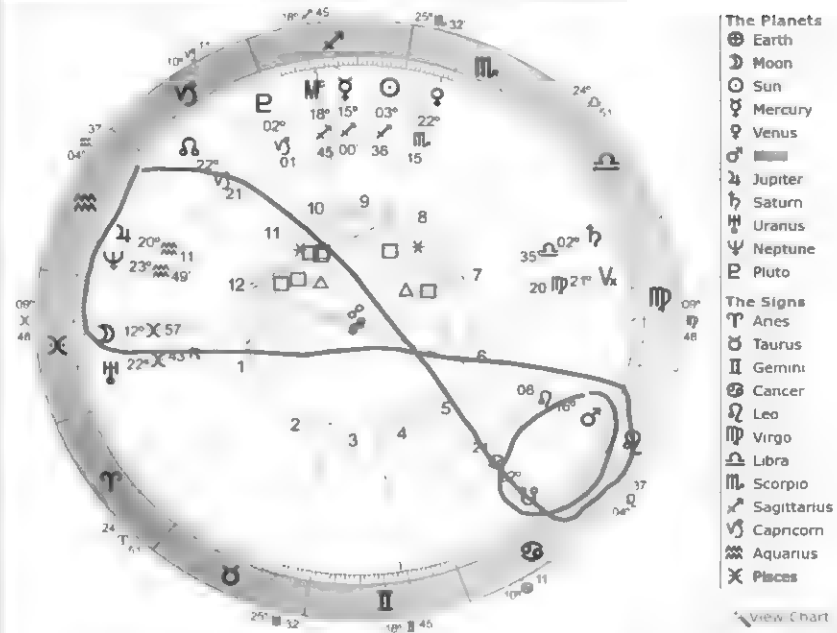
230529-0743 | Today, 01/22/2005 02:00:00 PM, style 1 harmonic



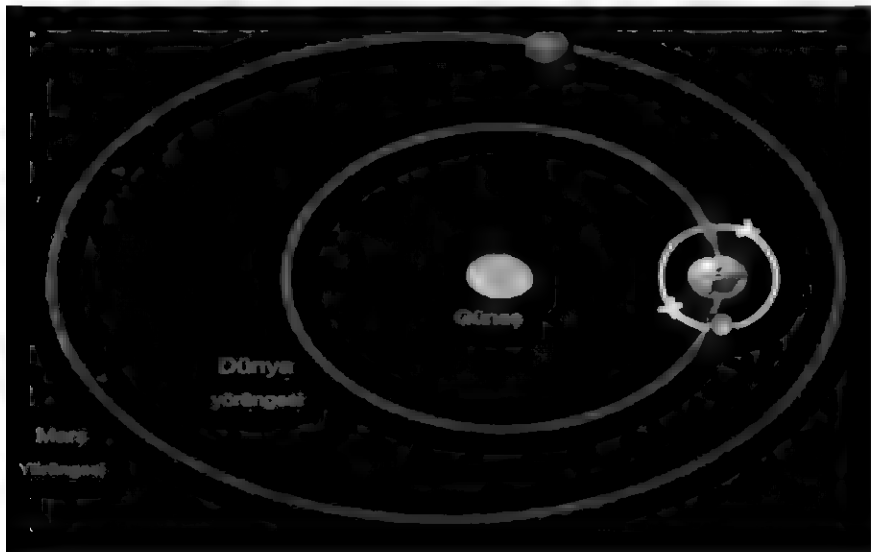
Bu yapılandırmanın gökyüzünde nasıl görüldüğü aşağıdadır



Bir sonraki grafik, Suudi Arabistan'da 122 ölüme yol açan büyük sellere neden olan 25 Kasım 2009 gününe aittir. 10.000 kişi etkilenmiş ve tahmini 900 milyon dolarlık hasar meydana gelmiştir. Mars, ay düğümüne 30 derece uzaklıktadır, ancak ay, bunun gibi bir olay için beklenen açıyı oluşturmuyor. Ay, Mars'ın karşısındadır ve Mars'ın çekim gücüne karşıt bir etki uygular.

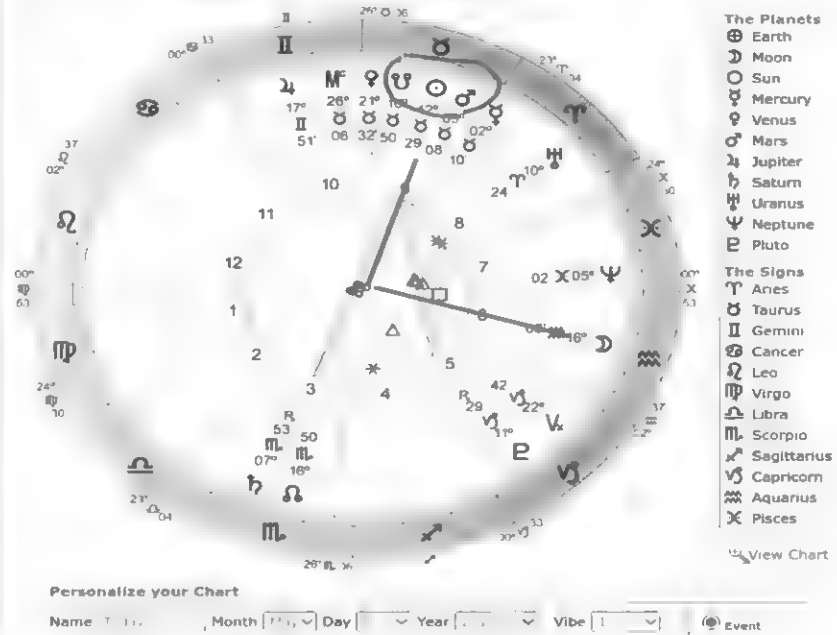


İşte bu konfigürasyonun bu gün gökyüzünde nasıl görüldüğü

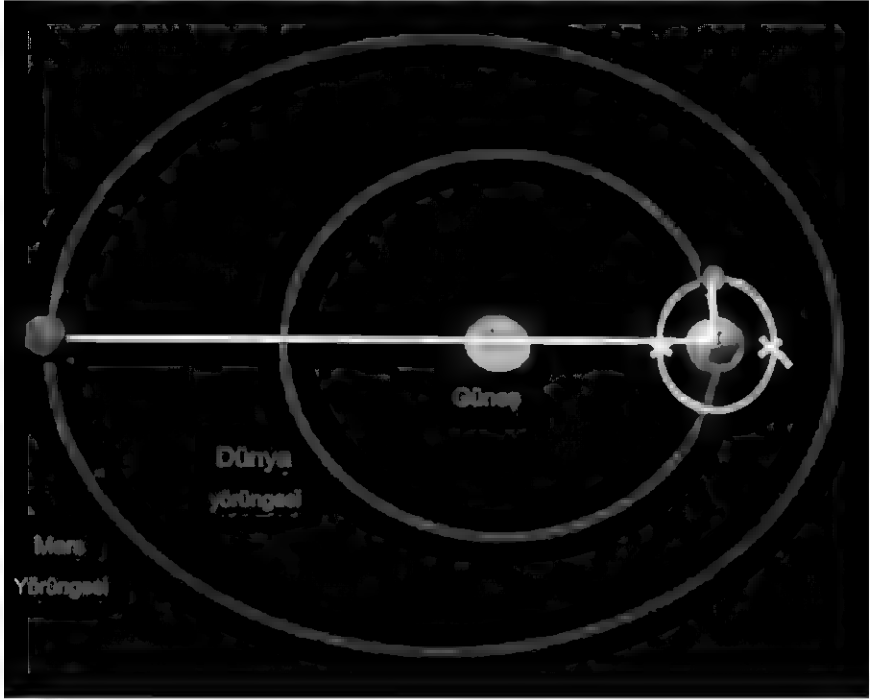


Bu, yağmur ve selin Orta Doğu'da 20 can kaybına yol açtığı 2 Mayıs 2013'e ait grafiktir. Bu grafik, Mars'ın ay düğümüne 30 derece mesafede ay ile dik açı oluşturduğunu göstermektedir.

230529-0743 | Today, 05/02/2013 02 00 00 PM , style 1 harmonic



Bu yapılandırmanın gökyüzünde nasıl görüldüğü aşağıdadır

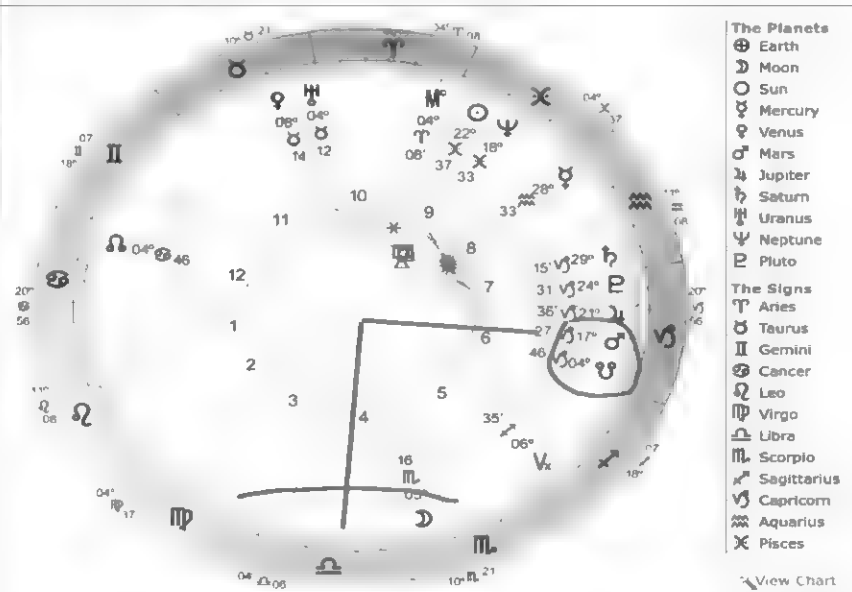


Orta Doğu'daki yoğun yağış için listelenen 12 çizelgenin 7'sinde Mars, ay düğümüne 30 derece mesafedeydi. Bu hizalanmaya dayanarak, Orta Doğu'daki çiftçiler bunu su kaynaklarını verimli bir şekilde nasıl tahsis edecekleri ve gübre ve ekim faaliyetlerine nasıl başlayacakları konusunda belirleyici protokoller geliştirmek için kullanabilirlerdi.

İşte Ortadoğu'da son beş yılda yaşanan dört büyük fırtına ve sele dair örnekler.

İşte Orta Doğu'yu büyük yağış ve sel felaketinin vurduğu 12 Mart 2020'nin grafiği. Dokuz ülke etkilendi: Mısır, Ürdün, İsrail, Suriye, Lübnan, Türkiye, Suudi Arabistan, Sudan, İran ve Irak. Mars o sırada 30 derece içindeydi ve aya dik açı yapıyordu. Bu, Mars'ın ay düğümüne de 30 derece içinde olduğu 1979'dan beri Mısır'ın en kötü fırtınasıydı.

230529-0743 | Today, 03/12/2020 02:00:00 PM , style 1 harmonic



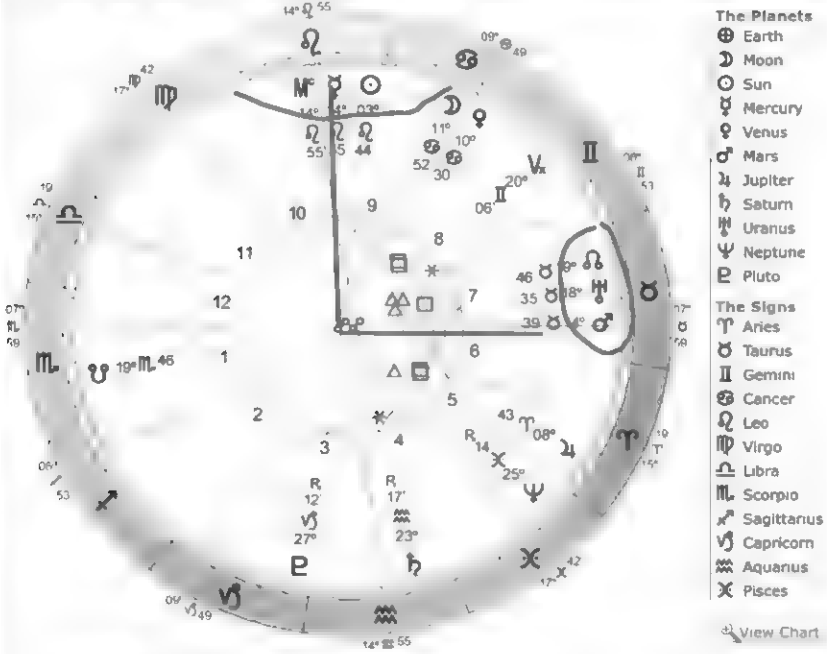
Personalize your Chart

Name | T 31 | Month | Mar | Day | 12 | Year | 2020 | Vibe | 1 | Event

İşte Birleşik Arap Emirlikleri'nin rekor kıran yağış yaşadığı 26 Temmuz 2022'ye ait grafik.

Bir kez daha, bu günde Mars ay düğümünün 30 derece yakınındaydı ve başlangıçta ay ile neredeyse dik açı oluşturuyordu. Saatler içinde ay dik açı bölgesinde olacaktı

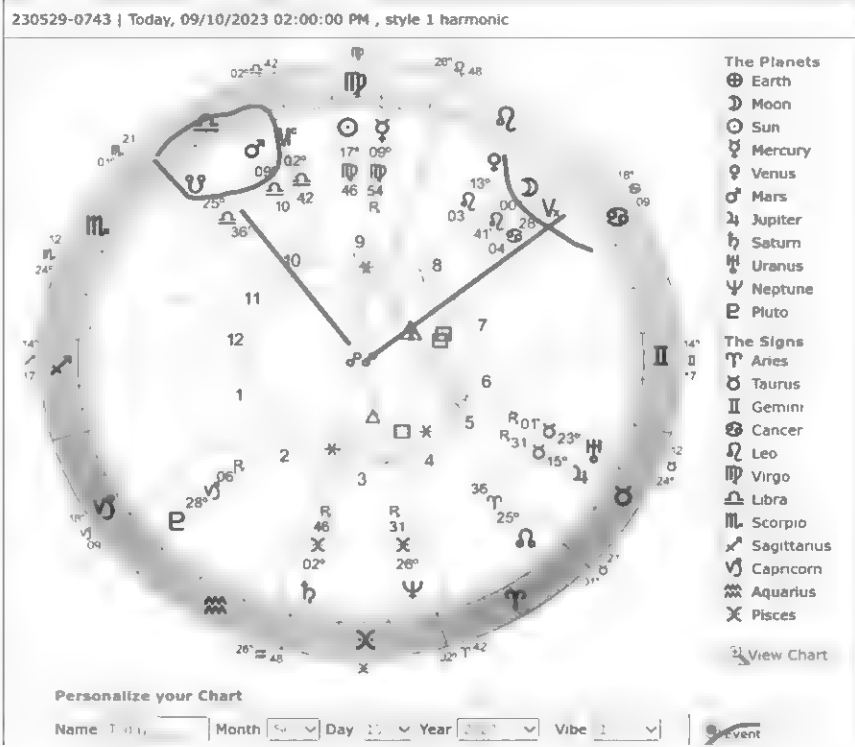
230529-0743 | Today, 07/26/2022 02:00:00 PM , style 1 harmonic



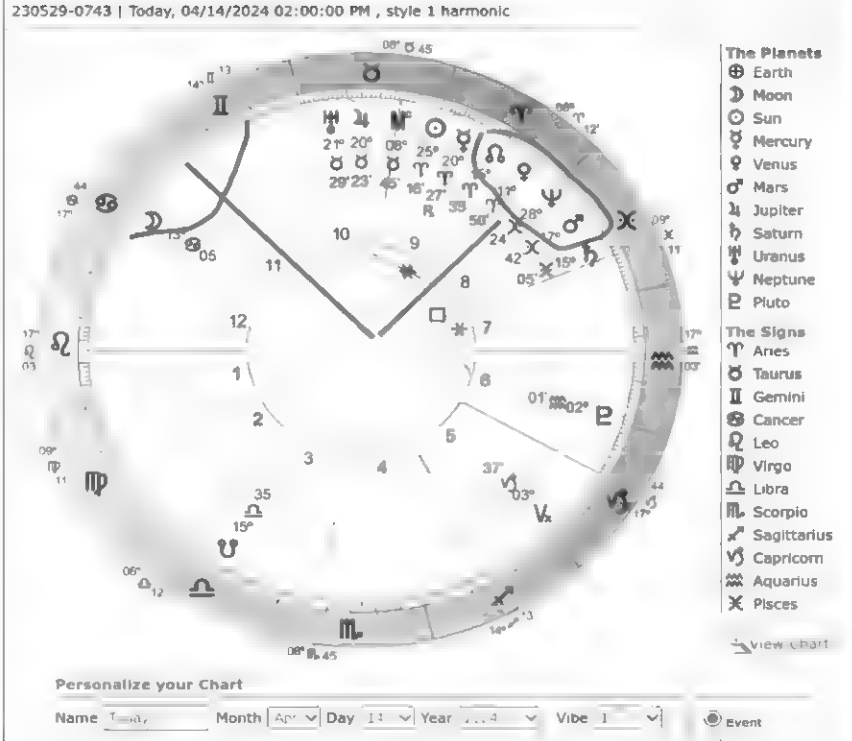
Personalize your Chart

Name Month Day Year Vibe

Eylül 2023'te Libya'yı vuran Fırtına Daniel'in neden olduğu 2023 Libya sel felaketinin tablosu. Bu gün, Mars ay düğümüne 30 derece mesafedeydi ve ay ile dik açı oluştuyordu.



Birleşik Arap Emirlikleri'ndeki sel felaketinin Nisan 2024'teki grafiği. 14 Nisan 2024'te BAE'de şiddetli yağmurlar meydana geldi ve büyük sellere neden oldu. Birleşik Arap Emirlikleri, Umman, İran, Bahreyn, Katar, Suudi Arabistan, Yemen etkilendi. Bu, BAE için rekor kıran bir olaydı. Mars, bir kez daha ay düğümüne 30 derece mesafedeydi ve fırtına oraya ulaştığında ay ile dik açı oluşturuyordu. Bu, BAE için rekor kıran bir olaydı.

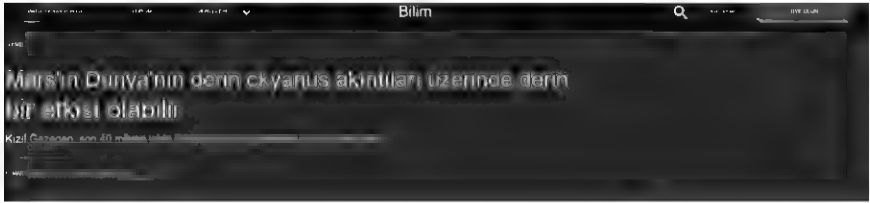


Bu veriler için toplayabildiğimiz tek ekstrapolasyon, ay düğümüne 30 derece mesafedeki Mars'ın belirli bir mevsimde ortalamanın üzerinde yağıştan sorumlu olabileceğidir. Burada, yoğun yağışı tahmin edebilecek ve böylece Orta Doğu'daki herkese acil müdahale protokolleri ve ürün büyümesi ve gelişimiyle ilgili tarımsal zamanlama konusunda yardımcı olabilecek bir sistem tasarlayabiliriz. Sulama tarımında, yağış miktarı sulama suyu miktarını ve tüketim süresini belirler. Yağışa dayalı sistemler, ürün

büyümesini belirlemek için yağış zamanlamasına bakar. Bu ayrıca gübre, herbisit ve haşere kontrol uygulamalarının zamanlamasına da dönüşür. Yağış ayrıca hasat sonrası faaliyetler için hasat operasyonlarının zamanlaması için de önemlidir. Hava olaylarının tahmini, çiftlik görevlerinin planlanmasına, ekim yapılmasına veya yapılmamasına, gübre kullanılıp kullanılmayacağına, gıda tahıllarının taşınmasına ve depolanmasına ve hayvanları koruma önlemlerine yardımcı olur. Genel olarak, başarılı bir hava tahmin sistemi, tarımsal uygulamaların karar alma sürecine katkıda bulunur

Mars faktörü varsayımının, bilim insanlarının Mars'ın Dünya'nın iklimini ve okyanus gelgitlerini etkilediği hipotezini ortaya atmaya başladığı 2024 yılında doğrulandığını unutmayın.

İşte Science.org'dan bir makale



“ Ay gelgitlere neden oluyor, ancak Dünya'nın suyunu etkileyen tek gök cismi o değil. Nature Communications dergisinde bu hafta yayınlanan bir araştırmaya göre Mars'ın yerçekimi gezegenimizin derin okyanus akıntılarını etkiliyor.”

Diğer makaleler, Mars'ın Dünya üzerinde bir miktar etkiye sahip olması gerektiği hipotezini destekliyor. Bu bölümde, bu dinamiği, Ay'ın Dünya atmosferi üzerindeki yerçekimi kuvveti yoluyla yağış miktarı üzerinde etkisi olduğu bilimsel öncülüyle birleştirdim.

Sonraki sayfada Orta Doğu'nun yoğun yağışlara, sellere ve insan kayıplarına maruz kaldığı tarihlere dair bir örnek (kullanılan kaynaklar) bulunmaktadır. Tarihler Levant ve Orta Doğu'daki aşırı yağış olaylarının dinamiklerini inceleyen bir çalışmadan alınmıştır.

Kaynak: Orta Doğu'daki Aşırı Yağış Olayları: Aktif Kızıldeniz Havzasının Dinamikleri AJ de Vries, E. Tyrlis, D. Edry, S. o. Krishak, B. Steele, J. Lilyfeld. İlk yayın tarihi: 12 Haziran 2013 <https://doi.org/10.1002/jgrd.50569>

Nr.	Years and Months	Days	Sources of Motivation ^a	Societal Impact	Case Studies
1	Oct 1979	20–23	1,2	50 casualties, 66,000 people affected, and US\$ 14 M damage in Egypt (flood) ^b	
2	May 1982	13			
3	Oct 1987	16–18	1,2	30 casualties in Egypt (storm on 17 Oct) and nine casualties in Jordan (flood on 16 Oct) ^b	
4	Oct 1988	16–19	1		
5	Oct 1991	12–14	1,2,3		<i>Greenbaum et al</i> [1998]
6	Dec 1993	20–23	3	two casualties and estimated damage US\$ 10 M in Israel ^c	<i>Ziv et al</i> [2005]
7	Oct 1994	10	1,2		

Nr.	Years and Months	Days	Sources of Motivation ^a	Societal Impact	Case Studies
8	Nov 1994	2–4	1,2,3	600 casualties, 160,660 people affected, and US\$ 140 M damage in Egypt (flood, 2–8 Nov) ^b	<i>Krichak and Alpert</i> [1998], <i>Krichak et al.</i> [2000]
9	Nov 1996	16–18		12 casualties and 260 people affected in Egypt (flood, 13–18 Nov) ^b	
10	Oct 1997	17–19	1,2,3	15 casualties and US\$ 40 M damage in Israel (flood from 17 to 19 October), four casualties, and US\$ 1 M damage in Egypt (flood, 18–20 Oct) and two casualties and US\$ 1 M damage in Jordan (flood, 18–20 Oct) ^b ; at least six casualties in Egypt, nine in Israel, and two in Jordan ^c	<i>Dayan et al</i> [2001]
11	Nov 2003	23–25			
12	Oct 2004	28–29	3		<i>Greenbaum et al</i> [2010]

The Dow's Biggest One-Day Drops

Here's where yesterday's drop of 586 points ranks among the worst drops in the Dow's history:

Date	Close	Change	Percent
9/29/2008	10,365.45	-777.68	-6.98%
10/15/2008	8,577.91	-733.08	-7.87%
9/17/2001	8,920.70	-684.81	-7.13%
12/1/2008	8,149.09	-679.95	-7.70%
10/9/2008	8,579.19	-678.92	-7.33%
8/8/2011	10,809.85	-634.76	-5.55%
4/14/2000	10,305.78	-617.78	-5.66%
8/24/2015	15,873.22	-586.53	-3.56%
10/27/1997	7,161.14	-554.26	-7.18%
8/21/2015	16,459.75	-530.94	-3.12%

Largest daily percentage losses ²⁾

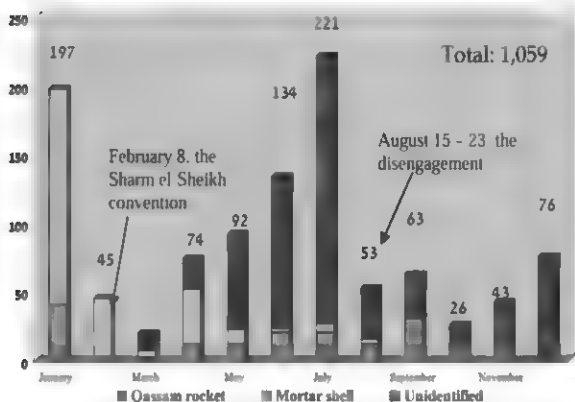
Rank •	Date •	Close •	Change	
			Net •	% •
1	1929-10-29	1,738.74	-508.00	-22.61
2	1929-10-29	20,188.52	-2,997.10	-12.93
3	1929-10-29	260.64	-38.33	-12.82
4	1929-10-29	230.07	-30.57	-11.73
5	1929-10-29	21,200.62	-2,352.60	-9.99
6	1929-11-06	232.13	-25.55	-9.92
7	1899-12-18	58.27	5.57	-8.72
8	1932-08-12	63.11	-5.79	-8.40
9	1929-10-29	76.23	-6.89	-8.29
10	1987-10-26	1,793.93	-156.83	-8.04
11	1929-10-29	8,577.91	-733.08	-7.87
12	1933-07-21	88.71	-7.55	-7.84
13	1929-10-29	23,851.02	-2,013.76	-7.79
14	1929-10-29	125.73	-10.57	-7.75
15	2008-12-01	8,149.09	-679.95	-7.70
16	2008-10-09	8,579.19	-678.91	-7.33
17	1917-02-01	88.52	-6.91	-7.24
18	1929-10-29	7,161.14	-554.26	-7.18
19	1932-10-05	66.07	-5.09	-7.15
20	1929-10-29	8,920.70	-684.81	-7.13

2005

Source: <https://www.terrorism-info.org.il/en/18892/>

Mortar fire was omitted in data on first page

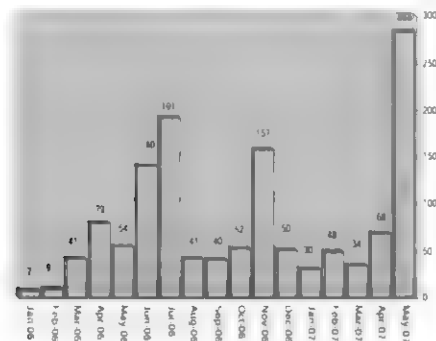
Qassam rocket and mortar fire in 2005



2006

Source: <https://www.terrorism-info.org.il/en/18614/>

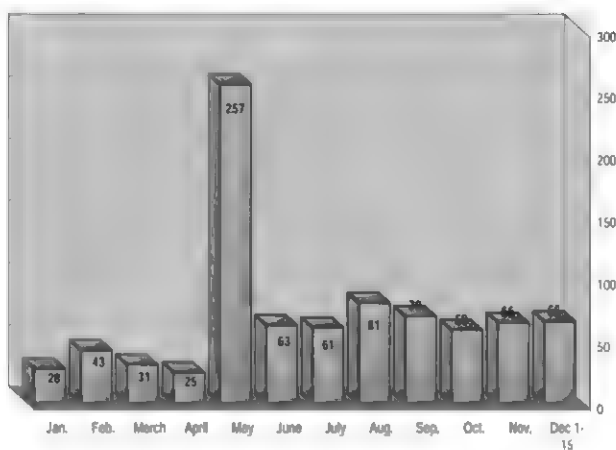
Monthly distribution of identified rocket hits



2007

Source: <https://www.terrorism-info.org.il/en/18534/>

Monthly distribution of identified rocket hits



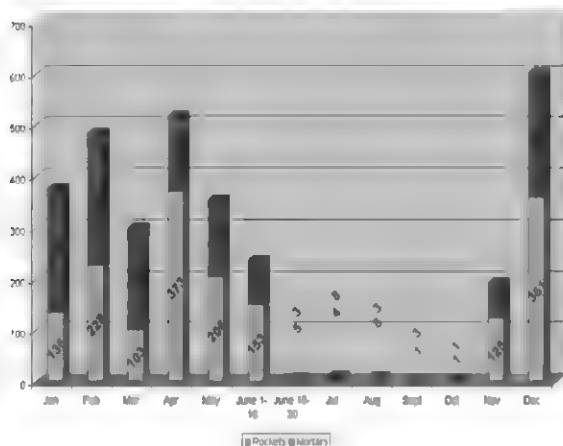
2008

Source: https://en.wikipedia.org/wiki/File:Rock_mort_gaza_2008.JPG

APRIL 2008

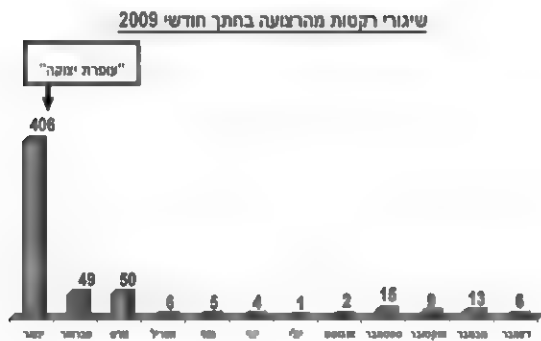
source: <https://www.terrorism-info.org.il/en/>

Rockets and Mortars Fired from Gaza in 2008



2009

Source: <https://www.shabak.gov.il/reports/>



2010

Source: <https://www.shabak.gov.il/reports/>

שיגורי רקטות מהרצועה בחתך חודשי 2010

סה"כ: 152 שיגורים



2011

Source: https://en.wikipedia.org/wiki/List_of_Palestinian_rocket_attacks_on_Israel_in_2011

Month	Missiles launched		Effect of missiles		Retaliation by Israel	
	Rockets	Mortars	Killed	Injured	Killed	Injured
January	17	26		4		
February	6	19			1	17
March	38	87		3	9	11
April	87	57	1	6	8	23
May	1					
June	4	1				
July	20	2				2
August	145	46	1	30	4	2
September	8	2				
October	52	6	1	2	12	
November	11	1		1	2	6
December	30	11			4	4
Total	419	258	3	46	40	62

2012

Source: https://en.wikipedia.org/wiki/List_of_Palestinian_rocket_attacks_on_Israel_in_2012

Month	Missiles launched		Effect of missiles		Retaliation by Israel	
	Rockets	Mortars	Killed	Injured	Killed	Injured
January	9	7				
February	36	1			1	1
March	173	19		14	26	
April	10					
May	3					
June	83	11		1		
July	18	9		1		
August	21	3		1		
September	17	8		7		
October	116	55			8	2
November	1734	83	6	45	6	51
December	1					
Total	2,221	196	6	69	41	54

2013

Source: https://en.wikipedia.org/wiki/List_of_Palestinian_rocket_attacks_on_Israel_in_2013

Month	Missiles launched		Effect of missiles		Retaliation by Israel	
	Rockets	Mortars	Killed	Injured	Killed	Injured
January						
February	1					
March	4					
April	17	5			1	
May	1	4				
June	5					
July	5	2				
August	4					
September	8					
October	3	2				
November		5				
December	4					
Total	52	18	0	0	1	0

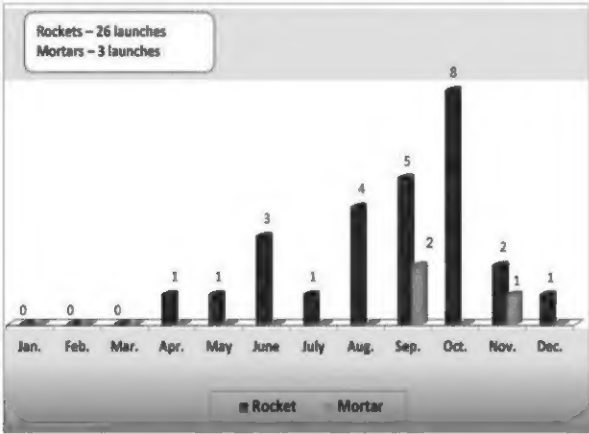
2014

Source: https://en.wikipedia.org/wiki/List_of_Palestinian_rocket_attacks_on_Israel_in_2014

Month	Missiles launched		Effect of missiles		Retaliation by Israel	
	Rockets	Mortars	Killed	Injured	Killed	Injured
January	22	4				
February	9					
March	65	1		1	1	
April	19	5				
May	4	3				
June	62	3		6		
July	2,874	15 ^[6]	6	34	1,122	7,800
August	950		2	19	540	1,913
Total	4,005	31	8	60	1,663	9,713

2015
Source:

2015 monthly distribution of rocket and mortar shell launchings**



See Jewish virtual library for statistics between 2016 and 2022

<https://www.jewishvirtuallibrary.org/palestinian-rocket-and-mortar-attacks-against-israel>

In 2023, the data was taken from both

<https://www.jewishvirtuallibrary.org/palestinian-rocket-and-mortar-attacks-against-israel>

and

Wikipedia

https://en.wikipedia.org/wiki/List_of_Palestinian_rocket_attacks_on_Israel_in_2023

In 2024, the data was taken from

<https://www.shabak.gov.il/reports/>

and also from news sources about Iran's attack in April of 2024

